

## Magfizika fizikus hallgatók részére

Németh Judit

1998. július 2.

# Tartalomjegyzék

<b>1</b>	<b>Bevezetés</b>	<b>4</b>
1.1	Atommag alkotórésszel kötött kölcsönhatások	4
1.2	Bondó állapotok	6
1.3	Átmeneti valószínűségek meghatározása (aranyssabály)	7
<b>2</b>	<b>Magterék</b>	<b>9</b>
2.1	Két nukleon kötött állapota: a deuteron	10
2.2	Kis energiájú nukleon-nukleon szórák	11
2.3	Neutron	12
2.4	Nagyenergiájú szórák	13
2.5	Két nukleon potenciál általános alakja a kísérletek alapján	17
2.6	Potenciálok hely és sebességfüggése	17
2.7	Két nukleon potenciál általános alakja szimmetria elvekből	18
2.7.1	Vektorok viselkedése szimmetrikus operációk esetén	18
2.7.2	A legáltalánosabb potenciál szimmetriaelvek alapján	18
2.8	Egyazonos részecskék potenciálok	19
<b>3</b>	<b>Alapállapotú atommagok</b>	<b>22</b>
3.1	Magmodellek	22
3.1.1	Modellalkotás a magfizikában, maganyag fogalma	22
3.1.2	Maganyag	23
3.1.3	Magmodell típusok	23
3.2	Telítettség és cseppmodell	23
3.3	Független részecske modellek	24
3.3.1	Fermi gáz modell	24
3.3.2	Harmadik oszcillátor modell	27
3.3.3	Hartree-Fock közelítés	29
3.3.4	Független részecske modellek	30
3.3.5	Héjmodell alkalmazása	31
3.3.6	az egy részecske energia fogalma	32
3.3.7	Független részecske modell alkalmazhatóságának oka	32
3.4	Magmomentumok független részecske modell alapján	33
3.4.1	Spin	33
3.4.2	Elektronmágneses kvadrupólmomentum	33
3.4.3	Magok mágneses momentuma	34
3.5	Egyesített magmodell	35
3.5.1	Atommagok energiája deformált potenciálvölgyben	35
3.5.2	Kollektív modell	36
3.5.3	Egyesített magmodell	37
<b>4</b>	<b>A soktestfizika elemei</b>	<b>38</b>
4.1	Állapotegyenlet és effektív tömeg	38
4.2	Soktestfizikai közelítés az energiára	40
4.3	Effektív erők származtatása	42
4.4	Optikai potenciál mikroszkopikus származtatása	43
4.5	A $\beta$ -bomlás elmélete	45

4.5.1	A $\beta$ -bomlás Fermi elmélete	46
4.5.2	A Fermi elmélet módosítása	48
<b>5</b>	<b>Relativisztikus magfizika és nehézion fizika</b>	<b>50</b>
5.1	Relativisztikus magfizika	50
5.2	Nehézion fizika	51
5.3	Nehézion reakciók tárgyalása	52
5.4	Kvark-gluon rendszer	53
5.5	Zselmodell	54
5.6	Kvark-gluon plazma (QGP)	55
5.7	Fázisátalakulások kvark és hadronanyag között	56
5.8	Szignatúrák	58
<b>6</b>	<b>Csillagfejlődés</b>	<b>59</b>
6.1	Virtál tétel	59
6.2	A csillagfejlődés törvényeinek egyenletei	60
6.3	Magreakciók csillagokban	61
6.3.1	Reakciósebesség	61
6.3.2	A Nap energiatermelése	62
6.3.3	A csillagokban leváló magreakciók	62
6.4	A csillagfejlődés menete	63
6.5	A csillagfejlődés végállapota	64
6.5.1	Fehér törpék kialakulása	64
6.5.2	Supernova robbanás	66
6.6	Neutroncsillag	69
6.6.1	A neutroncsillag szerkezete	69
6.6.2	A neutroncsillag megfigyelési lehetőségei	71
<b>7</b>	<b>Kozmológia</b>	<b>72</b>
7.1	A modern kozmológia kezdetei	72
7.2	A newtoni Univerzum fejlődése	73
7.3	Extrapoláció vissza	76
7.4	Big Bang modell	76
7.5	Felfűvülő Univerzum	78
7.5.1	A nagy egyesített elmélet: GUT	78
7.5.2	Az eredeti felfűvülő Univerzum elmélet	79
7.6	Sötét anyag	79
7.6.1	A sötét anyag léteire utaló bizonyítékok	79

# 1. Fejezet

## Bevezetés

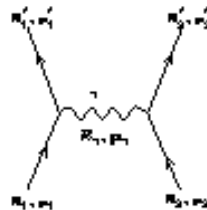
### 1.1 Atommag alkotórészei közötti kölcsönhatások

*Mi tartja össze az atommag alkotórészeit?*

1932, a neutron felfedezése óta tudjuk, hogy az elektromágneses és gravitációs erő nem jó. Kell lenni erős kölcsönhatásnak!

*Az elektromágneses kölcsönhatás folyamatának ábrázolása*

Töltött részek két fotonok kicserélése



Egyszerűsített esetben:  $E_1 = E_1'$ ,  $E_2 = E_2'$  Impulzus megmaradás a két csomópontban:  $p_1' = p_1 + p_\gamma$  és  $p_2' = p_2 - p_\gamma$

Energia megmaradás a két csomópontban:  $E_1 = E_1' + E_\gamma$ ,  $E_2 = E_2' - E_\gamma$ .

Ezekből az következik, hogy  $E_\gamma = 0$ , és egyben van  $p_\gamma > 0$  impulzusa. A fotonokra szokásos  $E = pc$  összefüggés nem áll fenn ezekre a közvetítő fotonokra. Nem valós foton cserélődik ki, hanem virtuális!

Ütkvés előtt a teljes energia:  $E = E_1 + E_2$

Foton elutasító után, de reabszorpció előtt:  $E = E_1 + E_2 + E_\gamma$

Nem marad meg az energia, ha  $E_\gamma > 0$

Virtuális foton kicserélésének magyarázata a határozatlansági reláció. A fotonelutasító és reabszorpció között eltelt  $\Delta t$  ideig fennállhat  $\Delta E$  energiabizonytalanság,  $\Delta E \Delta t \approx \hbar$ . Ebből:

$$\Delta t \approx \frac{\hbar}{\Delta E} = \frac{\hbar}{\hbar \omega} = \frac{1}{\omega}$$

A foton által megtett út  $\Delta t$  idő alatt:  $\Delta s \approx \Delta t \cdot c = \frac{c}{\omega}$ . Az  $\omega$  tetemeslegesen kicsi, így  $\Delta s$  tetemeslegesen nagy lehet.

Zérus tömegű közvetítő részek végtelen hatótávolságot jelentenek. Ilyenek az elektromágneses és a gravitációs kölcsönhatás. (A foton és a graviton közvetít.) Ez az egyik oka, hogy hasonlítanak.

*Az erős kölcsönhatás folyamatának áttekinthetése:*

Analógia alapján hogyan írható le az erős kölcsönhatás?

A közvetítő részecske legyen most egy  $m$  nyugalmi tömegű részecske a foton helyett, ennek a cseréje során az energiabehelyezkedés  $E = mc^2$ . Mag mérete:  $a \sim 10^{-13} \text{ cm} = 1 \text{ fm}$ . A virtuális közvetítő részecske ezt az utat futja be a rendelkezésére álló idő alatt, akkor a  $ea \sim c\Delta t \sim \frac{\hbar}{2\Delta E} = \frac{\hbar}{2mc}$ . Ebből a közvetítő részecske tömegére adódik:

$$m = \frac{\hbar}{2 \cdot c \cdot a} \approx 10^{-26} \text{ kg} \approx 100 m_e$$

*Yukawa gondolatmenete:*

Yukawa gondolatmenete matematikailag volt, de ott is megtalálható az elektrodinamika analógia. Az elektromágneses potenciálra fennáll a Poisson-egyenlet:  $\Delta\Phi = 0$ . A kvantummechanikában az impulzus  $\hat{p} = -i\hbar\nabla$ , ezért a  $\Delta$  operátor:  $\Delta = -\frac{\hat{p}^2}{\hbar^2}$ . A Poisson-egyenlet tehát  $\hat{p}^2\Phi = 0$ -ként is felfogható. Ennek relativisztikus általánosítására – a négydimenziós  $p_\mu p^\mu = \frac{\hat{p}^2}{c^2} - \hat{p}^2 = m_0^2 c^2$  segítségével – a Klein-Gordon-egyenletet adódik:

$$\hbar^2 \left( \frac{1}{c^2} \frac{\partial^2}{\partial t^2} + \Delta \right) \Phi - m_0^2 c^2 \Phi = 0$$

Statikus megoldásnál:

$$\Delta\Phi - \frac{m_0^2 c^2}{\hbar^2} \Phi = 0$$

Oldjuk meg a statikus Klein Gordon egyenletet. A Laplace-operátor polárkoordinátákban:  $\Delta = \frac{\partial^2}{\partial r^2} + \frac{2}{r} \frac{\partial}{\partial r} - \frac{\hat{L}^2}{r^2}$ . Bevezetve a  $\hat{h} = \frac{\hbar}{mc}$  jelölést, az

$$\frac{\partial^2}{\partial r^2} \Phi + \frac{2}{r} \frac{\partial}{\partial r} \Phi - \frac{\hat{L}^2}{r^2} \Phi = \frac{1}{\hat{h}^2} \Phi$$

egyenletet kapjuk. Keressük a megoldást gömbbszimmetrikus esetre. Ekkor  $\frac{\hat{L}^2}{r^2} \Phi = 0$ , hiszen  $\hat{L}^2$ -ben a szögek szerinti deriváltak szerepelnek. Egyenletünket így átírhatjuk:

$$\frac{\partial^2}{\partial r^2} (r\Phi) = \frac{1}{\hat{h}^2} (r\Phi)$$

Az  $r\Phi = u$  függvény használatával:

$$\frac{\partial^2 u}{\partial r^2} = \frac{1}{\hat{h}^2} u$$

alakú lesz egyenletünk. Ennek megoldása az exponenciális függvény:

$$u = Ae^{\frac{r}{\hat{h}}} + Be^{-\frac{r}{\hat{h}}}$$

Ha  $r \rightarrow \infty$ , akkor  $u \rightarrow 0$  feltétel szükséges, ezért  $A = 0$ . Visszatérve  $\Phi$ -re kapjuk a Yukawa potenciált:

$$\Phi = -g \frac{e^{-\frac{r}{\hat{h}}}}{r}$$

A hatótávolság

$$\bar{r} = \frac{\int r |\Phi|^2 dV}{\int |\Phi|^2 dV} = \frac{\int r e^{-\frac{2r}{\hat{h}}} dr}{\int e^{-\frac{2r}{\hat{h}}} dr} = \frac{\hat{h}}{2} = a = \frac{\hbar}{2mc}$$

azaz ugyanaz jött ki, mint a határozatlansági relációnál!

A potenciális energia előjele negatív, mert a potenciál vonzó:

$$V = -g^2 \frac{e^{-\frac{r}{\hat{h}}}}{r}$$

Ha  $g = e$  és  $b = \infty$ , visszakaptuk a Coulomb potenciált.

$$g \sim 6e, \quad \frac{e^2}{hc} = \frac{1}{137}, \quad \frac{g^2}{hc} \sim 1$$

Következmény: 2 foton kibocsátása valószínűtlen, 2 mezón kibocsátása jelentős!  
Yukawa gondolatmenete alapján a nukleon illetve pi-mezón felbomlása.

## 1.2 Bomló állapotok

Tekintsük független részek halmazát. Egy részecske bomoljon el  $\lambda$  valószínűséggel egységnyi idő alatt. Ha a  $t$  időpillanatban  $N(t)$  részecske van összesen, a  $dt$  idő alatt elbomló részek száma  $dN = -\lambda N(t)dt$ , ebből az egyszerű bomlás differenciálegyenlete adódik, aminek megoldása az exponenciális bomlástervezvény:  $N(t) = N(0)e^{-\lambda t}$ . Félélettartam, amikor  $N(0)/2$  rész van jelen,  $T_{1/2} = \frac{\ln 2}{\lambda}$ . Az átlagos élettartam ( $\tau$ ) az, amennyit átlagosan egy részecske él az elbomlása előtt:

$$\tau = \frac{\int t e^{-\lambda t} dt}{\int e^{-\lambda t} dt} = \frac{1}{\lambda}.$$

Tekintsük most kvantummechanikailag egy részecskét, azaz vizsgáljunk egy bomló állapotot. Egy  $E$  energiájú részecske hullámfüggvénye:  $\Psi(x) = \Psi(0)e^{-ikx}$ . Ha  $E$  valós, akkor  $|\Psi(0)|^2 = |\Psi(x)|^2$ , és a részecske nem bomlik el. Ha azonban az energia tartalmaz képzetes részt,  $E = E_0 - i\frac{\Gamma}{2}$ , akkor  $|\Psi(x)|^2 = |\Psi(0)|^2 e^{-\frac{\Gamma}{\hbar}x}$ . Visszakapjuk az exponenciális bomlástervezvényt, ha  $\Gamma = \lambda\hbar$ . Így a bomló részecske hullámfüggvénye:

$$\Psi(x) = \Psi(0)e^{-ikx}e^{-\frac{\Gamma}{2\hbar}x}.$$

Nézzük meg, mi a valószínűsége annak, hogy a kibocsátott energia  $E$ . Fourier transzformációval megkapjuk a valószínűségi amplitúdót. Egy  $f(t)$  függvény Fourier-transzformáltja:

$$g(\omega) = \frac{1}{\sqrt{2\pi}} \int_{-\infty}^{\infty} f(t)e^{i\omega t} dt.$$

Az  $f(t)$  helyett az állapotfüggvényt transzformálva és figyelembe véve, hogy  $E = \hbar\omega$ , illetve  $\Psi(x) = 0$  ha  $x > 0$ ,

$$g(\omega) = \frac{1}{\sqrt{2\pi}} \Psi(0) \int_{-\infty}^{\infty} e^{i(\omega - \frac{E_0}{\hbar})t} e^{-\frac{\Gamma}{2\hbar}t} dt = \frac{\Psi(0)}{\sqrt{2\pi}} \frac{i\hbar}{\hbar\omega - E_0 + i\frac{\Gamma}{2}}.$$

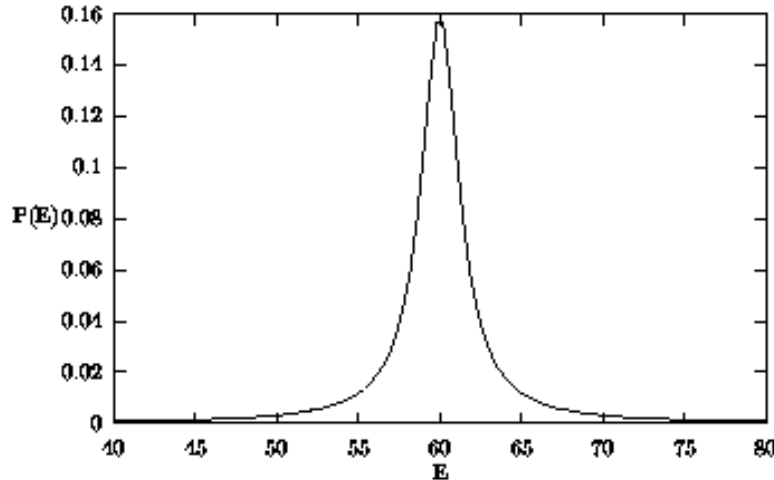
Az  $E$  állapot valószínűsége:

$$P(E) = |g(\omega)|^2 = \frac{C}{(E - E_0)^2 + \frac{\Gamma^2}{4}}.$$

A  $C$  együtthatót a valószínűség egyre való normalizálásával kaphatjuk meg. Így a valószínűségi eloszlásra megkapjuk az ún. Breit-Wigner-formulát:

$$P(E) = \frac{\frac{\Gamma}{2\pi}}{(E - E_0)^2 + \frac{\Gamma^2}{4}},$$

ahol  $\tau = \frac{1}{\lambda} = \frac{\hbar}{\Gamma}$  a bomló állapot félélettartama, és  $\Gamma = \lambda\hbar$  az energiaszélesség:  $\Gamma\tau = \hbar$ .



### 1.3 Átmeneti valószínűségek meghatározása (arany szabály)

Legyen a rendszerünk Hamilton-operátora egy ismert megoldási tag és egy további kölcsönhatás összege:  $H = H_0 + H_{int}$ . A  $H_0$  megoldása  $\varphi_n = u_n(x)e^{-\frac{i}{\hbar}E_n t}$ , ami kielégül a Schrödinger-egyenletet:

$$i\hbar \frac{\partial \varphi_n}{\partial t} = H_0 \varphi_n \quad H_0 u_n = E_n u_n$$

$H$  megoldását sorbafejtethetjük a  $\varphi_n$  teljes rendszer szerint:

$$i\hbar \frac{\partial \Psi}{\partial t} = (H_0 + H_{int}) \Psi, \quad \Psi = \sum a_n(t) u_n e^{-\frac{i}{\hbar} E_n t}$$

Helyettesítjük be ezt a Schrödinger-egyenletbe:

$$i\hbar \sum \dot{a}_n(t) u_n e^{-\frac{i}{\hbar} E_n t} + \sum E_n a_n(t) u_n e^{-\frac{i}{\hbar} E_n t} = \sum a_n (H_0 + H_{int}) u_n e^{-\frac{i}{\hbar} E_n t}$$

$$i\hbar \dot{a}_n(t) = \sum_m (n|H_{int}|m) a_m e^{-\frac{i}{\hbar} (E_m - E_n) t},$$

ahol  $(m|H_{int}|n) = \int d^3x u_m^*(x) H_{int} u_n(x) = H_{mn}$

Ha kezdetben a rendszer adott  $|\alpha\rangle$  állapotban volt és a kölcsönhatás operátor  $H_{int}$  gyenge, közelíthetünk:

$$a_\alpha(t_0) = 1 \quad \text{és} \quad a_n(t_0) = 0, \quad n \neq \alpha$$

Tetszőleges  $t$  időre:

$$a_\alpha(t) \sim 1 \quad \text{és} \quad a_n(t) \ll 1, \quad n \neq \alpha$$

$$\dot{a}_\beta(t) = \frac{1}{i\hbar} (\beta|H_{int}|\alpha) e^{\frac{i}{\hbar} (E_\beta - E_\alpha) t}$$

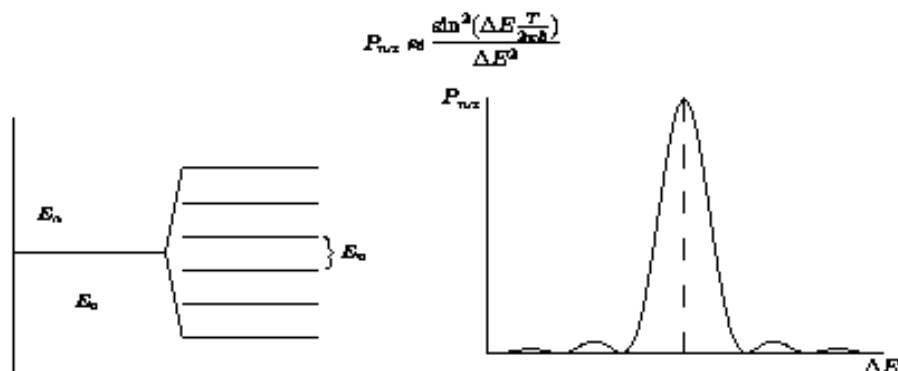
Ha  $H_{int}$  időfüggetlen, akkor

$$a_\beta(T) = \frac{1}{i\hbar} (\beta|H_{int}|\alpha) \int_0^T e^{-\frac{i}{\hbar} (E_\beta - E_\alpha) t} dt = \frac{H_{\beta\alpha}}{E_\beta - E_\alpha} (e^{\frac{i}{\hbar} (E_\beta - E_\alpha) T} - 1)$$

Annak a valószínűsége, hogy a rendszer  $T$  időpillanatban egy adott  $m$  állapothoz van

$$P_{n\alpha}(T) = |a_n(T)|^2 = \frac{4|H_{n\alpha}|^2}{(E_n - E_\alpha)^2} \sin^2 \frac{(E_n - E_\alpha)T}{2\hbar}$$

Ha  $E_n - E_x = \Delta E \gg |H_{nx}|$ , nagy  $T$  időkre  $P_{nx} \rightarrow 0$ . Ha  $E_n \approx E_x$ , akkor  $\langle n | H_{int} | x \rangle \approx$  független  $n$ -től



Az átmenet csak akkor valószínű, ha  $\Delta E \frac{T}{2\hbar} \ll \pi$ , azaz ha  $\Delta E \ll \frac{2\pi\hbar}{T}$ .

A fenti közelítés annyi ideig jó, amíg

$$T \gg \frac{2\pi\hbar}{E_x}, \quad \Delta E \ll E_x, \quad t \gg \frac{1 \cdot 10^{-22} \text{ MeV s}}{E_x}$$

Összevágás helyett integrálhatunk:  $P = \sum_{n \in \Delta E} P_{nx} = \int dn P_{nx}$ . Az  $\pi = \frac{\Delta E T}{2\hbar}$  jelölést bevezetve,  $dn = \frac{dn}{dE} dE = \frac{2\pi\hbar}{E_x} \frac{dn}{d\pi} d\pi$ , így az integrál:

$$P(T) = 4H_{\beta\alpha}^2 \int_{-\infty}^{\infty} \frac{\sin^2 \pi}{\pi^2} \frac{2\pi T}{\hbar} H_{\beta\alpha}^2 \frac{dn}{dE}$$

Ebből az időegységre eső átmeneti valószínűség,  $\frac{dn}{dT} = \rho(E_\beta)$  jelölés használatával:

$$w_{\beta\alpha} = \frac{P(T)}{T} = \frac{2\pi}{\hbar} H_{\beta\alpha}^2 \rho(E_\beta)$$



## 2. Fejezet

# Magerők

A két nukleon állapot vizsgálatainak a célja elsősorban az, hogy információt nyerjünk a magerőről. Kihindulásként felhasználhatjuk ismeretünket az erős kölcsönhatás szimmetriáiról. Két kölcsönható részecske Schrödinger egyenlete:

$$-\frac{\hbar^2}{2m_1}\Delta_1\psi(r_1, r_2) - \frac{\hbar^2}{2m_2}\Delta_2\psi(r_1, r_2) + V(r_1, r_2)\psi(r_1, r_2) = E_{k.o.}\psi(r_1, r_2),$$

ahol  $V(r_1, r_2)$  a két részecske között ható potenciál, ami az eltolás invariancia miatt nem lehet  $r_1$  és  $r_2$  függvénye, csak a köztük különbözőségé,  $r = r_1 - r_2$ -é. Bekerítve az  $r$  relatív és az  $\mathbf{H} = \frac{m_1\mathbf{r}_1 - m_2\mathbf{r}_2}{m_1 + m_2}$  tömegközépponti koordinátát, a Schrödinger egyenlet és a hullámfüggvény szeparálható egy tömegközépponti és egy relatív koordinátáktól függő részre:

$$\psi_{k.o.}(r_1, r_2) = \psi(\mathbf{H})\psi(r)$$

$$-\frac{\hbar^2}{2\mu}\Delta\psi - V(r)\psi = E\psi, \quad -\frac{\hbar^2}{2M}\Delta\psi = E_{G.M.}\psi,$$

ahol  $\psi(r_1, r_2) = \psi(r)\psi(\mathbf{H})$ ,  $E_{k.o.} = E_{G.M.} + E$ ,  $M$  a rendszer teljes tömege és  $\mu = \frac{m_1 m_2}{m_1 + m_2}$  a relatív tömeg.

Rögzítjük a rendszer tömegközéppont koordinátáját (közelítés), akkor  $E_{G.M.} = 0$ . Célszerű a következőkben a Schrödinger egyenletet polár koordinátákban felírni:

$$-\frac{\hbar^2}{2\mu}\left[\frac{1}{r}\frac{\partial^2}{\partial r^2}(r\psi(r)) - \frac{L^2}{r^2}\psi(r)\right] + V(r)\psi(r) = E\psi(r).$$

A hullámfüggvényt fejtsük sorba gömbhullámfüggvények szerint:

$$\psi(r) = \sum_{l,m} \frac{u_l(r)}{r} Y_{lm}(\theta, \varphi).$$

A továbbiakban feltételezzük, hogy az erős kölcsönhatás Hamilton operátora invariáns a tértüközéssel szemben. Ez azt jelenti, hogy a sorfejtésben paritás megmaradás miatt csak vagy páros, vagy páratlan komponensek jelennek meg. Jelöljük a paritás operátort  $P$ -vel, az a gömbhullámfüggvényeket a

$$PY_{lm}(\theta, \varphi) = Y_{lm}(\pi - \theta, \varphi + \pi) = (-1)^l Y_{lm}(\theta, \varphi)$$

alakba visel át. A teljes hullámfüggvény csak akkor lesz invariáns tértüközéssel szemben, ha  $l$  vagy csak páros, vagy csak páratlan értéket vesz fel. Ha  $V$  csak az  $r$  skálár függvénye, az egyenlet tovább egyszerűsíthető, parciális komponensekre bonthatjuk. A részleges Schrödinger egyenlet az  $l$ -ik parciális hullámra

$$-\frac{\hbar^2}{2\mu}\left(u_l'' - \frac{l(l+1)}{r^2}u_l\right) + V(r)u_l = E u_l.$$

Alapállapotban  $l = 0$ .

## 2.1 Két nukleon kötött állapota: a deuteron

Tekintsünk egy proton-neutron rendszert, és határozzuk meg ennek kötött állapotát. A Yukawa potenciál helyett, egyszerűség kedvéért, használjunk négyzetűg potenciált, és legyen  $l=0$ .

$$V = \begin{cases} -V_0 & r < b \\ 0 & r > b \end{cases}$$

Bevezetve a

$$\frac{2\mu V_0}{\hbar^2} = K_0^2, \quad \frac{2\mu W}{\hbar^2} = \alpha^2, \quad \frac{2\mu E}{\hbar^2} = k^2, \quad \kappa^2 = K_0^2 - \alpha^2, \quad K^2 = K_0^2 + k^2, \quad W = -E$$

jelöléseket, az egyenlet egy külső és egy belső részre választható szét:

$$\begin{aligned} u_n + \kappa^2 u_n &= 0 & E < 0 & & u_n + K^2 u_n &= 0 & E > 0 \\ u_k - \alpha^2 u_k &= 0 & & & u_k + k^2 u_k &= 0 & \end{aligned}$$

Ha  $E < 0$ , kötött, ha  $E > 0$ , szórt állapotot kapunk. A külső megoldások a két esetben erősen különböznek:

$$\begin{aligned} u_n &= A \sin(\kappa r) + B \cos(\kappa r), & u_n &= A \sin(Kr) + B \cos(Kr), \\ u_k &= C e^{-\alpha r} + D e^{\alpha r}, & u_k &= C \sin(kr + \delta). \end{aligned}$$

A külső és belső hullámfüggvényeket, és deriváltjait, illeszteni kell a határon. Ezenkívül a hullámfüggvény aszimptotikus véges volta miatt  $D = 0$ , az  $r = 0$  pontban való véges volta miatt pedig (mivel a hullámfüggvény valójában  $\frac{u}{r}$ )  $B = 0$ . Elcsúsztva a deriváltakat a hullámfüggvényekkel, kötött és szórt állapot energiájára a következő összefüggéseket kapjuk:

$$\kappa \cotg(\kappa b) = -\alpha, \quad K \cotg(Kb) = k \cotg(kb + \delta)$$

A kötött állapot egyenlete egyáltalán is megoldható, de az eredményt közelítőleg azonnal tudjuk értékelni. A deuteron kötési energiája 2.226 MeV. Tételünk fel első közelítésben, hogy  $\alpha = 0$ . Az egyenlet megoldása:

$$\delta K_0 = \frac{\pi}{2}, \quad b \approx 1.6 \text{ fm}, \quad b \sqrt{\frac{2\mu V_0}{\hbar^2}} \approx \frac{\pi}{2}, \quad V_0 \approx 10 \text{ MeV}$$

A kinetikus energia ezzel szemben 38 MeV, azaz a rendszer gyengén kötött.

$l \neq 0$  állapotban a potenciális energia megnövekszik a centrifugális potenciál pozitív volta miatt:

$$V \rightarrow V_{eff} = V + \frac{\hbar^2 l(l+1)}{2\mu r^2}.$$

Ilyenkor a mag már nem biztos, hogy kötött. Kísérletileg az figyelhető meg, hogy a deuteronnak nincs gerjesztett állapota. A kötött állapotok energiájából összesen egy adatot tudunk meg, and nem túl sokat mond a két nukleon potenciálról.

További információkat nyerünk a magerőkről, ha a deuteron spinjét vizsgáljuk. A deuteron spinje mindig 1. Statisztikus megfontolások alapján azt várjuk, hogy a spin 75%-ban 1, 25%-ban 0. Úgyisntén nincs kötött dineutron, illetve kötött diproton állapot sem. Ennek egyetlen oka lehet, csak: a magerők spinfüggők. A potenciál gyengébb szingulet állapotban, mint tripletben. Mivel a magerők triplet állapotban éppen hogy kötöt tudják a deuteron, a szingulet állapot potenciál 5%-os gyengülése már azt jelenti, hogy a rendszer nem lesz kötött. A dineutron, mivel azonos részekből áll és így a Pauli elv érvényes rá,  $l=0$  szimmetrikus térbeli hullámfüggvény esetén csak antiszimmetrikus spin hullámfüggvénnyel rendelkezhet, and szingulet állapotnak felel meg. A magerők spinfüggését leíró operátor

$$\mathbf{S} = \frac{1}{2}(\boldsymbol{\sigma}_1 + \boldsymbol{\sigma}_2),$$

ahol  $\boldsymbol{\sigma}_1$  és  $\boldsymbol{\sigma}_2$  a két részecske spinoperátora. Mivel

$$\begin{aligned} S^2 &= \frac{1}{4}(\underline{\sigma}_1 + \underline{\sigma}_2)^2, & \sigma^2 &= 3I \\ (\underline{\sigma}_1 \underline{\sigma}_2) &= 2S(S+1) - 3 \end{aligned}$$

A deuteronnak alapállapotban létezik csak hullámfüggvénye ( $l=0$ ), ami azt jelenti, hogy töltéssűrűsége gömbbszimmetrikus. Kísérletileg kimutatható, hogy a deuteronnak van kvadrupólmomentuma, ami nem szimmetrikus töltéssűrűséget jelent. Ez azt jelenti, hogy az alapállapot  $l=0$  és  $l=2$ -es állapotok keveréke ( $l=1$  nem lehet a paritásmegmaradás miatt).

$$\Psi_D = \Psi_0(r) + \Psi_2(r)P_2(\cos\theta)$$

Centrális potenciál esetén az egyes parciális hullámok szeparálhatók, így ez a hullámfüggvény csak akkor adhat mélyebb energiát, mint a  $\Psi_0(r)$  állapot, ha a mágterők nem teljesen centrálisak. A nem centrális részt tenzorérőnek nevezzük. A tenzorérő úgy van megválasztva, hogy szinguláris állapotra hatva vényt ad, triplet állapotra hatva az azonos  $J$ -jű,  $\Delta I = \pm 2$ -es állapotokat csatolja:

$$S_{12} = \frac{3(\underline{\sigma}_1 \cdot \underline{r})(\underline{\sigma}_2 \cdot \underline{r})}{r^2} - (\underline{\sigma}_1 \underline{\sigma}_2).$$

## 2.2 Kis energiájú nukleon-nukleon szórás

Szórassunk egy  $R$  sugarú objektumon egy pontszerű részecskét  $b$  létközéál paraméterrel. Félklasszikus érveléssel belátható, hogy a két részecske egymás hatását csak akkor éri, ha

$$\hbar^2 l(l+1) < 2mER^2.$$

Kis energián tehát a relatív impulzusmomentum 0. Értelmes ezért a parciális hullámok módszerét alkalmazni. A szóráselméletből tudjuk, hogy rugalmas szórás esetén a hullámfüggvény aszimptotikusan

$$\Psi \rightarrow e^{ikx} + f(\theta) \frac{e^{ikr}}{r}$$

alakba írható. A hatáskeresztmetszet ilyenkor:

$$\sigma = \int \sigma(\theta) d\Omega, \quad \sigma(\theta) = |f(\theta)|^2.$$

$f(\theta)$ -t ill  $\sigma(\theta)$ -t parciális hullámokra bontva

$$\begin{aligned} f(\theta) &= \frac{1}{k} \sum_l (2l+1) e^{i\delta_l} \sin \delta_l P_l(\cos(\theta)), \\ \sigma &= \frac{4\pi}{k^2} \sum_l (2l+1) \sin^2 \delta_l. \end{aligned}$$

Ha a potenciál nem centrális, a fenti gondolatmenet kicsit komplikáltabb, mert a különböző parciális hullámok keverednek.  $\delta_l$ -t fáziseltolásnak nevezzük, a két nukleon kölcsönhatás vizsgálataánál már találkozunk ezzel a fogalommal.  $\delta$ -t a hatáskeresztmetszetből meg tudjuk határozni, az ún. fázisanalízis assal foglalkozunk, hogyan lehet a különböző  $\delta_l$  értékekből a potenciált megkapni.

A korábbiakban meghatároztuk a szórt hullámfüggvény értékét, külső és belső esetre. A határfeltételten vett illesztésből

$$K \operatorname{ctg} Kb = k \operatorname{ctg} (kb + \delta).$$

Kis energiájú szórásra  $k \rightarrow 0$ ,  $K \rightarrow K_0$ , és így

$$\lim_{k \rightarrow 0} k \operatorname{ctg} \delta_0 = \frac{K_0 \operatorname{ctg} K_0 b}{1 - K_0 b \operatorname{ctg} K_0 b}$$

Ha van kötött állapot, látjuk hogy

$$K_0 \text{ ctg } K_0 b \sim -\alpha$$

és a fáziseltolás kifejezhető a kötött állapot energiájával

$$\text{ctg } \delta_0 = -\frac{\frac{\alpha}{k}}{1 + \alpha b}$$

A hatáskeresztmetszet ezek szerint

$$\sigma = \frac{4\pi}{k^2} \sin^2 \delta_0 = \frac{4\pi}{k^2} \frac{1}{1 + \text{ctg }^2 \delta_0} \rightarrow \frac{4\pi(1 + \alpha b)^2}{k^2(1 + \alpha b)^2 + \alpha^2} \rightarrow 4\pi(\alpha^{-1} + b)^2$$

A következőkben célszerű bevezetni a szóráshossz fogalmát. Definíció szerint

$$a = -\lim_{k \rightarrow 0} f(\theta) = -\lim_{k \rightarrow 0} \frac{1}{k} e^{i\delta_0} \sin \delta_0$$

A hatáskeresztmetszet ekkor nagyon egyszerű

$$\sigma(k) = 4\pi a^2,$$

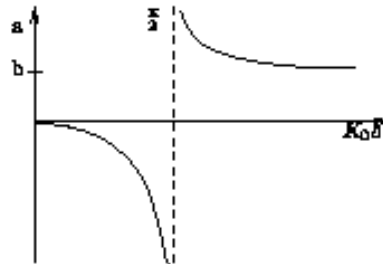
ahol  $a$  kis energián a geometria sugárának felel meg.  $a$  kifejezhető a kötött állapot energiájával is

$$a = b + \alpha^{-1} = b \left(1 - \frac{\text{tg } K_0 b}{K_0 b}\right).$$

A hatáskeresztmetszetre kapott érték

$$\sigma = 4\pi a^2 = 3.57 \text{ barn}$$

a mért érték ezzel szemben 20 barn. Mi az eltérés oka? Ábrázoljuk a szóráshosszt a potenciál függvényében:



Szórásnál szingulet és triplet állapot egyaránt felléphet.

$$\sigma = 4\pi \left( \frac{1}{4} |a_s|^2 + \frac{3}{4} |a_t|^2 \right)$$

$$a_t = 5.41 \text{ fm} \quad \Rightarrow \quad a_s = -23.7 \text{ fm}$$

A negatív előjel azt jelenti, hogy nincs kötött állapot. A hatáskeresztmetszetből az előjel nem kapható meg. Az előjel meghatározása lassú neutronok ortho illetve parahidrogén molekulán való szórással határozható meg, a lassú neutron ugyanis interferálni tud a különböző spinű protonokkal

## 2.3 Izospin

A kisenergiájú n-p p-p és a honyolultan létrehozott n-n szóráscs eredményeit összehasonlítva az adódik, hogy Coulomb szórástól eltekintve adott állapotban (szingulet ill. triplet) a hatáskeresztmetszetek megegyeznek. Ez azt jelenti, hogy a magerők a nukleonok között töltésfüggetlenek, a neutron és proton magfűlkal szempontból, ha nem lenne a protonnak töltése, vagy nem is lenne elektromágneses kölcsönhatás, azonos részek. Ezt a felfedezést fogalmazta meg matematikai alakban Wigner, amikor bevezette az izospin fogalmát.

Esszerint a gondolatmenet szerint a proton és a neutron azonos részek, pont úgy mint a felfelé ill.

lefelé mutató spinű elektronok. Az isospint hasonló mátrixszal lehet leírni, mint a spint, csak ezek az isospin térben, tehát az isospin hullámfüggvényekre hatnak. A  $\pi$  komponens operátorát neutronra hajtva  $1/2$ -t, protonra hajtva  $-1/2$ -t kapunk. (Ésszerűségi okokból definíció szerint fordított az eljél.) Két nukleon esetén  $T=1$  III.  $T=0$  lehet,  $T=1$  három beállással (nn, np, pp 1, 0, -1 értékekkel), a  $T=0$  (np, 0 értékekkel) eggyel. Matematikailag az isospin operátorok teljesen azonosak a spin operátorokkal.

A nukleonok töltésfüggetlenek. Izotóp spin

$$\hat{T} = \frac{1}{2} \sum \tau, \quad \tau_{\pm} = \tau_x \pm i\tau_y,$$

$$\tau_x \nu = \nu, \quad \tau_x \pi = 0, \quad \tau_y \nu = \pi,$$

$$\tau_z \pi = -\pi, \quad \tau_z \nu = -\nu, \quad \tau_z \pi = 0.$$

## 2.4 Nagyenergiájú szórások

A parciális hullámok módszerével meghatározhatjuk a kisenergiájú szórásbázeiszerkesztéseket. Ahogy növekszik az energia, egyre több parciális hullám járulékat kell figyelembe venni. Ilyenkor célszerű néha, legalább is a kvalitatív vizsgálatok céljából, a Lippmann-Schwinger egyenlet megoldását tekinteni.

A Lippmann-Schwinger egyenlet szőrt állapotokra a következő módon vezethető le. Legyen a teljes rendszer Hamilton operátora  $H$ , és válasszunk egy  $H_0$  perturbálatlan operátort, aminek tudjuk a sajátértékeit. Ekkor

$$(H_0 + H_1)\Psi = E\Psi, \quad H_0\Phi = E\Phi.$$

A normálási feltétel  $\Psi$ -re legyen az, hogy

$$(\Psi, \Phi) = (\Phi, \Phi).$$

Ekkor

$$(H_0 - E)\Psi = -H_1\Psi + (H_0 - E)\Phi, \quad \text{mivel } r \rightarrow \infty \text{ -re } \Psi \rightarrow \Phi$$

$$\Psi^{\pm} = \Phi + \frac{1}{E - H_0 \pm i\epsilon} H_1 \Psi^{\pm},$$

és a nevező vérselhelyét, most egy komplex vérselhez tartó számú hosszárúrással kerüljük el.  $H_0$  egy teljes rendszerét behelyettesítve az egyenletbe

$$\Psi^{-} = \Phi + \sum_i \frac{1}{E - H_0 + i\epsilon} |\Phi_i\rangle \langle \Phi_i | H_1 | \Psi^{-} \rangle$$

adódik. Figyelembe véve, hogy  $\Phi_i = e^{ikx}$  és az összegezés helyett integrálásra áttérve

$$\Psi^{(-)} = e^{ikx} + \frac{1}{(2\pi)^3} \frac{m}{\hbar^2} \int \frac{e^{ik'x}}{k^2 - k'^2 - i\epsilon} e^{-ik'x} V(r') \Psi^{-}(r') d^3r' d^3k'.$$

A bázisbázisbázisbázis  $f(\Theta)$  értékét kell tudnunk. A szőrt hullámfüggvény aszimptotikus alakját úgy írjuk fel, hogy

$$\Psi^{(-)} \rightarrow e^{ikx} + f(\Theta) \frac{e^{ikr}}{r}.$$

$f(\Theta)$ -t úgy kapjuk meg, ha  $\Psi$  kifejezésében elvégezzük az integrálást, és az  $r \rightarrow \infty$  aszimptotikus alakot kemoszuk:

$$\Psi^{(-)} \rightarrow e^{ikx} - \frac{1}{4\pi\hbar^2} \frac{e^{ikr}}{r} \int \Psi^{-}(r') V(r') e^{-ik''x'} d^3r'.$$

Összehasonlítva ezt az előző egyenlettel, látható hogy a következő alakú lesz:

$$f(\Theta) = -\frac{m}{4\pi\hbar^2} \int V(r') \Psi^{-}(r') e^{-ik''x'} d^3r',$$

ahol  $\mathbf{k}'$   $k'$  abszolút értéki és  $\mathbf{r}$  irányba mutató vektor.

Nézzük most a fenti integrálás részletes levezetését. A  $\Phi_{\mathbf{k}'} = e^{i\mathbf{k}' \cdot \mathbf{r}}$  függvény  $H_0$  sajátfüggvénye:

$$H_0 \Phi_{\mathbf{k}'} = \frac{k'^2}{2m} \Phi_{\mathbf{k}'},$$

Ezzel  $\Psi^{(-)}$ -t a következőképpen írhatjuk le:

$$\begin{aligned} \Psi^{(-)}(\mathbf{r}) &= \Phi(\mathbf{r}) + \frac{2m}{\hbar^2} \int G_{\mathbf{k}}^{(-)}(\mathbf{r}, \mathbf{r}') V(\mathbf{r}') \Psi^{(-)}(\mathbf{r}') d^3 r', \\ G_{\mathbf{k}}^{(-)}(\mathbf{r}, \mathbf{r}') &= \frac{1}{(2\pi)^3} \int \frac{\Phi_{\mathbf{k}'}(\mathbf{r}) \Phi_{\mathbf{k}'}^*(\mathbf{r}')}{k^2 - k'^2 + i\epsilon} d^3 k'. \end{aligned}$$

$G_{\mathbf{k}}^{(-)}(\mathbf{r}, \mathbf{r}')$  a perturbálatlan probléma Green-függvénye, a

$$(\nabla^2 + k^2)G(\mathbf{r}, \mathbf{r}') = \delta(\mathbf{r} - \mathbf{r}')$$

differenciálegyenlet megoldása.

Elsőször integráljuk a fenti kifejezést szög szerint:

$$\int e^{i\mathbf{k}' \cdot (\mathbf{r} - \mathbf{r}')} d\Omega = 2\pi \int_0^\pi e^{ik'|\mathbf{r} - \mathbf{r}'| \cos\theta} \sin\theta d\theta = \frac{2\pi}{ik'|\mathbf{r} - \mathbf{r}'|} (e^{ik'|\mathbf{r} - \mathbf{r}'|} - e^{-ik'|\mathbf{r} - \mathbf{r}'|}).$$

$$G_{\mathbf{k}}^-(\mathbf{r}, \mathbf{r}') = \frac{2\pi}{i|\mathbf{r} - \mathbf{r}'|} \int_0^\infty \frac{k' dk'}{k^2 - k'^2 + i\epsilon} [e^{ik'|\mathbf{r} - \mathbf{r}'|} - e^{-ik'|\mathbf{r} - \mathbf{r}'|}] = \frac{2\pi}{i|\mathbf{r} - \mathbf{r}'|} \int_0^\infty \frac{k' dk'}{k^2 - k'^2 + i\epsilon} e^{ik'|\mathbf{r} - \mathbf{r}'|}$$

A vonal menti integrál:

vagyis kiterjesztjük az integrált a komplex felső félsíkra.

Cauchy tétele értelmében (nekünk csak a  $k = k'$  helyen van)

$$\begin{aligned} \frac{1}{k^2 - k'^2 + i\epsilon} &= \frac{P}{k^2 - k'^2} + i\pi\delta(k^2 - k'^2), \\ \delta(k^2 - k'^2) &= \frac{1}{2k} \delta(k - k') = -\frac{1}{2k} \delta(k' - k). \end{aligned}$$

Aszimptotikusan

$$\begin{aligned} G^- &= \frac{2\pi}{8\pi^2} \int \frac{(i\pi)}{i k' |\mathbf{r} - \mathbf{r}'|} \frac{1}{2k'} \delta(k - k') k'^2 dk' e^{ik'|\mathbf{r} - \mathbf{r}'|} = -\frac{1}{8\pi} \frac{1}{|\mathbf{r} - \mathbf{r}'|} e^{ik|\mathbf{r} - \mathbf{r}'|} \xrightarrow{r \rightarrow \infty} -\frac{1}{8\pi r} e^{ikr} e^{-i\mathbf{k}'' \cdot \mathbf{r}'}, \\ \Psi^{(-)}(\mathbf{r}) &= e^{i\mathbf{k} \cdot \mathbf{r}} - \frac{m}{4\pi\hbar^2} \frac{1}{r} e^{ikr} \int e^{-i\mathbf{k}'' \cdot \mathbf{r}'} V(\mathbf{r}') \Psi^{(-)}(\mathbf{r}') d^3 r'. \end{aligned}$$

Így megkaptuk a fenti integrált.

A továbbiakban alkalmazzuk a Born-közelítést. Ez olyankor jogos, ha  $H_0$  nagy  $H_1$  mellett.

Ilyenkor  $\Psi^{(-)}(\mathbf{r}') \rightarrow e^{i\mathbf{k}'' \cdot \mathbf{r}'}$ . Ezt figyelembe véve és szög szerint integrálva

$$f(\Theta) = -\frac{m}{\hbar^2} \int_0^\infty V(r) \frac{e^{iqr} - e^{-iqr}}{2iq} r^2 dr,$$

ahol  $q = |\mathbf{k} - \mathbf{k}''| = 2k \sin \frac{\Theta}{2}$  az átadott impulzus és  $k^2 = k'^2 = k''^2$ . Yukawa potenciálra könnyen meghatározhatjuk  $f(\Theta)$ -t.

$$V(r) = -V_0 \frac{e^{-\mu r}}{r}, \quad f(\Theta) = \frac{mV_0}{\hbar^2} \frac{1}{1 + 4k^2 \sin^2(\frac{\Theta}{2})}.$$

Ha

$$V_0 = \frac{e^2}{b}, \quad b \rightarrow \infty, \quad V \rightarrow \frac{-e^2}{r}, \quad f(\Theta) = \frac{me^2}{\hbar^2} \frac{1}{4k^2 \sin^2 \frac{\Theta}{2}},$$

azaz a Rutherford szórás hatáskeresztmetszetét, lapjuk meg. Bevezetve a  $\sigma_0 = \frac{m^2 \hbar^4 v_0^2}{E^4}$  jelölést:

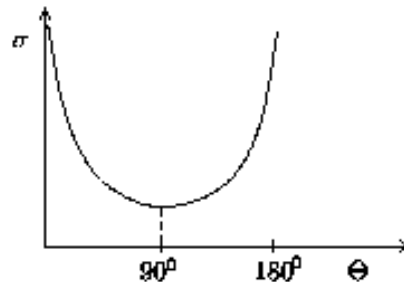
$$\sigma(\Theta) = |f(\Theta)|^2 = \frac{\sigma_0}{\left[1 + \frac{4m^2 E}{\hbar^2} \sin^2 \frac{\Theta}{2}\right]^2}$$

### Nagyenergiájú n-p szórás

A szórás hatáskeresztmetszet vizsgálatából az jön ki, hogy nagyenergiájú n-p szórásnál az előm és hátraszórás viszonya

$$\frac{\sigma(0)}{\sigma(\pi)} = \left[1 + \frac{4m^2 E}{\hbar^2}\right] \sim 100 \quad \text{ha } E \sim 100 \text{ MeV.}$$

A kísérleti eredmény ezzel szemben



Kérdés, mi az oka ennek? A magterők közérlelős jellegiek.



$$V \rightarrow \frac{1}{2}(1+P)V,$$

$P$  itt a tértükrecelés operátora. Bekövetkezhet tehát, hogy egy proton neutronná, egy neutron protonná alakul. A közérlelős jelleg egyik következménye:

$$\Psi(\mathbf{r}) \rightarrow \frac{1+P}{2}\Psi(\mathbf{r}),$$

$$f(\Theta) \rightarrow \left(\frac{1+P}{2}\right)f(\Theta) = \frac{1+P}{2} \frac{1}{2ik} \sum (2l+1)(e^{2i\delta_l} - 1)P_l(\cos\Theta) \rightarrow \frac{1}{2}(f(\Theta) + f(\pi - \Theta))$$

Mivel

$$Y_{lm}(\pi - \Theta, \varphi) = (-1)^l Y_{lm}(\Theta, \varphi),$$

esért. l=páratlan állapotokban a magterők nagyon gyengék.

### Nagyenergiájú p-p szórás

Kísérleti megfigyelés

- $\sigma(\theta) \sim 400 - 500 \text{ MeV}$ -ig a szögfüggés közel isotróp. Itt már nem mindig ragalmas a szórás, plonok keletkezhetnek.
- $\sigma_s(E)$  azaz a teljes keresztmetszet független a beeső energiától kb. 600 MeV-ig.

Hogyan lehet ez?

a)

Ha a hatáskeresztmetszet *szélessége*ét nézzük nagyobb energiákon,  $P_1$  járulékal:

$$\begin{aligned} l=1 \quad P_1 &\sim \cos\Theta \\ l=2 \quad P_2 &\sim \frac{3}{2} \cos^2\Theta - \frac{1}{2} \end{aligned}$$

azaz erősen *szélesség* kellene, hogy legyen. Ugyanakkor a hatáskeresztmetszetekhez a  $P_1$ ,  $P_2$  ad járulékat, ugyancs ha nem adna,

$$\sigma_0 = \frac{4\pi}{k^2} \sin^2 \delta_0 < \frac{4\pi}{k^2} \sim 25 \text{ mb, ha } E = 100 \text{ MeV}$$

lenne, ezzel szemben a kísérleti érték 30 mb.  $l=1$  figyelembevételével:

$$f(\Theta) \sim \sin^2 \delta_0 P_0^2(\Theta) + 6 \sin \delta_0 \sin \delta_1 \cos(\delta_0 - \delta_1) P_0(\Theta) P_1(\Theta) + 9 \sin^2 \delta_1 P_1^2(\Theta)$$

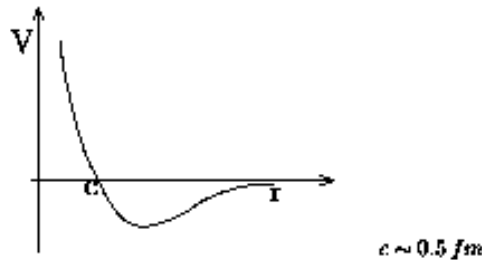
Az eltérés oka a spin-pálya csatolás. Ha ugyancs a Schrödinger egyenlet:

$$-\frac{\hbar^2}{2m} \Delta \Psi + V_0(r) \Psi + V_1(r) \mathbf{L} \mathbf{S} \Psi = E \Psi$$

alakú, akkor más  $\delta$ -t ad  ${}^3P_0$ ,  ${}^3P_1$  és  ${}^3P_2$  állapotra és ezek lineáris kombinációjá lép fel  $f(\Theta)$ -ban. Megmutatható, hogy ha  $\delta_{l1}^0 = \delta_{l1}^1 = -\delta_{l1}^1$ , akkor P együtthatóól éppen kiejtik egymást.

b)

A második jelenségre a magyarázat az, hogy  $\delta_0$  nagyobb energián negatívvá válik, és  $\delta$ -k járulékal kiejtik egymást.  $\delta_1$  akkor lesz lesz negatív, ha a két nukleon potenciál taszító, tehát nagy energián.



p-p szórásnál új jelenségek léptek fel, amiket az n-p szórásnál nem észleltünk. Az ok: a Pauli elv miatt bizonyos hullámok tiltottak, az n-p szórásnál sokkal több hullám ad járulékat, ez módosítja a kvantitatív képet. Bizonyos jelenségek csak p-p szórásnál figyelhetők meg.

### Fázisanalízis

Az elmondottakból látható, hogy a potenciál meghatározására fázisanalízist kell végezt. Ez azt jelenti, hogy felírjuk a teljes potenciált, behelyettesítjük a Schrödinger egyenletbe, keressük a hullámfüggvény megoldást.

$$-\frac{\hbar^2}{2m} \Delta \Psi + (V_c + V_s(\sigma_1, \sigma_2) + V_{LS} \mathbf{L} \mathbf{S} + V_T S_{12}) \Psi = E \Psi,$$

$$\Psi = \begin{pmatrix} \Psi_1 \\ \Psi_2 \end{pmatrix}, \quad \Psi^a \rightarrow \sum \frac{A_{lk}}{r} e^{-i(kr - l\frac{\pi}{2} - \eta(r) - \delta_{lk})}$$

alakban, és megoldjuk. A spinfüggés miatt  $f(\Theta)$  mátrixsá válik. A hatáskeresztmetszet mérésekből meghatározunk a  $\delta_{j,l,r}$  fázisokat, és abból következtetünk a potenciál alakjára. Az eljárás természetesen nem egyértelmű, a potenciálokat elvi alapon valamilyen szabad paraméterekkel jellemzett r függő alakokkal írjuk le és a fázisanalízisből ezeket a paramétereket kapjuk meg. Ekkor potenciál, kb. 10 paraméter van benne. (Itt csak akkor lép fel, ha Coulomb-szórás is van).



## 2.5 Két nukleon potenciál általános alakja a kísérletek alapján

1. Rövid hatótávolságú (nagyok mérete,  $\alpha$  szórás)
2. Közel tökéletesen (kis energiájú n-p, n-n, p-p szórás szórásossza azonos)
3. Spinfüggetlenség (d spinje 1, nincs binutron)
4. Nem teljesen centrális (tensorek, deuteron kvadrupólmomentuma)
5. Kicsérélő jellegűek (nagyenergiájú n-p hátraszórás)
6. Spin-pálya csatoló (nagyenergiájú p-p szórás közel izotróp)
7. Sebességfüggetlenség vagy tasztító törvénnyel (nagyenergiájú p-p szórás energiafüggetlen)

Potenciál hatása különböző állapotokban:

	${}^1S_0$	${}^3S_1$	${}^1P_1$	${}^3P_0$	${}^3P_1$	${}^3P_2$	${}^1D_2$	${}^3D_1$	${}^3D_2$	${}^3D_3$
$V_c$	+1	+1	+1	+1	+1	+1	+1	+1	+1	+1
$V_S(\sigma_1\sigma_2)$	-3	+1	-3	+1	+1	+1	-3	+1	+1	+1
$V_{LS}(\mathbf{L}\mathbf{S})$	0	0	0	-2	-1	+1	0	-3	-1	+2
$V_{TS_{12}}$	0	${}^3D_1$	0	0	0	${}^3E_2$	0	${}^3S_1$	0	${}^3G_3$

## 2.6 Potenciálok hely és sebességfüggése

Az eddigiekben elhanyagoltuk a sebességfüggést, de ez nem lokális potenciál esetében mindig fellép.

$$V\psi(\mathbf{r}) = \int V(\mathbf{r}, \mathbf{r}')\psi(\mathbf{r}')d^3r'$$

Fejtsük sorba ezt  $r' \sim r$  körül. Mivel  $\nabla = \frac{i}{\hbar}\mathbf{p}$ ,

$$= V_0(\mathbf{r})\psi(\mathbf{r}) + V_1(\mathbf{r})(\mathbf{r}\mathbf{p})\psi(\mathbf{r}) + \frac{1}{2}V_2(\mathbf{r})(\mathbf{r}\mathbf{p})^2\psi(\mathbf{r}) + \dots$$

$$V_0(\mathbf{r}) = \int d^3r' V(\mathbf{r}, \mathbf{r}'),$$

$$r_j V_1(\mathbf{r}) \sim \int d^3r' (r'_j - r_j)V(\mathbf{r}, \mathbf{r}'),$$

$$r_j r_k V_2(\mathbf{r}) \sim \int d^3r' (r'_j - r_j)(r'_k - r_k)V(\mathbf{r}, \mathbf{r}').$$

A nem lokális potenciál sebességfüggő potenciálnak felel meg.

Hogyan határozhatjuk meg a helyfüggést?

Célszerű elméletből következtetni. Az egy meson kicsérélő potenciál, mint láttuk, a Yukawa potenciál:

$$V = -g \frac{e^{-\mu|\mathbf{r}-\mathbf{r}'|}}{|\mathbf{r}-\mathbf{r}'|}.$$

Az egy meson kicsérélő potenciálok térelméletileg levezethetők, mint a következőkben majd látjuk.

## 2.7 Két nukleon potenciál általános alakja szimmetria elvekből

Szimmetria tulajdonságok

- Eltolás invariancia: csak  $\mathbf{r} = \mathbf{r}_1 - \mathbf{r}_2$ ,  $\mathbf{p} = \mathbf{p}_1 - \mathbf{p}_2$ , és  $\sigma_1, \sigma_2$ -től függhet.
- Méltolás invariancia: méltól explicit módon nem függ
- Forgás invariancia: skalár kell hogy legyen
- Térülkérés invariancia: paritás megmarad
- Méltülkérés invariancia: létparitás megmarad
- Két. rész felcserélésével szembeni invariancia
- Isotóp spin  $s$  tengelye körüli forgás invariancia: töltésmegmaradás

Nézünk meg ezek után az egyes vektorok viselkedését az egyes operációk esetén.

### 2.7.1 Vektorok viselkedése szimmetrikus operációk esetén

	Térülkérés	Méltülkérés
$\mathbf{r}$	V	+
$\mathbf{p}$	V	-
$\underline{\sigma}$	AV	-
$\underline{\sigma}_1 \times \underline{\sigma}_2$	AV	+
$\underline{\sigma} \times \mathbf{r}$	V	-
$\underline{\sigma} \times \mathbf{p}$	V	+
$\mathbf{r} \times \mathbf{p}$	AV	-

V: vektor, AV: axálvektor.

V és AV vektorképzés sorvata mindig V

V és V vektorképzés sorvata mindig AV

AV és AV vektorképzés sorvata mindig AV.

### 2.7.2 A legáltalánosabb potenciál szimmetriaelvek alapján

$V = V(r^2, p^2, L^2)$  függő, ezek közül nem szerepelnek.

$$\left. \begin{aligned} (\mathbf{r} \times \mathbf{p})(\mathbf{r} \times \mathbf{p}) &= \mathbf{L}^2 \\ (\mathbf{r}\mathbf{p})(\mathbf{r}\mathbf{p}) &= r^2 p^2 - \mathbf{L}^2 \\ r\mathbf{r} &= r^2, \quad \mathbf{p}\mathbf{p} = p^2 \end{aligned} \right\} \text{tehát ezek a kombinációk} \\ \text{sem szerepelnek}$$

$$(\underline{\sigma}\mathbf{a})(\underline{\sigma}\mathbf{b}) = (\mathbf{a}\mathbf{b}) + i\underline{\sigma}(\mathbf{a} \times \mathbf{b})$$

$\underline{\sigma}_1, \underline{\sigma}_2$  mindkettő csak egyszer fordulhat elő.

Invariáns sorozatok szimmetrikus operációk esetén:

	1-től 1-ig	2 rész csere
1 (skalár)	+	+
$(rp)$	-	+
$(\underline{a}_1 \underline{a}_2)$	+	+
$(\underline{a}_1 + \underline{a}_2)(r \times p)$	+	+
$(\underline{a}_1 - \underline{a}_2)(r \times p)$	+	-
$(\underline{a}_1 p)(\underline{a}_2 p)$	+	+
$(\underline{a}_1 r)(\underline{a}_2 r)$	+	+
$(\underline{a}_1 r)(\underline{a}_2 p) + (\underline{a}_1 p)(\underline{a}_2 r)$	-	+
$(\underline{a}_1 r)(\underline{a}_2 p) - (\underline{a}_1 p)(\underline{a}_2 r)$	-	-
$(\underline{a}_1(r \times p))(\underline{a}_2(r \times p))$	+	+
$(\underline{a}_1 \underline{a}_2)(rp)$	-	+
$(\underline{a}_1 + \underline{a}_2)(r \times p)(rp)$	-	-
$(\underline{a}_1 - \underline{a}_2)(r \times p)(rp)$	-	+
$(\underline{a}_1 p)(\underline{a}_2 p)(rp)$	-	+
$(\underline{a}_1 r)(\underline{a}_2 p) + (\underline{a}_1 p)(\underline{a}_2 r)(rp)$	+	+
$(\underline{a}_1 r)(\underline{a}_2 p) - (\underline{a}_1 p)(\underline{a}_2 r)(rp)$	+	-
$(\underline{a}_1(r \times p))(\underline{a}_2(r \times p))(rp)$	-	+

Mivel csupa skalármennyiségéről van szó, a tértíkrészt nem kell külön vizsgálni. Ezek alapján a legáltalánosabb potenciál:

$$V = V_1 + V_2(\underline{a}_1 \underline{a}_2) + V_3(\underline{a}_1 r)(\underline{a}_2 r) + V_4(\underline{a}_1 + \underline{a}_2)(r \times p) + \\ + V_5(\underline{a}_1(r \times p))(\underline{a}_2(r \times p)) + V_6(\underline{a}_1 p)(\underline{a}_2 p) + V_7((\underline{a}_1 r)(\underline{a}_2 p) + (\underline{a}_1 p)(\underline{a}_2 r))(rp).$$

Itt minden  $V_i$ -re igaz, hogy:

$$V_i = U_i + W_i(\tau_1 \tau_2).$$

Ha felteessük, hogy a potenciál  $p$ -től csak az  $r \times p = L$  kombinációban függ, és bevezetjük a tenzort:

$$\hat{S}_{12} = \frac{3(\underline{a}_1 r)(\underline{a}_2 r)}{r^2} - (\underline{a}_1 \underline{a}_2),$$

valamint a  $\underline{a}_1 + \underline{a}_2 = 2\underline{S}$  vektort, akkor

$$\hat{V} = V_c + V_S(\underline{a}_1 \underline{a}_2) + V_T \hat{S}_{12} + V_{LS}(LS) + V_Q(LS)^2$$

adódik. Ez a legáltalánosabb potenciál, amit a szimmetriaelvek megengednek, és ez jön ki a kísérletekből is. A potenciál hatása szingulet és triplet állapotokra:

$$\hat{V} \Psi_{\chi S} = (V_c - 3V_S) \Psi_{\chi S}. \\ \hat{V} \Psi_{\chi T} = \\ = (V_c + 3V_S + \frac{1}{2}(J(J+1) - L(L+1) - 2)V_{LS} + \frac{1}{4}(J(J+1) - L(L+1) - 2)^2 V_Q) \Psi_{\chi T} + \\ + V_T \hat{S}_{12} \Psi_{\chi T}.$$

## 2.8 Egy bozon kicserélő potenciálok

A kölcsönhatásokat levezethetjük egy effektív térelméletből is. Egy tetszőleges  $\mathcal{L}$  Lagrange függvény esetén, ha az valamilyen téroperátortól és annak a deriváltjától függ, a Lagrange egyenlet:

$$\frac{\partial}{\partial \sigma_\mu} \left( \frac{\partial \mathcal{L}}{\partial (\partial_\mu \Psi_\alpha)} \right) - \frac{\partial \mathcal{L}}{\partial \Psi_\alpha} = 0.$$

A  $\Psi_\alpha$ -hoz tartozó térfüggvény ( $\Pi_\alpha$ )

$$\Pi_\alpha = \frac{\partial \mathcal{L}}{\partial \dot{\Psi}_\alpha} = -i \frac{\partial \mathcal{L}}{\partial (\partial_\mu \Psi_\alpha)}$$

A teljes Hamilton operátor

$$H = \int (\Pi_\alpha \dot{\Psi}_\alpha - \mathcal{L}) d^3x.$$

Tekintsük skalár mezőnek és nukleonok Lagrange függvényét.

$$\mathcal{L} = -\frac{1}{2} \left( (\partial_\mu \Phi)^2 + m^2 \Phi^2 \right) - \bar{\Psi} (\gamma_\mu \partial^\mu + m) \Psi + g_s \bar{\Psi} \Phi \Psi.$$

Az első két tag a szabad mezőnek illetve nukleonok Lagrange függvénye, az utolsó tag a nukleonok és a mezőnek kölcsönhatását írja le. A Lagrange egyenletek a két téroperátorra

$$\begin{aligned} \partial_\mu^2 \Phi - m^2 \Phi &= g_s \bar{\Psi} \Psi, \\ (\gamma^\mu \partial_\mu + M - g_s \Phi) \Psi &= 0. \end{aligned}$$

Látható, hogy az utolsó tagban bevezethetünk egy effektív tömeget:

$$M' = M - g_s \Phi$$

A téregyenletek megoldása csak közelítőleg lehetséges. Az egyik megoldás mód az ún. átlagter közelítés, ilyenkor sorozatot az átlagértékével helyettesítjük, és

$$\begin{aligned} \bar{\Psi} \Psi &\rightarrow \langle \bar{\Psi} \Psi \rangle, \\ \bar{\Psi} \Phi \Psi &\rightarrow \langle \bar{\Psi} \Psi \rangle \Phi. \end{aligned}$$

Egy másik közelítő megoldás a Born közelítés. Vezessük be a szabad mezőre  $\Phi_Q$  operátorát:

$$\partial_\mu \Phi_Q = -Q^2 \Phi_Q \quad Q = (q, E)$$

A téregyenletekből  $\Phi_Q$  kielégíti a

$$\Phi_Q = P \frac{g_s \bar{\Psi} \Psi}{m^2 + Q^2}$$

egyenletet. Mivel a kölcsönható tag nem függ  $\partial_\mu \Phi$ ,  $\partial_\mu \Psi$ -től, a kölcsönható Hamilton operátor kölcsönható része:

$$H_k = -g_s \bar{\Psi} \Phi \Psi = -g_s^2 \bar{\Psi} \Psi \frac{P}{m^2 + Q^2} \bar{\Psi} \Psi.$$

Born közelítés azt jelenti, hogy

$$\langle \varphi | H_k | \Psi \rangle \rightarrow \langle \varphi | H_k | \varphi \rangle$$

A kölcsönható Hamilton operátor mátrixeleme ezek szerint

$$\langle i | H_k | j \rangle = -g_s^2 \sum_n \langle i | \bar{\Psi} \Psi | n \rangle \langle n | \frac{P}{m^2 + Q^2} | n \rangle \langle n | \bar{\Psi} \Psi | j \rangle,$$

ahol  $|n\rangle$  egy lehetséges közbenső állapot, a  $\Psi$ -k pedig négy-komponensű spinorok. Némli számolás után a mátrixelem meghatározható.

A különböző mezőkölcsönös potenciálok esetén a kölcsönhatás:

skalár	$\sigma$ (nincs)	T=0 I=0 P=+	$\mathcal{L}_k = -g_\sigma \bar{\Psi} \Phi_\sigma \Psi$ ,
FS	$\eta$	T=0 I=0 P=-	$g_\eta \bar{\Psi} \gamma_5 \varphi_\eta \Psi$ ,
Vektor	$\varphi, \omega$	T=0 I=1 P=-	$-g_\omega \bar{\Psi} \gamma_\mu \varphi_\mu \Psi$ ,
Pseudoskalár	$\pi$	T=1 I=1 P=-	$-g_\pi \bar{\Psi} \gamma_5 \tau_\mu \varphi_\mu \Psi$ ,
vektor	$\rho$	T=1 I=1 P=-	$-g_\rho \bar{\Psi} \gamma_\mu \tau_\mu \varphi_\rho \Psi$ ,
Vektor - kovektor			$+c g_\rho \rho_2 (j_1 + j_2)_\mu \bar{\varphi}_\rho \Psi \Psi$ .

Nemrelativisztikus közelítésben a két nukleon potenciálok:

$$V_s = -g_s^2 Y_s \left(1 - \frac{m_\sigma^2}{4m^2}\right) - g_s^2 Y_{LS}(\mathbf{LS}) + g_s^2 + \hat{Y}_p,$$

$$V_p = \frac{1}{2} g_p^2 Y_\sigma(\underline{\sigma}_1 \underline{\sigma}_2)(\tau_1 \tau_2) + g_p^2 Y_\tau S_{12}(\tau_1 \tau_2),$$

$$V_0 = g_\sigma^2 Y_s \left(1 + \frac{m_\sigma^2}{2M^2}\right) - 3g_\sigma^2 Y_{LS}(\mathbf{LS}) - g_\sigma^2 Y_T S_{12} + g_\sigma^2 Y_\sigma(\underline{\sigma}_1 \underline{\sigma}_2) + g_\sigma^2 \hat{Y}_p,$$

$$Y_s = \frac{e^{-mr}}{r} \quad Y_\sigma = \frac{m^2}{6M^2} Y_s \quad \hat{Y}_p = \frac{1}{2M^2} (Y p^2 + p^2 Y),$$

$$Y_T = \frac{m^2}{12M^2} \left(1 + \frac{3}{mr} + \frac{3}{m^2 r^2}\right) \quad Y_{LS} = \frac{1}{2M^2} \left(\frac{m}{r} + \frac{1}{r^2}\right).$$

Összefoglalva a következőket mondhatjuk az egyes mező kölcsönhatásokról

Skalár :	wonó centrális tag wonó spin-pálya tag taszító sebességfüggő tag
Pseudoskalár:	spinfüggő tag tenzorenb
Vektor:	taszító centrális tag spin-pálya tag tenzorenb spinfüggő tag taszító sebességfüggő tag
Tenzor:	n minden tag szerepel benne

Legfontosabb potenciálok:

- Wonó mező (2 pion kicserélés,  $\sigma$ )
- Taszító mező ( $\omega$ )

## 3. Fejezet

# Alapállapotú atommagok

### 3.1 Magmodellek

#### 3.1.1 Modellalkotás a magfizikában, maganyag fogalma

As atommagok több b szás szabadsági foktól függenek, Iyen hullámfüggvények Schrödinger egyenletét nem tudjuk megoldani. Valami módon néhány szabadsági foktól függő egyenletek megoldására kell a problémát visszavezetni.

As alapegyenlet a Schrödinger egyenlet, as az időtől független esetben  $H\Phi = E\Phi$ . A Hamilton operátor, feltételezve hogy a magonk kéttest, enék,

$$H = \sum_i t_i + \frac{1}{2} \sum_i \sum_{j \neq i} v_{ij}, \quad t_i = -\frac{\hbar^2}{2m} \Delta_i$$

alakban írható, ahol  $v_{ij}$  a két nukleon közötti kölcsönhatás operátora,  $t_i$  pedig a kinetikus energié. A  $v$  operátor függhet a spin operátortól, az impulzustól, stb. A Schrödinger egyenlet közelítő megoldására a módszer a perturbációszámítás. Képzünk egy  $H_0$  perturbálatlan operátorból, és annak  $\Phi$  sajátfüggvényéből. A teljes Hamilton operátor

$$H = H_0 + H_1, \quad H_0\Phi = E\Phi,$$

alakban írható.  $\Phi$  egy tetszőleges hullámfüggvény, amiről azt tételezzük fel, jó közelítésben leírja az atommagot.  $H_0$  az ennek megfelelő Hamilton operátor.

A modellalkotásnál az alapkérdés az, mi az a néhány szabadsági fok, ami jellemző az atommagra. Egyik lehetőség az, hogy a magot az alakjával jellemezzük, és a hullámfüggvény az alakparaméterektől függ. Ezt a modellt nevezzük kollektív típusú modellnek, mert a mag egészét leíró kollektív mozgást jellemező paraméterektől függ. Ha a mag sugara

$$R = R_0 \left[ 1 + \sum_{\lambda \geq 2} \sum_{\mu = -\lambda}^{\lambda} \alpha_{\lambda\mu} Y_{\lambda\mu} \right],$$

akkor a hullámfüggvény az  $\alpha_{\lambda\mu}$  paraméterek függvénye.

A modellek másik legegyszerűbb típusa az, amikor a hullámfüggvényt egyrészesre hullámfüggvények antiszimmetrizált szorzataként írjuk fel. Ilyenkor a Hamilton operátorban  $H_0$ -t egyrészesre operátorok összegének választjuk

$$H_0 = \sum_i (t_i + V_i).$$

A teljes hullámfüggvény

$$\Psi = \mathcal{A} \prod_{i=1}^A \psi_i,$$

ahol a  $\psi_i$ -k az egyrészecske Schrödinger egyenletek megoldásai. Ezeket a modelleket nevezzük független részecske modelleknek, és az egyes modellek abban különböznek egymástól, hogyan választjuk meg az egyrészecske  $V$  potenciált. Teljesen világos, hogy a kétféle modell típus teljesen különböző magról alkotott elképzelésnek felel meg. A kollektív modellek az az alapfeltevés, hogy az atommag alkotórészei a magon belül elvesztik individuáltságukat, beolvadnak a mag egészébe. Ilyen rendszer a folyadék, a folyadékban nem beszélhetünk egyedi nukleonokról, csak a folyadék egészéről. Ezért az első ilyen modellt cseppmodellnek nevezték el. A független részecske modell alapfeltevése az, hogy a nukleonok egymástól közel függetlenül mozognak egy átlagos potenciálpályában, miközben megőrzik individuáltságukat és kvantumszámukat.

### 3.1.2 Maganyag

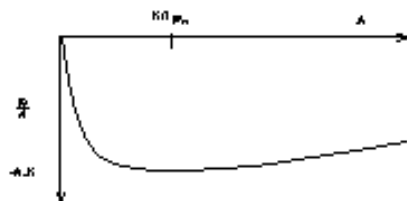
A modellalkotásnál segítséget nyújt egy fiktív rendszer, a maganyag fogalma. Ha a protonok között nem hatna elektronos taszítás, a magnak a legkedvezőbb állapota egy végtelen nagy, azonos neutron és protonszámú álló rendszer lenne. Ezt a fiktív rendszert nevezzük maganyagnak. Az erős kölcsönhatás szempontjából célszerű a maganyagot bevezetni, mert a magerők hatását ebben a rendszerben lehet legjobban vizsgálni.

### 3.1.3 Magmodell típusok

- 1.) Cseppmodell
  - 1.a) Kollektív modell (visszatérés a cseppmodellhez)
- 2.) Független részecske modellek
  - 2.a) Ezek egy típusa: megengedünk kúlsó deformációnak.
  - 2.b) Selfkonsztens független rész modellek (Hartree Fock)
- 3.) Egyesített magmodell

## 3.2 Telítettség és cseppmodell

A cseppmodell az atommag kísérleti tulajdonságai közül jól tudja magyarázni a kötési energiát, és a telítettséget. Ha megnézzük az egy nukleonra eső kötési energiát a tömegszám függvényében



azt látjuk, hogy átlagosan az egy nukleonra eső kötési energia azonos, kb. 8 MeV. Az egy részecskére eső kötési energiát az ún. félempírkus energia formulával lehet jól leírni.

$$B = -c_1 A + c_2 A^{2/3} + c_3 \left( \frac{N-Z}{A} \right)^2 A - c_4 \left( \frac{N-Z}{A} \right)^2 A^{2/3} + c_5 \frac{Z^2}{A^{1/3}} + c_6 \frac{\delta}{A^{3/4}},$$

ahol

$$\delta = \begin{cases} -1 & \text{pa} & \text{pa} & \text{magis} \\ 0 & \text{pa} & & \text{magis} \\ +1 & \text{pa} & \text{pa} & \text{magis} \end{cases}$$

Az egylíthatók értékei :

$$\begin{aligned} c_1 &\sim 15 - 16 \text{ MeV}, & c_3 &\sim 32 \text{ MeV}, & c_5 &= 0.71 \text{ MeV}, \\ c_2 &\sim 18 - 20 \text{ MeV}, & c_4 &\sim 15 \text{ MeV}, & c_6 &= 16 \text{ MeV}. \end{aligned}$$

Mivel az atommagok közel gömbalakúak, és a mag sugara illetve átlagsűrűsége első közelítésben

$$R = r_0 A^{\frac{1}{3}}, \quad r_0 \sim 1.2 \text{ fm}, \quad \rho_0 = \frac{A}{\frac{4}{3}\pi R^3} \sim 0.16 \text{ fm}^{-3}$$

a félempirikus kötési energia formula első tagja a térfogattal arányos vonzó kifejezés, a második tag a felülettel arányosan csökkentett az a vonzást. A harmadik és negyedik tag az ún. térfogati és felületi szimmetria tag, az ötödik tag a Coulomb energia és végül az utolsó tag a párenergia.

A cseppmodell alapján az első két tag világos, a második tag adja meg a felületi energiát, amelyik a folyadékoknál található felületi feszültségnek felel meg. A szimmetria energiák oka a Pauli elv. A legalacsonyabb energia állapotban a Pauli elv szerint csak egy részecske helyezkedhet el, de ha a neutronok és a protonok különböző részek, két részecske van a legmélyebb állapotban. A szimmetria tagok az  $N=Z$  esetet favorizálják.

A párenergia felléptét kísérleti megfigyelések indokolják. A periódusos rendszerben kb. 250 olyan atommag van, amiben a neutron és protonszám páros, kb. 130-130 olyan, amiben csak egyik páros és végül összesen csak 4 olyan atommag van, amelyekben mindkét részecskeszám páratlan. Valahogy így néz ki, hogy a páros neutron ill. protonszámú magok erősebben vannak kötve. Ennek a tagoknak a felléptét a mag szerkezeti vizsgálatoknál meg kell érteni.

A félempirikus kötési formulában jól látható a telítettség jelensége. A Coulomb energia a protonszám négyzetével arányos, míg a vonzó nukleáris energia csak a részecskeszámmal.

A maganyag energiáját megkapjuk, ha elhagyjuk a Coulomb energiát. Ilyenkor  $N=Z$ , és a rendszer végtelen lesz, azaz csak az első tag marad meg. Az energia  $\sim 16 \text{ MeV}$  részecskénként, azaz egyaktal tömegsámmal független. Ezt a jelenséget nevezik energia telítettségnek.

Az energia telítettség egyúttal a sűrűség telítettséget is jelent. Ez a folyadékoknál ismert jelenség: a tenger víze és egy pohár víz első közelítésben egyformán sűrű. A folyadékcsepp modell alapján tehát érthető a telítettség. A független részecske modellek alapján azonban látszólag nem lehet megérteni, hogy a két nukleon kötésekből származó energia miért nem a tömegsámmal négyzetével arányos. Ez a körülmény okozta a cseppmodell kezdeti sikerét, és ezeket a sikereket csak megfordította a hasadásról 1939-ben Bohr által adott magyarázat.

### 3.3 Független részecske modellek

A cseppmodellre a döntő csapást a mágius számok léte mérte. Vannak olyan neutron illetve protonszámú magok, amelyek különlegesen stabilak, az utolsó nukleonok erősen kötődtek bennük, sok stabil izotóp van adott neutron ill. protonszám mellett, és a kötési energiák kiemelkedően magasak. Ezek a számok: 2, 8, 20, 28, 50, 82, 126.

Hasonló jelenséget ismerünk az atomfizikából: ilyen különleges tulajdonságokkal rendelkezik a nemesszámok. Az elektronok az atommag Coulomb terében első közelítésben egymástól mintegy függetlenül mozognak. Minden egyes elektront adott kvantumszámok, jellemzik. Az energiák degeneráltak: különböző kvantumszámokhoz tartozó állapotoknak azonos energiája van. Ha egy adott energiaszintre tartozó valamennyi elektronállapot be van töltve, különlegesen stabil atom keletkezik, amelyik nehezen vesz részt kémiai kötésben, nehezen vesz fel vagy ad le elektront.

Az atomban azonban érthető ezeknek az állapotoknak a jelenléte: a mag elektron kölcsönhatás mellett az elektronok közötti kölcsönhatás, amíg nem túl sok elektron van, elhanyagolható.

A magon belül nincs egy centrális erő, ami a különleges nukleonszámok felléptét elbűvölhetné. A magon kívül erősek, nem érthető, hogy ezek mi mellett hanyagolhatók el első közelítésben.

A mágius számok léte azonban mégis azt bizonyította, hogy a magokon belül a független részecske modell kép a jó közelítés. A továbbiakban minden használandó modell ezen alapszik, és ezekkel kell az atommagok megfigyelt tulajdonságait megmagyarázni.

#### 3.3.1 Fermi gáz modell

A független részecske modellben, mint láttuk, a hullámfüggvény egyrészecske hullámfüggvények antiszimmetriált sorozata. A legegyszerűbb közelítés az, amikor perturbálatlan hullámfüggvényeknek



a kinetikus energia operátor sajátfüggvényei, azaz síkhullámokat tekintünk. Ezt a modellt nevezzük Fermi gáz modellnek.

$$H\Psi = E\Psi, \quad H_0\Phi = E_0\Phi, \quad H_0 = \sum \epsilon_i, \quad \Phi = \mathcal{A} \prod_{i=1}^A \psi_i$$

A teljes energia

$$E = \frac{(\Phi, H\Psi)}{(\Phi, \Psi)} = E_0 + \frac{(\Phi, H_1\Psi)}{(\Phi, \Psi)},$$

ami Born közelítésében

$$E_N = E_0 + \frac{(\Phi, H_1\Phi)}{(\Phi, \Phi)} = (\Phi, H_1\Phi).$$

Ha a perturbálatlan hullámfüggvényt behelyettesítjük a Schrödinger egyenletbe, és balról skalárisan szorozzuk az A-1 részecske hullámfüggvényével, kihagyva belőle az 1-ik állapotot.

$$-\frac{\hbar^2}{2m} \Delta_i \psi_i = \epsilon_i \psi_i$$

egyenlet adódik. Ennek megoldása síkhullámfüggvény.

Figyelembe véve, hogy a részecskéket spin és izospin érték is jellemzi, az egyrészecske állapotot jellemző hullámfüggvény

$$\psi_i = \varphi_i(\mathbf{r}) \chi_i \tau_i, \quad \varphi_i = \frac{1}{\sqrt{\Omega}} e^{i\mathbf{k}_i \cdot \mathbf{r}}.$$

A kinetikus energia most éppen a perturbálatlan energiával egyezik meg:

$$E_0 = T = \frac{1}{\Omega} \sum \frac{\hbar^2}{2m} k_i^2 = \sum_i (\psi_i, \epsilon \psi_i)$$

Az energia kiszámításához térjünk át összevont helyett integrálásra. A statisztikus fizika értelmében a lehetséges állapotok száma:

$$N = \sum_{i=1}^N 1 = \int \int_0^{p_N} dn(p)$$

$$dn = g \frac{d\Omega \cdot 4\pi p^2 dp}{(2\pi\hbar)^3}$$

ahol  $p_N$  a maximális  $p$  érték, ameddig az állapotok be vannak töltve. Ezt Fermi szintnek szokás nevezni.  $g$  az egy energia állapotban található részek száma (spin izospin faktor). Az állapotok számát a fázistér fogat osztva az elemi Planck féle cella méretével. Bevezetve a  $p = \hbar k$  jelölést:

$$N = \frac{\Omega k_N^3}{6\pi^2} g, \quad k_N = \left( \frac{6\pi^2}{g} \right)^{\frac{1}{3}} \rho^{\frac{1}{3}}$$

Az integrálást elvégezve megkapjuk a részecskeszám és a Fermi impulzus között összefüggést. Két spin és két nukleon típus esetén  $g = 4$ , két spin esetén  $\geq 2$ , így

$$k_n = \left( \frac{3\pi^2}{2} \right)^{\frac{1}{3}} \rho_n^{\frac{1}{3}}, \quad \rho = \rho_n + \rho_p, \quad k_p = \left( \frac{3\pi^2}{2} \right)^{\frac{1}{3}} \rho_p^{\frac{1}{3}}$$

A kinetikus energia:

$$T = \sum \frac{\hbar^2}{2m} k^2 = \Omega \frac{\hbar^2}{2m} \frac{3}{5} \left( \frac{3\pi^2}{2} \right)^{\frac{2}{3}} \rho^{\frac{5}{3}} = \frac{3\hbar^2}{10m} A \left( 1 + \frac{5}{9} \pi^2 \right) \left( \frac{3\pi^2}{2} \right)^{\frac{2}{3}} \rho^{\frac{5}{3}},$$

$$\pi = \frac{N - Z}{A}.$$

A potenciális energia meghatározása egy kicsit nehezebb feladat, mert itt antiszimmetrizált kétrészecske hullámfüggvényeket kell figyelembe venni. Könnyű ugyanakkor belátni, hogy az egy részecske hullámfüggvények

ortogonalitása miatt csak ezek adnak járulékot. A kétrészecske hullámfüggvényt eset. lehet választani térbeli, spin és isospin hullámfüggvények szorzatára (három részecske esetén ez már nem igaz).

$$\Psi_{ij} = \varphi_{ij} \chi_{ij} \tau_{ij}.$$

A teljes hullámfüggvény antiszimmetrikus kell hogy legyen. Figyelembe véve, hogy a triplet spin III. isospin hullámfüggvények szimmetrikusak, a szinguletek antiszimmetrikusak

Isospin	Spin	Valószínűség	Térbeli rész
T=1	S=1	9/16	antiszim.
T=1	S=0	3/16	szim.
T=0	S=1	3/16	szim.
T=0	S=0	1/16	antiszim.

azaz a térbeli rész 3/8 valószínűséggel szimmetrikus, 5/8 -al antiszimmetrikus.

A szimmetrikus III. antiszimmetrikus térbeli kétrészecske hullámfüggvény síkhullámok esetén

$$\varphi_{ij}(r_1, r_2) = \varphi_{ij}(r_{12}) = \frac{1}{\sqrt{2}}(\varphi_i(r_1)\varphi_j(r_2) \pm \varphi_i(r_2)\varphi_j(r_1)) = \frac{1}{\sqrt{2}\Omega} e^{i\mathbf{K}\mathbf{R}} (e^{i\mathbf{k}\mathbf{r}} \pm e^{-i\mathbf{k}\mathbf{r}})$$

ahol

$$\mathbf{R} = \frac{\mathbf{r}_1 + \mathbf{r}_2}{2}, \quad \mathbf{r} = \mathbf{r}_1 - \mathbf{r}_2, \\ \mathbf{K} = \mathbf{k}_1 + \mathbf{k}_2, \quad \mathbf{k} = \frac{\mathbf{k}_1 - \mathbf{k}_2}{2}.$$

A potenciális energia mátrixeleme

$$V_{ij} = \langle \varphi_{ij}(\mathbf{k}\mathbf{r}) | v(\mathbf{r}) | \varphi_{ij}(\mathbf{k}\mathbf{r}) \rangle,$$

ami szimmetrikus és antiszimmetrikus részre bontva, R-re és a szög szerinti integrálva

$$V_{ij} = \frac{3}{8\Omega} \int d^3r v(\mathbf{r})(1 + \cos 2\mathbf{k}\mathbf{r}) + \frac{5}{8\Omega} \int v(\mathbf{r})(1 - \cos 2\mathbf{k}\mathbf{r}) d^3r = \frac{4\pi}{\Omega} \int v(\mathbf{r}) r^2 dr \left[ 1 - \frac{1}{4} \frac{\sin 2kr}{2kr} \right].$$

Helyettesítsük  $v(\mathbf{r})$  helyébe Yukawa potenciált, és integráljunk r-re

$$V_{ij} = -\frac{4\pi\eta_0}{\Omega} \left[ \frac{1}{\mu^2} - \frac{1}{4} \frac{1}{4k^2 + \mu^2} \right].$$

Látható, hogy a kisebbik tag sebességfüggő.

Az itt szereplő mátrixelem két részecske hullámfüggvénye között van kiszámolva. Ha a teljes hullámfüggvényrel számolunk

$$E_{p^*k} = \langle \Phi | V | \Phi \rangle = \frac{1}{2} \sum_{i,j} \langle \varphi_{ij} | V | \varphi_{ij} \rangle = \frac{1}{2} \sum_{i,j} \langle \varphi_{ij} | V | \varphi_{ij} \rangle$$

azaz éppen a  $V_{ij}$  kifejtés impulzusra való kettős bontásának lesz. A kettős bontásnak csak k-től függő kifejtés esetén átalakíthatjuk k szerinti bontásává.

$$\sum_i \sum_j = \left[ \frac{4 \cdot 4\pi\Omega}{(2\pi)^3} \right]^2 \int_0^{k_F} k_i^2 dk_i \int_0^{k_F} k_j^2 dk_j = \frac{16\Omega^2}{3\pi^4} \int_0^{k_F} k^2 dk [2k^3 - 3k^2 k + k^3].$$

$\frac{k_F}{2k_F} \ll 1$  esetén sorbafejtve és integrálva a potenciális energia

$$E_{p^*k} = -\frac{2\pi\eta_0}{\mu^2} A \rho \left( 1 - \frac{9}{16} \frac{\mu^2}{k_F^2} \right) = -A\beta\rho + A\gamma\rho^{\frac{3}{2}}.$$

Az egy részecskére jutó teljes energia maganyagra

$$W = \frac{E}{A} = \alpha\rho^{\frac{3}{2}} - \beta\rho + \gamma\rho^{\frac{3}{2}}.$$

Ez a kifejtés nem telített a sűrűségben, legmélyebb energia állapota

$$\rho = \infty.$$

Látható, hogy nem a magerők rövid hatótávolsága okozza a telítettséget: itt rövid hatótávolságú erőkkel számoltunk, és az energia mégsem telített.

Hogyan lehet telítettséget elérni?

Legegyszerűbb eset, ha  $v = -v_0 + v_1 k^2$  sebességfüggő magerőt használunk, mint már az előzőekben is. Ekkor a  $v_1$ -es tag előjele ellenkező, mint  $v_0$ -é, és  $\rho^{\frac{3}{2}}$ -nál magasabb  $\rho$  függvény szerepel benne, azaz

$$W = \frac{E}{A} = \alpha \rho^{\frac{3}{2}} - \beta \rho + \gamma \rho^{\frac{1}{2}} + \delta \rho^{\frac{5}{2}},$$

ami már telített  $\rho$ -ban.

### 3.3.2 Harmonikus oszcillátor modell

A Fermi gáz modell nyilvánvalóan végtelen maganyagra igaz, hiszen a szkullámtokból képzett sűrűség

$$\rho = \text{const}$$

azaz mindenütt egyformán valószínű. Véges magokra olyan egyrészecske potenciált kell választanunk, amelyiknél a kapott sűrűség a mag sűrűségével közel megegyezik. Első közelítésben tekintsük egy harmonikus oszcillátor potenciált.

$$V(r) = -V_0 + \frac{1}{2} m \omega^2 r^2 = V_0 \left( \frac{r^2}{R_0^2} - 1 \right).$$

Az egy-részecske Schrödinger egyenletek ilyenkor

$$-\frac{\hbar^2}{2m} \Delta \varphi_n(r) + V_0 \left( \frac{r^2}{R_0^2} - 1 \right) \varphi_n(r) = E_n \varphi_n(r).$$

Kvantummechanikából ismert, hogy ezeket a parciális differenciálegyenleteket szétválasztással megoldhatjuk. Ha a hullámfüggvényt

$$\varphi_n(r) = \varphi_{n_1}(x) \varphi_{n_2}(y) \varphi_{n_3}(z)$$

alakban keressük, megkapjuk az egydimenziós harmonikus oszcillátor egyenleteket.

$$\frac{d^2 \varphi_{n_i}}{dx_i^2} + \frac{2m}{\hbar^2} \left( e_{n_i} - \frac{1}{2} m \omega^2 x_i^2 \right) \varphi_{n_i} = 0.$$

Ezeknek a megoldással a Hermite polinomok, és az energia értékek

$$e_{n_i} = \hbar \omega \left( n_i + \frac{1}{2} \right).$$

A teljes energia a három részenergia és a konstans potenciális energia összege

$$E_n = -V_0 + e_{n_1} + e_{n_2} + e_{n_3} = -V_0 + \hbar \omega \left( n + \frac{3}{2} \right),$$

ahol  $n = n_1 + n_2 + n_3$ .

Látható, hogy egy adott  $E$  energához több állapot tartozik, azaz az állapotok degeneráltak. A degeneráltság foka

$$N = 2 \sum_{k=0}^n (n+1-k) = 2 \sum_{k=0}^n (k+1) = (n+1)(n+2),$$

ahol a 2 szorzó a kétféle spinállapot miatt lép fel.

Nézzük meg, milyen magikus számokat ad a harmonikus oszcillátor modell

n	0	1	2	3	4	5	6
N	2	6	12	20	30	42	56
L	0	1	0 2	1 3	0 2 4	1 3 5	0 2 4 6
N	2	6	2 10	6 14	2 10 18	6 14 22	2 10 18 26
$\sum N$	2	8	20	40	70	112	168

Írjuk fel a harmonikus oszcillátor egyenletet polárkoordinátákban, kvantumszámok  $n, l, m$ . Adott  $n$  esetén  $l$  0 és  $n$  között változhat, de paritás megmaradása miatt vagy páros, vagy páratlan. 2 spin miatt adott  $l$ -hez  $2(2l+1)$  állapot tartozik. Harmonikus oszcillátor potenciál nem írhatja jól le a magot, ugyanis  $V \rightarrow \infty$  ha  $r \rightarrow \infty$ , a valódi  $V$  ezzel szemben 0-hoz tart. A hasonló potenciál alakjára információt nyerhetünk a sűrűség-eloszlásból. Végtelen maganyagban

$$\rho(r) \sim k_r^3(r)$$

Legegyszerűbb esetben

$$E_F = T_F + V = \frac{\hbar^2}{2m} k_r^2(r) + V$$

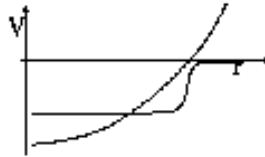
Tehát a potenciál alakja

$$V \sim E_F - c\rho^{\frac{2}{3}}$$

Ennek a módosított változatát hívják Saxon-Woods potenciálnak.

$$V \sim \frac{V_0}{1 + e^{-\frac{r-R}{a}}}$$

A Saxon Woods és harmonikus oszcillátor potenciál összehasonlításából látható, hogy az első a szélén mélyebb, a közepeken kevésbé mély. Hogy változtatja ez mágikus számokat?



Az ábrából látható, hogy mélyíti a nagy  $l$ -ű állapotok energiáját.

1949-ben Mayer-Jensen : spin-pálya csatolás van egyrészesreke potenciálban. (Relativisztikus tárgyalásban nemrelativisztikus közelítést véve ez magától kijön)

$$V = -V_c + 2V_{LS}LS = -V_c + V_{LS}(J^2 - L^2 - S^2),$$

$$-\frac{\hbar^2}{2m} \Delta \varphi_n - V \varphi_n + V_{LS}(J^2 - L^2 - S^2) \varphi_n = E_n \varphi_n.$$

$$E_{nlj} = E_{nl} - V_{LS} \left( j(j+1) - l(l+1) - \frac{3}{4} \right).$$

$$j_{>} = l + \frac{1}{2}$$

$$j_{<} = l - \frac{1}{2}$$

$$2(2l+1) = (2j_{>}+1) + (2j_{<}+1).$$

Ezek után a mágikus számok:

n	l	j	N	$\sum N$	
0	0	1/2	2	2	
		3/2	4		
1	1	1/2	2	8	
		5/2	6		
2	2	3/2	4	20	
		0	1/2		2
		3	7/2		8
3	3	5/2	6	50	
		1	3/2		4
		1/2	2		2
		4	9/2		10
4	4	7/2	8	82	
		2	5/2		6
		3/2	4		4
		0	1/2		2
		5	11/2		12
5	5	9/2	10	126	
		3	7/2		8
		5/2	6		6
6	6	1	3/2	4	
		1/2	2	2	
6	6	13/2	14		

### 3.3.3 Hartree Fock közelítés

Kérdés, milyen a legjobb egyrészecske potenciál. Eddig sűrűség analógia alapján választottuk. A válasz variációs számításokkal kapható meg. Egy tetszőleges hullámfüggvényt sorbafejtve a H saját-függvények szerint.

$$\Phi = \sum c_k \psi_k,$$

ahol

$$H \psi_k = E_k \psi_k.$$

Az  $E_k$  energiák közül  $E_0$  a legmélyebb, így

$$\langle \Phi | H | \Phi \rangle = \sum c_k c_{k'} E_k \langle \psi_k | \psi_{k'} \rangle = \sum |c_k|^2 E_k \geq E_0,$$

azaz tetszőleges hullámfüggvénnyel képezve H sajátértékét, az mindig nagyobb a valódi energinál. Feltételes variációs számításal ortogonális függvényeket használva

$$W = \langle \Phi | H | \Phi \rangle = \sum_i \langle \varphi_i | \tau | \varphi_i \rangle + \frac{1}{2} \sum_{i,j} \langle \varphi_i \varphi_j | \theta | \varphi_i \varphi_j \rangle,$$

$$\delta(W - \sum e_i \langle \varphi_i | \varphi_i \rangle) = 0.$$

ahol  $\sum_{i,j} \langle \varphi_i \varphi_j | \theta | \varphi_i \varphi_j \rangle$  antiszimmetrikus mátrixelemet jelent.

Innen megkapjuk a hullámfüggvényekre vonatkozó egy-részecske egyenletrendszert:

$$-\frac{\hbar^2}{2m} \Delta \varphi_i(\mathbf{r}_1) + \sum \langle \varphi_j(\mathbf{r}_2) | \theta | \varphi_j(\mathbf{r}_2) \varphi_i(\mathbf{r}_1) \rangle - \sum_j \langle \varphi_j(\mathbf{r}_2) | \theta | \varphi_i(\mathbf{r}_2) \varphi_j(\mathbf{r}_1) \rangle = e_i \varphi_i(\mathbf{r}).$$

Bevetve a

$$\int \rho(r_2) n(r) d^3 r_2 \varphi_i(r_1) - \sum_j \int \varphi_j(r_2) n(r) \varphi_i(r_2) d^3 r_2 \varphi_j(r_1) = \int V(r, r') \varphi_i(r') d^3 r'$$

jelölést,

$$-\frac{\hbar^2}{2m} \Delta \varphi_i(r) + \int V(r, r') \varphi_i(r') d^3 r' = e_i \varphi_i(r)$$

less az egyenlet.

A megoldandó egyenletekben célszerű a nem lokális potenciálok helyett ekvivalens lokális potenciált használni.

$$U_i(r) = \frac{1}{\varphi_i(r)} \int V(r, r') \varphi_i(r') d^3 r', \quad -\frac{\hbar^2}{2m} \Delta \varphi_i(r) + U(r) \varphi_i(r) = e_i \varphi_i(r).$$

A megoldás önkonzisztens módszerrel kapható meg:

$$W = \sum (\varphi_i | t | \varphi_i) + \frac{1}{2} \sum (\varphi_i \varphi_j | t | \varphi_i \varphi_j) \neq \sum e_i$$

A teljes energia nem az egyrészesce energiák összege, míg a héjmodellben az volt.

### 3.3.4 Független részecske modellek

*A független részecske modell lényege: a nukleonok egymástól kölcsönösen függetlenül mozognak egy átlagos, inhomogén nukleon által kialakított potenciálműgységben.*

Ilyen potenciálműgységet csak Hartree-Fock közelítésben kapunk. A többi független részecske modell egy kívül, a mag nukleonjától független potenciálműgységet használ. A teljes hullámfüggvény első közelítésben egyrészesce hullámfüggvények antiszimmetrikus sorozata.

Foglaljuk össze a független részecske modelleket:

$$H = H_0 + H_1 = \sum \tau_i + \frac{1}{2} \sum \pi_{ij}$$

$$H_0 \Phi = E_0 \Phi, \quad H \Phi = E \Phi, \quad \Phi = \mathcal{A} \prod_{i=1}^A \varphi_i.$$

$$E = E_0 + \frac{(\Phi, H_1 \Phi)}{(\Phi, \Phi)}.$$

Born közelítés :  $E = E_0 + (\Phi, H_1 \Phi) = (\Phi, H \Phi).$

A független rész modellek abban különböznek, hogyan választjuk  $H_0$ -t:

1. Végtelen rendszer: Fermi gáz modell

$$H_0 = \sum \tau_i \quad -\frac{\hbar^2}{2m} \Delta \varphi_i = e_i \varphi_i$$

$$\varphi_i = \frac{1}{\sqrt{\Omega}} e^{i\mathbf{k} \cdot \mathbf{r}} \chi_i \tau_i$$

2. Harmonikus potenciál, héjmodell, stb.

$$H_0 = \sum (\tau_i + V_i), \quad H_1 = \frac{1}{2} \sum \pi_{ij} - \sum V_i,$$

$$-\frac{\hbar^2}{2m} \Delta \varphi_i + V_i \varphi_i = e_i \varphi_i, \quad \text{lokálizált}$$

$$V_i = V_{\text{m}}, \quad V_i = V_{\text{Szalon-Woods}}, \quad V_i = V_{\text{SW}} + V_{\text{LS}},$$

$$E = E(n), \quad E = E(n, l), \quad E = E(n, j).$$

3. A potenciál önkonzisztensen van meghatározva : Hartree-Fock számolás

$$\begin{aligned} V_{ij}\varphi_i &= \sum_j (\varphi_j | \hat{v}_{12} | \varphi_j \varphi_i) = \int V(\mathbf{r}, \mathbf{r}') \rho_i(\mathbf{r}') d^3\mathbf{r}' \\ -\frac{\hbar^2}{2m} \nabla^2 \varphi_i(\mathbf{r}) + U(\mathbf{r}) \varphi_i(\mathbf{r}) &= \epsilon_i \varphi_i(\mathbf{r}), \\ U_i(\mathbf{r}) &= \frac{1}{\varphi_i(\mathbf{r})} \int V(\mathbf{r}, \mathbf{r}') \rho_i(\mathbf{r}') d^3\mathbf{r}'. \end{aligned}$$

### 3.3.5 Héjmodell alkalmazása

A fentiek alapján a magot két részre választjuk a héjmodellben egy zárt, inert törvész, és a törvészön kívül levő nukleonokra. Az extrém héjmodellnél egy fokkal jobb közelítést kapunk, ha a külső nukleonok között kölcsönhatást figyelembe vesszük:  $\Sigma = \Sigma_{\text{Zárt}} + \Sigma_{\text{Maradék}}$  (ez utóbbit  $\Sigma'$ -vel jelöljük a következőkben)

$$\begin{aligned} E &= \sum (\varphi_i | \hat{t} | \varphi_i) + \frac{1}{2} \sum_i \sum_j (\varphi_i \varphi_j | \hat{v} | \varphi_i \varphi_j) = \\ &= \sum_{\mathbb{Z}} (\varphi_i | \hat{t} | \varphi_i) + \frac{1}{2} \sum_{\mathbb{Z}} \sum_{\mathbb{Z}} (\varphi_i \varphi_j | \hat{v} | \varphi_i \varphi_j) + \\ &+ \sum' (\varphi_i | \hat{t} | \varphi_i) + \sum_{i \in \mathbb{Z}} \sum' (\varphi_i \varphi_j | \hat{v} | \varphi_i \varphi_j) + \frac{1}{2} \sum_i \sum_j' (\varphi_i \varphi_j | \hat{v} | \varphi_i \varphi_j) = \\ &= E_0 + \sum (\varphi_i | \hat{t} + V_{nff} | \varphi_i) + E_m, \end{aligned}$$

ahol

$$\begin{aligned} \sum' (\varphi_i | V_{nff} | \varphi_i) &= \sum_i \sum_{j \in \mathbb{Z}} (\varphi_i \varphi_j | \hat{v} | \varphi_i \varphi_j), \\ E_m &= \frac{1}{2} \sum_i \sum_j' (\varphi_i \varphi_j | \hat{v} | \varphi_i \varphi_j). \end{aligned}$$

Legyen a külső törvészön kívül két nukleon. A Hamilton operátor

$$\begin{aligned} H_0 &= H_{\text{törvész}} + H_{01} + H_{02}, \\ H_{0\alpha} &= -\frac{\hbar^2}{2m} \Delta_{\alpha} + V_{nff}(\mathbf{r}_1). \end{aligned}$$

Ennek a sajátfüggvénye

$$\Phi_{\alpha_1 \alpha_2}(\sigma_1, \sigma_2) = \varphi_{\alpha_1}(\sigma_1) \varphi_{\alpha_2}(\sigma_2)$$

ahol  $\varphi_{\alpha_i}$   $j_x^2, j_y^2, j_z^2, j_x$  sajátfüggvénye.

Beszélnénk tehát j-j ill L-S csatolásról, aszerint, hogy az impulzusmomentumokat, hogy adjuk össze. A héjmodell csatolás zárt, héjak közelében j-j csatolást indokol, de a zárt héjaktól messze ez már nem biztos. Nézzük most a maradék kölcsönhatást. E sajátfüggvényei  $\Phi_{\alpha}$ -k, ezekből képezzük teljes hullámfüggvényt.

$$\psi = \sum_{\alpha} c_{\alpha} \Phi_{\alpha}.$$

A Hamilton operátort diagonálisnál kell.

$$\begin{aligned} \sum_{\alpha} c_{\alpha} |H_0 + v_{12} | \Phi_{\alpha} \rangle &= E_{\alpha} \sum_{\alpha} c_{\alpha} | \Phi_{\alpha} \rangle, \quad / \sum_{\alpha} \langle \alpha' | \\ \sum_{\alpha} \left[ \delta_{\alpha\alpha'} (E_{\alpha} - E_{\alpha'}) + \langle \alpha' | v_{12} | \alpha \rangle \right] c_{\alpha} &= 0. \end{aligned}$$

### 3.3.6 Az egyrészecske energia fogalma

A független részecske modellben mindig definiálhatunk egyrészecske energiát.

$$\begin{aligned} \Phi &= \mathcal{A} \prod \varphi_i, & H_0 &= \sum (\hat{\epsilon}_i + \hat{V}_i) = \sum \hat{\epsilon}_i, \\ \hat{h}_i \varphi_i &= \epsilon_i \varphi_i, & \epsilon_i &= \langle \varphi_i | \hat{h}_i | \varphi_i \rangle = \epsilon_i + V_i, \\ \hat{\epsilon}_i &= \langle \varphi_i | \hat{\epsilon}_i | \varphi_i \rangle, & V_i &= \langle \varphi_i | \hat{V}_i | \varphi_i \rangle. \end{aligned}$$

Héjmodellnél az energia:  $E_0 = \sum (\epsilon_i + V_i) = \sum \epsilon_i$ .

Különböző potenciál van, az eredmény erősen különbözik.

Hartree-Fock számolás

$$\epsilon_i = \epsilon_i + \langle \varphi_i | \hat{U}_i | \varphi_i \rangle = \epsilon_i + U_i,$$

$$\begin{aligned} E &= \sum \epsilon_i + \frac{1}{2} \sum \langle \varphi_i \varphi_j | \hat{U}_{ij} | \varphi_i \varphi_j \rangle = \\ &= \sum \epsilon_i + \frac{1}{2} \sum U_i = \frac{1}{2} \sum \epsilon_i + \frac{1}{2} \sum \epsilon_i. \end{aligned}$$

$U_i$  most lényegesen állapotfüggő, nem várt héjak esetén például deformált lesz.

Önkonzisztens potenciál esetén, amikor a nukleonok együttesen alakítják ki azt a potenciálviselkedést, amiben mozognak, az energia nem az egyrészecske energiák összege. Ez a fizikai valóság.

### 3.3.7 Független részecske modell alkalmazhatóságának oka

A modell akkor alkalmazható, ha a részecskék megtartják kvantumszámukat.

Képzeljünk el egy rendszert, ahol a nukleonok kezdetben mind adott kvantumszámokkal rendelkeznek. Két nukleon ütközése után azonban ezek a kvantumszámok megváltoznak. Mivel a kölcsönhatás erős, az ütközés következik, azaz a kvantumszámok teljesen összekeverednek, és végül nincs már értelme beszélni róluk. Miért nem így van ez?

Az ok elsősorban a Pauli elv. A Pauli elv értelmében két nukleon kölcsönhatása során nem kerülhet olyan állapotba, amiben már van egy részecske. Tehát az ütközés során csak akkor változik meg a kvantumszám, ha a  $k$  érték a Fermi szint fölé kerül.

A határoztatlansági reláció értelmében  $\Delta r$  elég fennállhat  $\Delta E \sim \frac{\hbar}{\Delta r}$  energiabizonytalanság, azaz két részecske bizonyos valószínűséggel a Fermi szint fölé kerülhet. Nézzük meg ennek a feltételét.

Tekintsünk két nukleont kezdeti sűrűség állapotban,  $k_1$ ,  $k_2$  hullámzámmal. Hasonlóan két nukleon  $V$  mély derékszerű potenciállal. A relatív Schrödinger egyenlet.

$$\begin{aligned} \frac{d^2 u}{dr^2} + K^2 u &= 0 & r < \tilde{b}, \\ \frac{d^2 u}{dr^2} + k^2 u &= 0 & r > \tilde{b}. \end{aligned}$$

A szórási során egy részecske  $k$  hullámzáma legfeljebb  $K$  értékkel változhat, ahol

$$K = \sqrt{\frac{2m}{\hbar^2} (V_0 + E)} \sim \sqrt{\frac{2m}{\hbar^2} V_0}.$$

A Fermi szint fölé kerülés feltétele az, hogy  $K > k_F = \left(\frac{3\pi^2}{2} \rho\right)^{\frac{1}{3}}$ ,

$$V_0 > \frac{\hbar^2}{2m} \left(\frac{3\pi^2}{2} \rho\right)^{\frac{2}{3}}.$$

Maganyagban  $k_F = 1.36 \text{ fm}^{-1}$ , tehát a független részecske modell alkalmazhatóságának a feltétele

$$V_0 < 10 \text{ MeV}.$$

A Pauli elv mellett tehát a rendkívül nagy maganyag sűrűség a modell alkalmazhatóságának az oka. Hiába erősök a potenciálok, annyira nem, hogy egy átlagos ütközésnél a Fermi szint fölé kerüljenek a nukleonok.



### 3.4 Magmomentumok független részecske modell alapján

#### 3.4.1 Spin

Zárt héjú magban minden állapot be van töltve, a mag gömbesimmetrikus, a teljes impulzusmomentum sémis. A mag spinje alatt a teljes impulzusmomentumát értjük.

$$\mathbf{J} = \mathbf{L} + \mathbf{S} = \sum \mathbf{I}_k,$$

Tapasztalati tény, hogy minden páros páros mag impulzusmomentuma sémis. Ez csak úgy lehet, ha két nukleon impulzusmomentuma azonnal összeadódik ellentétesen. Az állapot betöltődése mindig a legmagasabb  $m$  értékkel kezdődik.

$$\mathbf{I}_1 + \mathbf{I}_2 = 0, \quad (j_1)_x = j(j_2)_x = -j(j_2)_x = j - 1, \quad (j_2)_x = -j + 1 \dots$$

Párosan mag impulzusmomentuma az utolsó nukleon impulzusmomentuma, ebből tudjuk meghatározni, hogy töltődnek be a nivók egymás után. A felhasadás sorrendje a már ismertetett. Elmélet és tapasztalat teljes egyezése.

#### 3.4.2 Elektromágneses kvadrupólmomentum

A mag viselkedését  $\rho$  töltéssűrűséggel és  $\mathbf{j}$  áramsűrűséggel jellemezhetjük. Elektromágneses térben ha a tér skalár ill vektorpotenciálja  $\Phi$  és  $\mathbf{A}$ , a potenciális energia:

$$U(\mathbf{R}) = \int \rho(\mathbf{r})\Phi(\mathbf{R} + \mathbf{r})d^3r + \frac{1}{c} \int \mathbf{j}(\mathbf{r})\mathbf{A}(\mathbf{r} + \mathbf{R})d^3r.$$

Mivel a mag mérete kicsi a mag és a megfigyelőpont távolságához képest,  $r$  sorozat sorbafejthetők. A potenciál:

$$U = q\Phi(\mathbf{R}) - \hat{\mathbf{M}}\mathbf{H}(\mathbf{R}) - \frac{1}{6} \sum \hat{Q}_{ij} \frac{\partial E_j}{\partial x_i},$$

$$Q_{ij} = \int \rho(\mathbf{r})(3\sigma_i\sigma_j - \delta_{ij}r^2)d^3r,$$

ahol  $q$  a töltés,  $\hat{\mathbf{M}}$  a mag mágneses momentuma és  $\hat{Q}_{ij}$  a mag elektronos kvadrupólmomentum operátora. Főtengelyre transformálva

$$\hat{Q}_{ij} = \hat{Q}_i\delta_{ij}.$$

Kvadrupólmomentum alatt  $\hat{Q}_x$ -nek a sajátértékét értjük, azaz

$$Q = \langle \Psi | \hat{Q}_x | \Psi \rangle = \int \rho(\mathbf{r})(3x^2 - r^2)d^3r$$

Ha egyetlen nukleon van a sémis tövű gömbesimmetrikus magon kívül, a kvadrupólmomentum ezen nukleon kvadrupólmomentuma lesz.

$$Q = \langle \varphi_{njj}(\mathbf{r}) | 3x^2 - r^2 | \varphi_{njj}(\mathbf{r}) \rangle.$$

Gömbfüggvények sorozási szabályai alapján  $j_x = m - re$

$$Q(m) = \sum 2 \ell m \frac{1}{2} m \langle j m | j m \rangle^2 (r^2) = \frac{j(j+1) - 3m^2}{2j(j+1)} (r^2).$$

Ha  $m = j$

$$Q(\text{sémis}) = \sum_{m=-j}^j Q(m) = 0,$$

$$Q(1) = -Q(2j) = \frac{2j-1}{2(j-1)} (r^2).$$

Abszolút értékben a kvadrupólmomentum nő mindaddig, amíg  $j(j+1) < 3a^2$ , azaz  $m \sim \frac{j}{\sqrt{3a}}$ .

Az elméleti számítások nagyon jól megadják a kísérleti értékek előjelét, de abszolút értékben teljesen rosszak, a tapasztalat szerint a magok sokkal deformáltabbak, mint ahogy a héjmodell mondja.

### 3.4.3 Magok mágneses momentuma

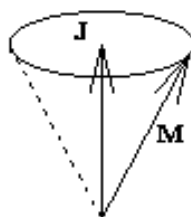
A mágneses momentum operátora:

$$\hat{M} = \mu_m \sum_{k=1}^A (g_k^i \mathbf{l}_k + g_k^s \mathbf{s}_k),$$

$$g_k^i = \begin{cases} 1 & \text{proton} \\ 0 & \text{neutron} \end{cases} \quad g_k^s = \begin{cases} 2.793 & \mu_m \\ -1.913 & \mu_m \end{cases}$$

ahol a  $g$ -k az ún. gromágneses faktorok, és  $\mu_m = \frac{e\hbar}{2m_p c}$

A magok teljes impulzusmomentuma jó kvantumszám,  $M$  a teljes impulzusmomentum operátor iránya körüli precesszió:



A mag mágneses momentuma alatt  $\hat{M}$   $\hat{J}$ -re vetített értékét értjük, azaz

$$\mu = \frac{1}{\mu_m} \langle \Psi_{JJ}, \hat{M}_z \Psi_{JJ} \rangle = \frac{1}{\mu_m} \frac{\langle \hat{J}_z \rangle \langle \hat{J} \hat{M} \rangle}{\langle \hat{J}^2 \rangle} = \frac{1}{\mu_m} \frac{1}{J+1} \langle \hat{J} \hat{M} \rangle.$$

Páros-páros magoknál az impulzusmomentum zérus, így a mágneses momentum is zérus kell hogy legyen. Páratlan magokra ha az utolsó nukleon neutron

$$\hat{M}_n = \mu_m g^n a, \quad \mu_n = \frac{g_n}{j+1} (a(a+1)) = \frac{g_n}{2(j+1)} \left[ j(j+1) - l(l+1) + \frac{3}{4} \right],$$

míg ha proton

$$\hat{M}_p = \mu_m (1 + g_p a), \quad \mu_p = \frac{1}{j+1} ((1 + g_p a)(l+1)),$$

$$\mu_p = \frac{1}{2(j+1)} \left[ j(j+1) - l(l+1) - \frac{3}{4} + g_p (j(j+1) - l(l+1) + \frac{3}{4}) \right].$$

A kísérleti adatok ettől kicsit eltérnek, de nem nagyon.

$$\begin{array}{ll} j = l + \frac{1}{2} & \text{Régítárol} \quad \mu_n = \frac{1}{2} g_n \quad \mu_p = j + \frac{1}{2} g_p \\ j = l - \frac{1}{2} & \text{Régítárol} \quad \mu_n = -\frac{1}{2} g_n \frac{j}{j-1} \quad \mu_p = \left( j - \frac{1}{2} + \frac{g}{2} - \frac{1}{2} g_p \right) \frac{j}{j-1} \end{array}$$



A mágneses momentumok mérése azért fontos, mert számos gyakorlati alkalmazása van (mag mágneses rezonancia, Mössbauer effektus), és a mérés révén sok mindent megtudunk az anyagról.

### 3.5 Egyesített magmodell

#### 3.5.1 Atommagok energiája deformált potenciálvölgyben

Nagy kvadrupólmomentum nagyobb deformáltságot jelent. Felül kell vizsgálni független részecske modellt.

Kérdés, nukleonok energiája gömbsszimmetrikus vagy deformált potenciálvölgyben mélyebb-e?

Eddig természetesenket vittük választ. Meg kell nézni!

Tekintsük a nukleonok energiáját deformált potenciálvölgyben

$$V = -V_0 + \frac{1}{2}m(\omega_x^2 x^2 + \omega_y^2 y^2 + \omega_z^2 z^2),$$

ahol

$$\omega_x \omega_y \omega_z = \omega^3, \quad \omega_x = \omega_y = \omega e^{\frac{\alpha}{2}}, \quad \omega_z = \omega e^{-\alpha}$$

Az egy részecske energiák

$$E_n = -V_0 + \hbar\omega_x \left(n_x + \frac{1}{2}\right) + \hbar\omega_y \left(n_y + \frac{1}{2}\right) + \hbar\omega_z \left(n_z + \frac{1}{2}\right),$$

míg a mag teljes energiája:

$$E = \sum E_i = V_0 A + \hbar\omega_0 \sum_i \left[ e^{\frac{\alpha}{2}} (n_x + n_y + 1)_i + e^{-\alpha} \left(n_x + \frac{1}{2}\right)_i \right]$$

Keressük a minimumális energiát  $\alpha$  függvényében

$$\begin{aligned} \frac{\partial E}{\partial \alpha} &= \frac{\hbar\omega_0}{2} \sum_i \left[ e^{\frac{\alpha}{2}} (n_x + n_y + 1)_i + e^{-\alpha} \left(n_x + \frac{1}{2}\right)_i \right] = 0, \\ \Rightarrow e^{\frac{3}{2}\alpha} &= \frac{\sum_i (2n_x + 1)_i}{\sum_i (n_x + n_y + 1)_i} \end{aligned}$$

Ha az egyes nukleonállapotok így vannak betöltve, hogy

$$2 \sum (n_x + \frac{1}{2})_i = \sum (n_x + n_y + 1)_i \Rightarrow \alpha = 0.$$

Zárt héjti mag soha nem deformált.

Vezessük be a következő jelölést:

$$\sigma_\alpha = \sum_i \left(n_x + \frac{1}{2}\right)_i$$

A mag kvadrupólmomentuma

$$Q = \sum_i \left[ 3(x_i^2) - (r_i^2) \right] = \sum_i (2x_i^2 - y_i^2 - z_i^2) =$$

$$= \sum \left( \frac{2E_x}{\omega_x^2} - \frac{E_x}{\omega_x^2} - \frac{E_y}{\omega_y^2} \right) \frac{1}{im} = \frac{\hbar^2}{2im} \left[ \frac{2\sigma_x}{\omega_x} - \frac{\sigma_x}{\omega_x} - \frac{\sigma_y}{\omega_y} \right].$$

Itt felhasználtuk, hogy  $E = \varepsilon_z + \frac{1}{2}m\omega_z\sigma_z^2$ ,  $\varepsilon_z$  nem deformált,  $\varepsilon_z = \varepsilon_y = \varepsilon_x$ , így a teljes energia különbségek éppen a potenciális energia különbségek. Zárt héjra

$$\sigma_x = \sigma_y = \sigma_z = \frac{1}{3}\sigma_0.$$

Kifejezve az  $\omega$ -kat a  $\sigma$ -al, a teljes kvadrupólmomentum:

$$\omega_x = \omega_0 \sigma^{\frac{2}{3}} = \omega_0 \left( \frac{2\sigma_x}{\sigma_x + \sigma_y} \right)^{\frac{2}{3}}, \quad \omega_x = \omega_0 \left( \frac{2\sigma_x}{\sigma_x + \sigma_y} \right)^{-\frac{2}{3}},$$

$$Q = \frac{\hbar}{2m\omega_0} \left[ (2\sigma_x)^{\frac{2}{3}} (\sigma_x + \sigma_y)^{-\frac{2}{3}} - (\sigma_x + \sigma_y)^{-\frac{2}{3}} (2\sigma_x)^{-\frac{2}{3}} \right].$$

Legyen a zárt héjra kívül egy nukleon,  $N_x$ ,  $N_y$ ,  $N_z$  kvantumszámokkal. Ekkor a  $\sigma$ -k

$$\sigma_x = \frac{\sigma_0}{3} + N_x + \frac{1}{2} = \frac{\sigma_0}{3} \left[ 1 + \frac{3}{\sigma_0} \left( N_x + \frac{1}{2} \right) \right],$$

és a teljes kvadrupólmomentum

$$Q = \frac{\hbar}{m\omega_0} (2N_x - N_x - N_y) = \frac{Z}{A} Q_p,$$

ahol  $Q_p$  az utolsó rész kvadrupólmomentuma. Ez azt jelenti, hogy már egyetlen külső nukleon esetén is megnö a kvadrupólmomentum.

$$Q = Q_p + \frac{Z}{A} Q_p.$$

Zárt törvestől távol sok nukleon van a magon kívül, ezáltal a törvés erősen deformálódik. A tényleges Hartree Fock számolás ezt jól megadja, de a számolás bonyolult, az állapotok nem degeneráltak, aranynál tényleg 197 hullámfüggvényt kell szelfkonszisztensen megoldani.

### 3.5.2 Kollektív modell

Azt akarjuk, hogy olyan legyen a perturbálatlan hullámfüggvény, hogy a mag alakjára

$$R = R_0 \left[ 1 + \sum \alpha_{\lambda\mu} Y_{\lambda\mu} \right]$$

sugarat adjon. Ebből a célból a Hamilton operátort négy részre osztjuk

$$H = H_{\text{rot}}(\alpha_{\lambda\mu}) + H_{\text{vib}}(\sigma_z) + H_{\text{rot}}(\sigma_z, \alpha_{\lambda\mu}) + H'$$

ahol  $H_{\text{rot}}$  csak a kollektív,  $H_{\text{vib}}$  csak az  $\sigma_z$  egy részecske koordinátáitól függ,  $H_{\text{rot}}$  írja le a kollektív és egy részecske koordináták közti csatolást, és  $H'$  a maradék kölcsönhatás.

$$H_{\text{rot}}^{\text{el}}(\alpha_{\lambda\mu}) = E_{\text{rot}}^{\text{el}}(\alpha_{\lambda\mu})$$

A kollektív Hamilton operátor

$$H_{\text{rot}} = \frac{1}{2} \sum_{\lambda\mu} C_\lambda |\alpha_{\lambda\mu}|^2 + \frac{1}{2} \sum_{\lambda\mu} B_\lambda |\alpha_{\lambda\mu}|^2$$

ahol  $C_\lambda$  és  $B_\lambda$  a forgó és vibráló folyadéksepp mozgását írja le. Főténgelyre deformálva a forgásállapoldot.

$$\alpha_{20} = \beta \cos \gamma, \quad \alpha_{22} = \frac{1}{\sqrt{2}} \beta \sin \gamma, \quad \alpha_{1m} = 0$$

$$V = \frac{c}{2} \beta^2, \quad T = \frac{1}{2} B (\dot{\beta}^2 + \beta^2 \dot{\gamma}^2) + \frac{1}{2} \sum_{k=1}^3 \omega_k^2 \Theta_k \gamma,$$

$$\Theta_{k\gamma} = 4B\beta^2 \sin^2 \left( \gamma - \frac{2\pi}{3} k \right),$$

ahol  $\Theta_{k\gamma}$  az effektív tehetetlenségli nyomaték.

T-ben az első tag a kinetikus energia a főtengely koordináta-rendszerben, a második tag a főtengelynek a fix tengely körüli forgása miatt fellépő energia:

$$H = T_{\beta\gamma} + \hbar \sum_k \frac{L_k^2}{2\Theta_k} + \frac{1}{2} C\beta^2.$$

Operátorokra átvérve a kollektív Hamilton operátor Schrödinger egyenlete megoldható.

A gerjesztett állapotok a forgás és a rezgés. Ezek energiája:

$$E_{rot} = \frac{\hbar^2}{2\Theta} J(J+1),$$

illetve

$$E_{vib} = E_0 + \sum_m \hbar\omega \left( n_m + \frac{1}{2} \right).$$

A gerjesztett magok energállapotainak tanulmányozásánál látal fogják, hogy a rotációs energállapotok jóval mélyebben vannak, mint a vibrációs energálak.

### 3.5.3 Egyesített magmodell

A perturbálatlan Hamilton operátort aszerint választjuk meg, milyen a mag betöltöttsége.

#### 1. Gyenge csatolás

$$H_0 = H_{rotax} + H_{rotll} \Rightarrow \Psi = \mathcal{Q}(\alpha_{\lambda\mu}) \mathcal{A} \prod_i \varphi_i(\sigma_i)$$

$$H_{rotax} = \sum_i (\hat{\pi}_i + V_i(\xi))$$

$$E = E_{rotll} + E_{rotax} + E_{perturb}$$

#### 2. Erős csatolás

$$H_0 = H_{rotll} + H_{rotax} + H_{csnt} = \sum_i (\hat{\pi}_i + V_i(\alpha_{\lambda\mu}, \xi))$$

$$H_{rotax} + H_{csnt} = \sum_i \hat{\pi}_i + \frac{1}{2} \sum V(\alpha_{\lambda\mu}, \xi)$$

$$\Psi = \mathcal{Q}(\alpha_{\lambda\mu}) \mathcal{A} \prod_i \varphi_i(\sigma_i, \alpha_{\lambda\mu})$$

Ezekkel a perturbálatlan Hamilton operátorokkal oldjuk meg a hullámfüggvényekre vonatkozó egyenleteket.

## 4. Fejezet

# A soktestfizika elemei

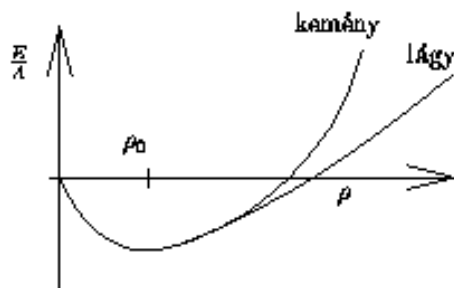
### 4.1 Állapotegyenlet és effektív tömeg

#### Állapotegyenlet

Alapállapotú maganyag állapotegyenlete az energia és a sűrűség összefüggését adja meg. A maganyag egy részecskére jutó energiája, mint láttuk,  $-16 \text{ MeV}$ . A magok centrális sűrűsége, amit a tömegeloszlás mérésekből ismerünk,  $0.16 - 0.17 \text{ fm}^{-3}$ , ennél az értéknél minimalis a mag energiája. Ez azt jelenti, hogy akármiyen is a maganyag állapotegyenlete, ezt a két adatot ki kell elégítenie, azaz

$$\begin{aligned} \frac{E}{A}(\rho_0) &= -16 \text{ MeV}, \\ \left(\frac{dE}{d\rho}\right)_{\rho=\rho_0} &= 0, \quad \hat{\rho} = \frac{\rho}{\rho_0}, \\ \kappa &= 9\rho_0^2 \left(\frac{d^2E}{d\rho^2}\right)_{\rho=\rho_0}, \quad \rho_0 : \text{maganyag sűrűsége.} \end{aligned}$$

A harmadik adat a maganyag összenyomhatóságára vonatkozik, ezzel kapcsolatban jobban eltérnek a vélemények. Eredetleg fizikai megfontolások azt mondták, hogy a kompresszibilitás értéke  $100$ , újabban azonban asztrofizikai alapon (szupernova robbanás illetve a pulsárok felgyorsítása) vannak olyan nézetek, hogy a kompresszibilitás ennél jóval kisebb értékű, mintegy  $150-220$ . A kompresszibilitás értéke szerint beszélhetünk kemény ill. lágy állapotegyenletről.



Az egy részecskére jutó kinetikus energia

$$\frac{E_{\text{kin}}}{A} = \alpha \hat{\rho}^{\frac{2}{3}}, \quad \alpha = 23 \text{ MeV}.$$

A potenciális energiának van egy  $\rho$ -val arányos vonzó része, és egy telítettséget okozó,  $\rho$  magasabb hatványával arányos taszító része. Legegyszerűbb esetben az alapállapotú állapotegyenletet a következő módon írhatjuk fel

$$\frac{E}{A} = \alpha \beta^{\frac{2}{3}} - \beta \beta + \gamma \beta^{\sigma-1}, \quad \frac{2}{3} \alpha \beta^{\frac{2}{3}} - \beta + (\sigma+1) \gamma \beta^{\sigma} = 0.$$

Az egy részecskére jutó kötési energia és a telítettség feltétele

$$\begin{aligned} \alpha - \beta + \gamma &= -16, & \frac{2}{3} \alpha - \beta + (\sigma+1) \gamma &= 0, \\ \beta &= -39 - \gamma, & \sigma \gamma &= 23.5. \end{aligned}$$

$$\sigma = \begin{cases} 1 & \beta = 62.5 & \gamma = 23.5 & \text{kemény állapotegyenlet,} \\ \frac{1}{8} & \beta = 180 & \gamma = 141 & \text{lágy állapotegyenlet.} \end{cases}$$

A kompresszibilitás értéke kemény és lágy esetre

$$\kappa = \begin{cases} 380 \\ 201 \end{cases}.$$

### Effektív tömeg

Az energia egyenlemből visszakövetkeztethetünk a maganyagban fellépő effektív potenciálra:

$$E_{k\pi} - E_{kin} = \frac{1}{2} \sum_i \sum_j (k_i | \theta_{ij} | k_j).$$

Tekintsük most azt az egyszerű esetet, amikor az effektív potenciál  $v = v_1 - v_2 k^2$ . Az energia ezzel, mint láttuk

$$\begin{aligned} \frac{E}{A} = W &= \frac{1}{A} \left[ \sum_i \epsilon_i + \frac{1}{2} \sum_{ij} v_{ij} \right] = \\ &= \frac{3\hbar^2}{10m} \rho^{\frac{2}{3}} - \frac{1}{2} v_1 \rho + \frac{3}{5} v_2 \rho k_F^2. \\ \Rightarrow \frac{\hbar^2}{5m} \rho^{-\frac{1}{3}} - \frac{1}{2} v_1 + v_2 k_F^2 &= 0 \quad \text{telítettség} \end{aligned}$$

Az egyrészecske energia

$$\begin{aligned} V_i &= \sum_j V_{ij} = -\frac{A}{\Omega} v_1 + \frac{A}{\Omega} v_2 (k_i^2 + \frac{3}{5} k_F^2), \\ E_i &= \frac{\hbar^2 k_i^2}{2m} - v_1 \rho + v_2 \rho k_i^2 + \frac{3}{5} v_2 \rho k_F^2 = -V_0(\rho) + \frac{\hbar^2}{2m}, \\ \frac{1}{2m} &= \frac{1}{2m} + \frac{3}{5} \frac{v_2 \rho}{\hbar^2}, \quad V_0(\rho) = v_1 \rho - \frac{3}{5} v_2 \rho k_F^2 = v_0(\rho) \rho. \end{aligned}$$

azaz a nukleon úgy mozog a maganyagban, mintha a tömege kisebb lenne, mint a szabad nukleon tömege. Mivel az effektív tömeg sűrűségfüggő, véges magokban ez helyfüggő értékek felel meg, amit azt láttuk. A maganyag belsőjében  $m^* \sim 0.6m - 0.7m$ . A  $v_0(\rho)$  egyrész potenciál sűrűségfüggő. Nézzük meg a Fermi szinten levő (legkevésbé kötött) nukleon kötési energiáját a magban:

$$E_F = \frac{\hbar^2 k_F^2}{2m} - v_1 \rho + \frac{8}{5} v_2 \rho k_F^2.$$

Ha kivonjuk ezt az egy részecskére eső kötési energiából,

$$E_F - W = \frac{2}{5} \frac{\hbar^2 k_F^2}{2m} - \frac{1}{2} v_1 \rho + v_2 \rho k_F^2 = 0,$$

azaz éppen a telítettség feltételét kapjuk meg. A telítettség miatt az egy részecskére eső kötési energia megegyezik az utolsó nukleon kötési energiájával. Ez az összefüggés véges magokra is igaz közelítőleg, de ott  $E_F < W$ .

$$\begin{aligned} E_F &\sim -(10-14) & E_F &\sim -(4-9) \\ \text{könnyű magra} & & \text{nehéz magra} & \end{aligned}$$

Természetesen a héjszerkezet miatt korrekciók ehhez képest fluktuációkat okoznak.

## 4.2 Soktestfizikai közelítés az energiára

A Fermi gáz modellnél azt tételeztük fel, hogy az energia meghatározásánál Born közelítést alkalmazhatunk, de azt is láttuk, hogy tassító végtelen tassító térszél potenciáljánál ez nem lehet. Ha ugyanis  $V$  nagy, a Born közelítés rossz!

$$\psi_{12} = 0, \quad \text{ha } r = \infty, \quad \text{ha } r_{12} < c \quad (\varphi_{12}|r|\varphi_{12}) = \infty, \\ (\varphi_{12}|r|\psi_{12}) = ?$$

Kérdés, hogyan kell egy olyan effektív erőt meghatározni, amire igaz az, hogy

$$(\varphi_{12}|H_{eff}|\varphi_{12}) = (\varphi_{12}|H|\psi_{12})$$

minden mátrixelemre.

Az eljáráshoz a soktestfizika elemét kell megvizsgálni.

Célszerű először a kétfest. kölcsönhatásra felállított ún. Lippmann-Schwinger egyenletből kiindulni.

Tekintsünk egy egyszerű két nukleon problémát. Ha  $H = H_0 + H_1$ , és a perturbálatlan  $H_0$  sajátfüggvénye  $\Phi$ , akkor

$$H_0\Phi = E_0\Phi \quad (H_0 - E_0)\Psi = -H_1\Psi \quad \Psi = \Phi - \frac{1}{H_0 - E_0}H_1\Psi$$

Az integrálegyenletben el kell kerülni a nevező zérushelyét. (az, hogy ezt hogyan hajtuk végre, a megfelelő differenciálegyenletben a határfeltételnek felel meg). Erre két lehetőség van: vagy hozzáadunk a nevezőhöz egy infinitésimálisan kis imaginárius mennyiséget (szórás), vagy  $\Phi$ -értéket vesszünk (kötött. állapot).

$$\Psi = \Phi - \frac{1}{H_0 - E_0 + i\epsilon}H_1\Psi \quad \text{szórás} \\ \Psi = \Phi - \frac{P}{H_0 - E_0}H_1\Psi \quad \text{kötött.}$$

A  $\hat{P}$  operátor most  $\Phi$ -értéket jelent, ami azt jelenti, hogy a nevező soha nem lehet zérus. Behelyettesítve egy teljes rendszert.

$$\psi_{ij} = \varphi_{ij} - \sum_{n \neq 0} \frac{\hat{P}}{H_0 - E_0} \varphi_{12}^n (\varphi_{12}^n | H_1 | \psi_{ij})$$

azaz az alapállapot függvényét kihagyjuk az összegzéséből. Ha maganyagban vagyunk, és a betett teljes függvényrendszer színhullámok antiszimmetriájából sorozata, az alapállapot kihagyása azt jelenti, hogy a kétfestéses hullámfüggvény nem lehet semmilyen, alapállapotban betöltött állapot. Ilyenkor  $\hat{P}$  helyett  $\hat{Q}$  operátort használunk az integrálegyenletben, ami a Fermi szét. állé vetít.

$$\psi_{ij} = \varphi_{ij} - \frac{\hat{Q}}{H_0 - E_0} H_1 \psi_{ij},$$

ahol  $\hat{Q}$  segít a Pauli elvet figyelembe venni.

A teljes energia

$$E = \sum (\varphi_{ij} | H_0 | \varphi_{ij}) + \frac{1}{2} \sum_i \sum_j (\varphi_{ij} | H_1 | \varphi_{ij} - \frac{\hat{Q}}{H_0 - E_0} H_1 \psi_{ij}).$$

A  $\Psi_{ij}$  két részecske hullámfüggvényét sorbafejtve

$$\Psi_{ij} = \varphi_{ij} - \frac{\hat{Q}}{H_0 - E_0} H_1 \varphi_{ij} + \frac{\hat{Q}}{H_0 - E_0} H_1 \frac{\hat{Q}}{H_0 - E_0} H_1 \varphi_{ij} + \dots$$

Alkalmazzuk erre az egyenletre a  $H_1$  kölcsönható Hamilton operátort, akkor

$$H_1 \Psi_{ij} = H_1 \varphi_{ij} - H_1 \frac{\hat{Q}}{H_0 - E_0} H_1 \psi_{ij}.$$

Bevezetve a  $\hat{G}$  és az  $\hat{\Omega}$  operátorokat, ahol  $\Psi_{ij} = \hat{\Omega} \varphi_{ij}$ ,  $\hat{G} = H_1 \hat{\Omega}$ ,

$$H_1 \hat{\Omega} \varphi_{ij} = H_1 \varphi_{ij} - H_1 \frac{\hat{Q}}{H_0 - E_0} H_1 \hat{\Omega} \varphi_{ij},$$



az egyenletünk átalakítható

$$G\varphi_{ij} = H_1\varphi_{ij} - H_1 \frac{Q}{H_0 - E_0} G\varphi_{ij},$$

és megkapjuk az ún. Bethe Goldstone (BG) egyenletet.

$$G = H_1 - H_1 \frac{Q}{e} G,$$

ahol  $e = H_0 - E_0$ , azaz egy operátor.

A két részecske mátrixelem ezek szerint

$$\langle \varphi_{ij} | G | \varphi_{kl} \rangle = \langle \varphi_{ij} | H_1 | \varphi_{kl} \rangle - \sum_{m,n > k,p} \langle \varphi_{ij} | H_1 | \varphi_{mn} \rangle \frac{Q \langle \varphi_{mn} |}{e \langle \varphi_{mn} | \varphi_{ij} \rangle} \langle \varphi_{mn} | G | \varphi_{kl} \rangle.$$

Ha a szórás olyan, hogy két részecske az  $1j$  betöltött állapotból az  $a, b$  üres állapotba kerül, az energia különbség, ha a perturbálatlan Hamilton operátor éppen a kinetikus energia volt,

$$e = E_a + E_b - E_i - E_j = \frac{k^2}{2} + \frac{k^2}{2} - E_i - E_j = k^2 + \gamma^2 + \underbrace{K_a^2 - K_j^2}_0.$$

(Itt bevezettük a  $k$  relatív és a  $K$  teljes impulzusmomentumokat)

A  $G$  mátrix bevezetésével az energia alakjában:

$$E = \sum T_i + \frac{1}{2} \sum_i \sum_j \langle \varphi_{ij} | G | \varphi_{ij} \rangle.$$

Az effektív potenciált megkapjuk, ha a  $G$  mátrixot valamilyen egyszerű függvényvel alkettől helyettesítünk. Ehhez meg kell oldani a BG egyenletet.

A BG egyenlet megoldására sok módszert dolgoztak ki, a legszemléletesebb az ún. szeparációs módszer. Vezessünk be két potenciált,  $v_A$ -t és  $v_B$ -t, ahol

$$G_A = v_A - v_A \frac{Q_A}{e_A} G_A, \quad G_B = v_B - v_B \frac{Q_B}{e_B} G_B.$$

Elemi átalakítással megmutatható, hogy

$$G_A = G_B^{-1} \Omega_B^{-1} (v_A - v_B) \Omega_A + G_B^{-1} \left( \frac{Q_B}{e_B} - \frac{Q_A}{e_A} \right) G_A.$$

Válasszuk ezért most a potenciált egy hosszú és egy rövid hatótávolságú részre.

$$v = v^r + v^b$$

és legyen  $v_A$  a teljes,  $v_B$  pedig a rövidhatótávolságú rész. Elhanyagolva az utolsó tagot az egyenletben, és figyelembe véve, hogy a hosszúhatótávolságú részben már használható a Born közelítés, azaz

$$G^b \sim v^b, \quad \Omega^b \sim 1,$$

a  $G$  mátrix

$$G \sim G^r + v^b,$$

A hosszúhatótávolságú tag járuléka a kisánulálásnál már Born közelítést alkalmazhatunk, tehát csak a rövidhatótávolságú rész járulékaival kell foglalkoznunk.

$$G^r = v^r - v^r \frac{Q}{e} G^r.$$

Mivel a potenciál ilyenkor nagy,  $v$ , a Fermi sztat. főlé szór, így  $Q$  első közelítésben elhanyagolható. Relatív és TK hely és impulzus koordinátákat bevezetve és a TK koordinátákra integrálva a két részecske hullámfüggvény:

$$\Psi_{ij} = \varphi_{ij} - \frac{1}{(2\pi)^3} \iint \frac{d^3k}{k^2 + \gamma^2} e^{i\mathbf{k}(\mathbf{r}-\mathbf{r}')} n(\mathbf{r}') \psi_{ij}(\mathbf{r}') d^3r'.$$

A  $k$  szerinti integrálásban elvégezve a szögfüggő részt,

$$K(r, r') = \frac{2\pi}{i} \int k dk \frac{[e^{-ik|r-\mathbf{r}'|} - e^{ik|\mathbf{r}-\mathbf{r}'|}]}{(k^2 + \gamma^2)|r - r'|}$$

kapunk. Cauchy tétele értelmében a felső illetve az alsó komplex félsíakra kiterjesztve az integrált, azok a residuumokkal esznek egyenlőek, így

$$K(r, r') = -\frac{2\pi^2 e^{-\gamma|r-\mathbf{r}'|}}{|r - r'|}, \quad \psi_{ij} = \varphi_{ij} + \frac{1}{4\pi} \int \frac{e^{-\gamma|\mathbf{r}-\mathbf{r}'|}}{|r - r'|} n(\mathbf{r}') \psi_{ij}(\mathbf{r}') d^3r'$$

adódik.

Gömbszimmetrikus potenciál és csak  $r$ -től függő (a állapot) hullámfüggvények esetén a másodfok tagban a szög szerinti integrál elvégezhető, és a fenti egyenlet

$$\psi_{ij}^0(r) = \varphi_{ij}^0(r) - \frac{1}{2} \frac{1}{\gamma^2} \int_0^\infty [e^{-\gamma|r-r'|} - e^{-\gamma(r-r')}] n(r') \psi_{ij}^0(r') r'^2 dr'$$

alakban írható. Kétszer deriválva a fenti összefüggést,  $\psi$ -re egy differenciálegyenletet kapunk

$$\frac{d^2}{dr^2} [r(\psi_{ij}^0 - \varphi_{ij}^0)] - \gamma^2 r(\psi_{ij}^0 - \varphi_{ij}^0) = n(r) r \psi_{ij}^0.$$

Tekintsünk most egy egyszerű végtelen tasztó potenciált. Ekkor a megoldandó differenciálegyenletek

$$\begin{aligned} n(r) &= \infty & \text{ha } r < c, & & \psi_{ij} &= 0 \\ n(r) r \psi_{ij}^0 &= (k^2 + \gamma^2) r \varphi_{ij}^0 \\ r > c & & n(r) &= 0 & r(\psi_{ij}^0 - \varphi_{ij}^0) &= A e^{-\gamma r} \end{aligned}$$

és innen a potenciális energia

$$\begin{aligned} n_{ij}^0 &= \int \varphi_{ij}^0 n(r) \psi_{ij}^0 d^3r d^3R = \frac{4\pi}{\Omega} \int_0^c r^2 dr (k^2 + \gamma^2) = \frac{1}{\Omega} V_c (k^2 + \gamma^2) \\ V_c &= \frac{4\pi}{3} c^3 \end{aligned}$$

ahol

$$V = \frac{1}{2} \sum_i \sum_j V_{ij} = \frac{1}{2} A \rho V_c \left( \frac{3}{5} \frac{k_p^2}{\rho^2} + \gamma^2 \right) - \beta \rho = -\beta' \rho + \delta \rho^{\frac{5}{2}},$$

ahogy a tasztó töve tényleg telítettséget okoz.

### 4.3 Effektív erők származtatása

Jobb konvergenciát kaphatunk, ha  $H_0$ -t, és  $H_1$ -et másképp választjuk, vagyis ha csökkentjük  $H_1$  hatását.

$$\begin{aligned} H_0 &= \sum_i (T_i + U_i) \\ H_1 &= \frac{1}{2} \sum_{ij} n_{ij} - \sum U_i \end{aligned}$$

Kérdés, hogyan kell  $U$ -t megválasztani. A soktestfizikai számítások megmutatták, hogy egy betöltött állapotra a legjobb választás

$$U(m) = \sum_n (m_n | G | m_n).$$

Gráf nyelven megfogalmazva ezt.

$$\begin{aligned} \bigcirc \text{---} \bigcirc &= \bigcirc \text{---} \bigcirc + \bigcirc \text{---} \bigcirc + \bigcirc \text{---} \bigcirc + \dots \\ \bigcirc \text{---} \bigcirc &= \bigcirc \text{---} \bigcirc + \bigcirc \text{---} \bigcirc + \bigcirc \text{---} \bigcirc + \dots \end{aligned}$$

A Goldstone mátrix igazában a két lyuk állapotok járulékat vesszük figyelembe de még nem ad elég jó közelítést. A maganyag energiája -16 MeV, 23 MeV a kinetikus energia, így a potenciális energia -39 MeV kellene hogy legyen. Ezzel szemben kb. -31 MeV adózik csak így. Konvergencia sort kapunk, ha a két lyuk után a három lyuk, négy lyuk stb. járulékokat vesszük figyelembe. A kapott energia érték azonban kisebb a kívántnál, ezért a maganyag probléma megoldására más eljárást is kipróbáltak.

Kérés, hogyan lehet a maganyag számításokból egy olyan effektív potenciált levezetni, amellyel véges magokra is lehet számolni. Ezt az ún. lokális sűrűség közelítésben lehet megoldani.

Alapfeltevéstünk az, hogy két részecske kölcsönhatása véges rendszerben olyan, mintha a lokális sűrűségnél végesnek maganyag számítását. Amint láttuk, a mag energiájánál a sűrűség ( $\bar{n}_r$ ) mellett fellép az egyrészecske energia is. Véges magokra való áttérésnél figyelembe kell venni természetesen azt, hogy az egyrészecske energiák -8 MeV-ek -16 MeV helyett. Ezzel le lehet vezetni egy sűrűség függő effektív két részecske potenciált.

Zárt, héjú magokra csak  $r$ -től és  $\rho$ -tól függő effektív két nukleon potenciál esetén az energia ereket szerint.

$$\begin{aligned} E &= \sum (\varphi_i | \hat{t} | \varphi_i) + \frac{1}{2} \sum_{ij} (\varphi_i \varphi_j | \hat{v}_{ij}(r, \rho(r)) | \varphi_i \varphi_j) = \\ &= \sum \bar{t}_i + \frac{1}{2} \int (\rho(r_1) \rho(r_2) - \rho(r_1 r_2)^2) v_{ij}(r, \rho(r)) d^3 r_1 d^3 r_2. \end{aligned}$$

Gyakorlati számításoknál szokás az ún. Skyrme erőt használni. Ezt megkaphatjuk, ha az energiában a nemlokális tagokat sorbafejtjük. Ilyenkor

$$\begin{aligned} E &= -\frac{\hbar^2}{2m} \sum_i (\varphi_i^* \Delta \varphi_i) + \int d^3 r [\alpha \rho^2(r) + \beta \rho^{r-2}(r) + \gamma (\Delta \rho)^2] - \\ &\quad - \sum_i \hbar^2 \int d^3 r f(\rho(r)) \varphi_i^* \Delta \varphi_i \end{aligned}$$

adózik. Érdemes felfigyelni rá, hogy az első és utolsó tag összevonható egy taggá:

$$\frac{1}{2m^*} = \frac{1}{2m} + f(\rho(r)).$$

$m^*$  itt az  $r$ -től függő effektív tömeg.

Leegyszerűsített Skyrme erőt kapunk, ha  $v$ -re a

$$v(r_1 - r_2) = \delta(r_1 - r_2) (\alpha + \beta \rho^r(r)) + V_{\text{Skyrme}}$$

kifejezést használjuk.

#### 4.4 Optikai potenciál mikroszkópikus származtatása

Ha egy részecskével bombázunk egy magot, a mag egésze első közelítésben egy potenciálként hat a részre. Ezt a potenciált nevezzük optikai potenciálnak.

Könnyen belátható, hogy az optikai potenciál energiafüggő és komplex, ha mikroszkópiusan származtatjuk le.

Jelöljük a mag belső koordinátáit  $\xi$ -vel, a beeső nukleon koordinátáját  $a$ -val. A teljes,  $A+1$  részecskéből álló rendszer hullámfüggvénye  $\Psi$ , míg az  $A$  nukleonból álló mag hullámfüggvénye  $\Phi$ . Fejtjük sorba a teljes hullámfüggvényt, a maghullámfüggvények teljes rendszere szerint:

$$(E - H)\Psi = 0.$$

$$H = H(\xi) + T_a + V, \quad V = V(a, A),$$

$$(\epsilon_\alpha - H(\xi))\Phi_\alpha = 0, \quad \epsilon_0 = 0,$$

$$\Psi = \sum_{\alpha} u_{\alpha}(r_{\alpha})\Phi_{\alpha}(\xi).$$

Vezessünk be egy alapállapotra vetítő operátort, amit  $P$ -vel jelölünk, és legyen ennek ortogonális operátora  $Q$ .

$$P\Psi = u_0(r_0)\Phi_0(\xi)$$

$$Q = 1 - P, \quad P^2 = P, \quad Q^2 = Q, \quad PQ = QP = 0$$

Látható, hogy  $P$  felírható úgy hogy

$$P = |\Phi_0\rangle\langle\Phi_0|$$

Behelyettesítve ezt a Schrödinger egyenletbe

$$(E - H)\Psi = (E - H)(P + Q)\Psi = 0$$

adódik. Alkalmazzuk erre az egyenletre a  $P$  ill.  $Q$  operátorokat. A kapott egyenletek:

$$(E - H_{PP})P\Psi = H_{PQ}Q\Psi,$$

$$(E - H_{QQ})Q\Psi = H_{QP}Q\Psi,$$

ahol

$$H_{PP} = |\Phi_0\rangle\left[T_a + \underbrace{\langle\Phi_0|V|\Phi_0\rangle}_{V_a}\right]\langle\Phi_0|,$$

$$H_{PQ} = |\Phi_0\rangle\langle\Phi_0|VQ|.$$

Kifejezve  $Q\Psi$ -t a második egyenletből,  $P\Psi$ -re egy Schrödinger egyenlet szerű egyenletet kapunk:

$$\left(E - H_{PP} - H_{PQ} \frac{1}{E - H_{QQ}} H_{QP}\right)P\Psi = 0.$$

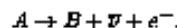
A nevező sérülhelyeti, egy komplex energiavérték bevezetésével tudjuk elkerülni

$$\left[E - T_a - V_a - \lim_{\epsilon \rightarrow 0} \langle\Phi_0|VQ \frac{1}{E + i\epsilon - H_{QQ}} QV|\Phi_0\rangle\right]u_0 = 0.$$

Látható, hogy a második tag erősen energiáfüggő, hiszen a nevezőnek közel sérülhelyei vannak, és ugyanakkor komplex is. Fizikailag ez teljesen érthető. Nyilvánvalóan a kölcsönhatás függ attól, hogy milyen energiával jön be a nukleon. Másrészt a teljes Hamilton operátorból most leválasztottunk egy részt, a beeső nukleonra vonatkozó Hamilton operátort. Ez nem kell, hogy hermitikus legyen. Mivel az eredeti nukleon bizonyos valószínűséggel abszorbeálódik a magban, a potenciál önkéntlen komplex kell hogy legyen.

## 4.5 A $\beta$ -bomlás elmélete

$\beta$  bomlás során a magban egy neutron átalakul protonná:



A és B itt a mag két állapota, amelyek az  $\beta$ ospln harmadik komponensében különböznek egymástól. Az  $\beta$ ospln harmadik komponense 1-et változik.

$$T_{\beta} = \frac{1}{2} \sum \tau_x = \frac{N - Z}{2}, \quad |\Delta T_{\beta}| = \frac{|N \mp 1 - (Z \pm 1)|}{2} = 1.$$

A  $\beta$  bomlás során bekövetkező átmenet valószínűsége

$$d\omega_{\beta} = \frac{2\pi}{\hbar} |\langle \beta | H_w | \alpha \rangle|^2 \rho(E).$$

ahol  $\rho(E)$  a végállapot energiasűrűsége. Ha a mag egy adott energáljii állapotba bomlik, a végállapot energiasűrűségéhez a  $\nu$ -k és az  $e$ -k adnak járulékok.

$$\rho(E) = \frac{\Omega^2}{(2\pi\hbar)^6} \frac{d}{dE_{\max}} [p_n^2 dp_n d\Omega_n \cdot p_e^2 dp_e d\Omega_e].$$

Legyen az elektron energálja  $E$  és  $E + dE$  között. Figyelembe véve, hogy a lehetséges maximums energia

$$E_{\max} = E_n + E_\nu,$$

és hogy a neutrínó energálja

$$E_\nu = p_\nu c \quad \Rightarrow \quad p_\nu^2 = \frac{E_\nu^2}{c^2} = \frac{1}{c^2} (E_{\max} - E_n)^2,$$

azaz

$$\frac{dp_e}{dE_{\max}} = \frac{1}{c} \frac{dE_\nu}{dE_{\max}} = \frac{1}{c}, \quad \rho(E) = \frac{d\Omega_n d\Omega_e}{(2\pi\hbar)^6} \frac{1}{c} p_n^2 dp_n p_e.$$

Mind ezek alapján az átmeneti valószínűség

$$d\omega_{\beta} \sim |\langle \beta | H_w | \alpha \rangle|^2 p_n^2 (E_{\max} - E_n)^2 dp_n,$$

ahol az átlagolás jel a szögekre átlagolt mátrixelem. Ha a mátrixelem független az energálától,

$$\left( \frac{d\omega_{\beta}}{p_n^2 dp_n} \right)^{\frac{1}{2}} \sim |H_{\alpha\beta}| (E_{\max} - E_n),$$

azaz megkapjuk a Kurie görbét. Ezt a fenti összefüggést a Coulomb kölcsönhatás még módosítja. Ennek szerepét egy faktoriall vesszük figyelembe, ahol

$$F_c(z, E_e) = 2\pi\eta [1 - e^{-2\pi\eta}]^{-1}, \quad \eta = \frac{2e^2}{\hbar v_n},$$

és  $v_n$  az elektron sebessége. Az átmenet valószínűsége ezek szerint

$$P(p_n) dp_n = (e_{\max} - e)^2 e^{\sqrt{e^2 - 1} \eta} F_c(z, e) |\langle \beta | H_w | \alpha \rangle|^2.$$

A bomlás élettartamát megkapjuk a  $w = \frac{1}{\tau}$  összefüggésből, ahol  $w$  a  $d\omega$  integrálja 0-tól a maximums  $p$  impulzusig. Ha a mátrixelem gyengén függ az energálától, kiemelhetjük az integrál elé és

$$w = |\langle \beta | H_w | \alpha \rangle|^2 \int_0^{p_n} dp_n F_c^2(e_{\max} - e)^2 = |\langle \beta | H_w | \alpha \rangle|^2 f.$$

Bevezetve a  $f\tau = f_{KJ2}$  jelölést, az  $\tau$  helyett szokás az  $f_{KJ2}$  kifejezést használni.

A mátrixelem értéke rendkívül erősen változik. A feltevés az, hogy a  $H_w$  operátor ugyanaz, a mag hullámfüggvényében fellépő különbségek okozzák ezt a nagy változást. Néhány példa

bomlás	spin, paritás	$\tau_{1/2}$	$E_{max}$	$f_{\beta_{1/2}}(s)$
$n \rightarrow p$	$\frac{1}{2}^- \rightarrow \frac{1}{2}^-$	10.6 másn	0.782	1100
${}^6He \rightarrow {}^6Li$	$0^- \rightarrow 1^-$	0.813 s	3.5	810
${}^{14}O \rightarrow {}^{14}N$	$0^- \rightarrow 0^-$	71.4 s	1.812s	3100

#### 4.5.1 A $\beta$ -bomlás Fermi elmélete

Fermi azt mondta, a bomlás lokális, a folyamat során eltűnik egy neutron és egy neutrínó, és egy proton és egy elektron keletkezik. A Hamilton operátor

$$H = F \left[ (\bar{\Psi}_p(x) \Psi_n(x)) (\bar{\Psi}_e(x) \Psi_\nu(x)) + hc \right],$$

a  $\Psi$ -k eltüntetés, a  $\bar{\Psi}$ -k kelés operátorok. A gyenge kölcsönhatás mal elmélete szerint tudjuk ez a feltevés nem igaz, de nagyon jó közelítést jelent.

A Fermi átmenetnél a mag spinje nem tud változni, kezdeti és végállapotban ugyansz kell hogy legyen:  $\Delta J = 0$ ,  $J_n = J_p$ . Úgysszintén megegyezik a kezdeti és a végállapot paritása is. Kísérletileg a  $\beta$  bomlás során találtak megegedett és tiltott átmeneteket. Tiltott átmeneteknek azokat az átmeneteket nevezik, ahol a mátrixelem legalább négy nagyságrenddel kisebb. A meglepő az volt, hogy voltak olyan átmenetek is, amelyek a Fermi átmenetek nagyságrendjével megegyeztek, ugyanakkor  $\Delta J = 1$ , tehát a spin változott. Ennek magyarázatára Gamow és Teller bevezettek még egy tagot a Hamilton operátorba, ahol a spin változhat.

$$H_{GT} = G \sum_i \left[ (\bar{\Psi}_p \sigma \Psi_n) (\bar{\Psi}_e \sigma \Psi_\nu) + hc \right]$$

A  $\sigma$  mátrixok meg tudják változtatni a végállapot spinjét. GT átmenetnél  $S=1$  kell hogy legyen,  $0 \rightarrow 0$  átmenet nem lehet. Ezek szerint a megegedett átmenetek:

$$\begin{array}{llll} S=0 & \Delta J=0 & \pi_n = \pi_p & \text{Fermi} \\ S=1 & \Delta J=0, \pm 1 & 0 \neq 0 & \pi_n = \pi_p \quad \text{GT} \\ & \Delta J=0 & 1 \rightarrow 1 & \pi_n = \pi_p \quad \text{szupermegegedett} \end{array}$$

Néhány példa:

$$\begin{array}{ll} {}^{14}O \rightarrow {}^{14}N + e^- + \nu & \text{Fermi} \\ {}^6He \rightarrow {}^6Li + e^- + \nu & \text{GT} \\ n \rightarrow p + e^- + \nu, {}^3H \rightarrow {}^3He + e^- + \nu & \text{kevert} \end{array}$$

#### Tiltott átmenetek

Hogyan jönnek létre? Nemrelativisztikus esetben a Hamilton operátor:

$$H \sim \sum_i \left[ (\bar{\Psi}_p O_i \hat{\Psi}_n) (\bar{\Psi}_e O_i \hat{\Psi}_\nu) + hc \right],$$

és ennek mátrixeleme

$$\langle H \rangle \sim \sum_i \left[ (\bar{\Psi}_p^-(x) O_i \Psi_n(x)) (\bar{\Psi}_e^-(x) O_i \Psi_\nu(x)) + hc \right],$$

ahol  $O_i$  1 vagy  $\sigma$ . Itt a  $\Psi$ -k már a részecskék hullámfüggvényei. A leptonok hullámfüggvénye

$$\Psi_n = \frac{1}{\sqrt{\Omega}} e^{i\mathbf{p}\cdot\mathbf{x}} u_n(p), \quad \Psi_\nu = \frac{1}{\sqrt{\Omega}} e^{-i\mathbf{q}\cdot\mathbf{x}} v_\nu(p),$$

ahol  $u_\alpha$ -k a Pauli spinorok. A mátrixelem ezek szerint

$$H \sim \sum_i (\bar{u}_n O_i v_\nu) \int e^{i(\mathbf{p}-\mathbf{q})\cdot\mathbf{x}} \bar{\Psi}_p^-(x) O_i \Psi_n(x) d^3x.$$

$\Psi_p$  és  $\bar{\Psi}_n$  természetesen magba beágyazott hullánfüggvényt is jelenthet. Mivel a mag mérete kicsiny  $\left(\frac{r_{\text{mag}}}{\lambda_n} = \frac{1}{60}\right)$ , az  $e^{i(\mathbf{p}-\mathbf{q})\cdot\mathbf{x}}$  kifejezés sorba fejthető az  $\mathbf{x} = \mathbf{0}$  hely körül:

$$e^{i(\mathbf{p}-\mathbf{q})\cdot\mathbf{x}} = \sum_j \frac{1}{j!} \left[ e^{i(\mathbf{p}-\mathbf{q})\cdot\mathbf{x}} \right]^j = \sum_j (-i)^j e^{(j)},$$

$$M = M_0 + M_1 + M_2,$$

ahol  $M_{\alpha\beta}^{(j)} = \int \bar{\Psi}_n H^j \Psi_p e^{(j)} d^3r$ .

Minden egyítettű faktor egy  $\frac{1}{60}$  faktorialis csökken és  $l=1,2$  stb. multipólátmenetet jelent. Az első tiltott átmenet ezek szerint

$$\begin{array}{ll} \text{Fermi} & \Delta J = 0, \pm 1 \quad \pi_n = -\pi_p \\ \text{GT} & \Delta J = 0, \pm 1, \pm 2 \quad \pi_n = -\pi_p \end{array}$$

A csökkenés nagyságrendje mátrixelemenként  $10^{-4}$ . A  $^{40}\text{K}$  élettartama pl.  $1,3 \cdot 10^9$  év, mert harmadrendűen tiltott átmenet.

### Relativisztikus elmélet

Az eddigiek alapján teljes általánosan relativisztikusan is felírhatjuk a  $\beta$  bomlás Hamilton operátorát.  $\bar{\Psi}_n \Psi_p$  négyes spinorok,  $4 \cdot 4 = 16$  lehetséges kombináció léphet fel. Ez lehet: skalár, vektor, antiszimmetrikus tenzor, adálvektor és pseudoskalár.  $1+4+6+4+1=16$

A  $\beta$  bomlás általános elméletének kidolgozásánál, minden  $\gamma$  mátrix kombináció felléphet:

$$H = c_p M^x + c_v H^v + c_T H^T + c_A H^A + c_p H^p.$$

Neurelativisztikus esetre az első kettőből Fermi átmenet lesz, a második kettőből GT átmenet, az utolsó négyessé válik. Az egyes tagok a  $\Gamma$  mátrixokkal fejezhetőek ki:

$$\Gamma_x = 1, \quad \Gamma_v = \gamma_\mu, \quad \Gamma_T = \frac{i}{2}(\gamma_\lambda \gamma_\mu - \gamma_\mu \gamma_\lambda), \quad \Gamma_A = i\gamma_\mu \gamma_5, \quad \Gamma_p = \gamma_5,$$

és a Hamilton operátor

$$H^j = \frac{1}{\sqrt{2}} \sum_i \left\{ (\bar{\Psi}_p \Gamma_i \Psi_n) \left[ g_i (\bar{\Psi}_n \Gamma_i \Psi_p) + g_i' (\bar{\Psi}_n \Gamma_i \gamma_5 \Psi_p) \right] \right\}.$$

Neurelativisztikusan

$$\begin{aligned} H_p &= F \left[ (\bar{\Psi}_p \Psi_n(x)) (\bar{\Psi}_n(x) \Psi_p(x)) + \hbar c \right], \\ H_{GT} &= G \sum_\alpha \left[ (\bar{\Psi}_p \sigma_\alpha \Psi_n) (\bar{\Psi}_n \sigma_\alpha \Psi_p) + \hbar c \right], \end{aligned}$$

vagyis visszakapjuk a korábbi eredményünket.

A paritásértés fellemerése szükségesé tette a kölcsönhatásban a paritásértés tagok bevezetését. Wu és mások kísérletel arra mutattak, hogy a neutrínó teljesen polarizált,  $g_i' = \epsilon g_i$ , ahol  $\epsilon = \pm 1$ . ( $\epsilon = 1$  ha a neutrínó spinje mindig hátra mutat,  $\epsilon = -1$  ha mindig előre.) A neutrínók polarizáltságából következik az is, hogy a  $\beta$  részecskék polarizáltak lesznek. Az általános kölcsönhatás segítségével meghatározható az elektronok polarizáltsága:

$$P_{e^\pm} = \begin{array}{|c|c|c|c|} \hline S & V & T & A \\ \hline \mp \epsilon & \pm \epsilon & \mp \epsilon & \pm \epsilon \\ \hline \end{array}$$

A mérések szerint  $\epsilon^{\pm} = \pm 1$ , amiből azonnal látható, hogy  $\epsilon = -1$  esetén S, T csatolás valószínűleg,  $\epsilon = +1$  esetén V, A csatolás. Goldhaber kísérlete azt mutatja, hogy a neutrínó spinbeállása a mozgásiránnyal ellentétes,  $\epsilon = 1$ . A Goldhaber kísérlet egyértelműen a vektor-adálvektor csatolás mellett döntött, és végeredményben a teljes  $\beta$  bomlás kölcsönhatás

$$H = \sum_{i=1}^4 g(\bar{\Psi}_p \gamma_5 (1 + \lambda \gamma_5) \Psi_n) (\bar{\Psi}_n \gamma_5 (1 + \gamma_5) \Psi_p) + hc$$

alakban írható, ahol  $g = \frac{F}{\chi^2}$  és  $\lambda = 1.18$ . Ez a képlet több évtizedes kutatómunka eredményét foglalja össze, s alapjává vált a gyenge kölcsönhatások általános elméletének.

#### 4.5.2 A Fermi elmélet módosítása

Áram-áram négyes

Fermi elképzelése: lokális kölcsönhatás. Ezt kell módosítani az elektromágneses kölcsönhatás mintájára:

Eredeti Feynman-gráf

Módosítás elektromágneses analógiára

$$|(p\bar{e}-\nu|H_w|n)|^2 = |(p\bar{e}-\nu|H_w|n\nu)|^2$$

mert

$$H_{em} = \frac{-q}{c} \int d^3\mathbf{x} \mathbf{j}(\mathbf{x}) \mathbf{A}(\mathbf{x}),$$

$$\mathbf{A}(\mathbf{x}) = \frac{q'}{c^2} \int d^3\mathbf{x}' \mathbf{j}(\mathbf{x}') \frac{1}{|\mathbf{x} - \mathbf{x}'|},$$

$$H_{em} = -\frac{qq'}{c^2} \int d^3\mathbf{x} d^3\mathbf{x}' \mathbf{j}(\mathbf{x}) \mathbf{j}(\mathbf{x}') \frac{1}{|\mathbf{x} - \mathbf{x}'|}.$$

Áram-áram kölcsönhatás végtelen hatótávolságú a foton 0 tömege miatt, ezért lép fel  $\frac{1}{|\mathbf{x} - \mathbf{x}'|}$ .  
Analogia:

$$H_w = -\frac{g^2}{c^2} \int d^3\mathbf{x} d^3\mathbf{x}' \mathbf{J}_w^i(\mathbf{x}) \mathbf{J}_w^i(\mathbf{x}') f(r).$$

$\mathbf{J}_w$  a leptonok vagy a hadronok gyenge árama,  $f(r)$  adja meg a hatótáv függést.

$$f(r) = \frac{e^{-\kappa r}}{r} \quad R_w < 0.1 fm.$$

A rövid hatótáv miatt

$$H_w = -\frac{4\pi g^2 R_w^2}{c^2} \int d^3\mathbf{x} \mathbf{J}_w^i(\mathbf{x}) \mathbf{J}_w^i(\mathbf{x}),$$

ahol  $d^3\mathbf{x}'$ -re kiintegráltunk.  $G = \sqrt{2} 4\pi g^2 R_w^2$ -et bevezetve

$$H_w = -\frac{G}{\sqrt{2}c^2} \int d^3\mathbf{x} \mathbf{J}_w^i(\mathbf{x}) \mathbf{J}_w^i(\mathbf{x}).$$

Ez még nem jó, mert az áram nem négyesvektor. Az elektromágneses kölcsönhatásban  $\mathbf{j}_m$  hermitikus garantált, mert megfigyelhető.

Hermitikusá tehető. Bevezetve a

$\mathbf{J}_w = \mathbf{J}_w^+ + \mathbf{J}_w^-$  lepton és hadron gyenge árama

$$H_w = -\frac{G}{\sqrt{2}c^2} \int d^3\mathbf{x} \mathbf{J}_w(\mathbf{x}) \mathbf{J}_w^-(\mathbf{x}).$$



Elektromágneses kölcsönhatásnál a Coulomb kölcsönhatás is hozzájárul a kölcsönhatáshoz.

$$H_c = e^2 \int d^3\mathbf{x} d^3\mathbf{x}' \frac{\rho(\mathbf{x})\rho(\mathbf{x}')}{|\mathbf{x} - \mathbf{x}'|}.$$

Megismételve az előbbi elgondolást.

$$H_w = \frac{G}{\sqrt{2c^3}} \int d^3\mathbf{x} [c^2 \rho(\mathbf{x})\rho^-(\mathbf{x}) - \mathbf{J}_w(\mathbf{x})\mathbf{J}_w^-(\mathbf{x}) + \text{hc}]$$

A  $\mathbf{J}_w = (c\rho_w, \mathbf{J}_w)$  négyesvektort bevezetve

$$H_w = \frac{G}{\sqrt{2c^3}} \int d^3\mathbf{x} [\mathbf{J}_{w\mu}(\mathbf{x})\mathbf{J}_w^\mu(\mathbf{x}) + \text{hc}].$$

## 5. Fejezet

# Relativisztikus magfizika és nehézion fizika

### 5.1 Relativisztikus magfizika

*Probléma:* relativisztikus soktestfizikai számítások nem léteznek  
Az effektív magonők egy effektív Lagrange-függvényből származtathatók le:

$$\mathcal{L} = \mathcal{L}_N + \mathcal{L}_B + \mathcal{L}_{k\bar{k}}$$

ahol  $\mathcal{L}_N$  a szabad nukleonok,  $\mathcal{L}_B$  a szabad bosonok, és  $\mathcal{L}_{k\bar{k}}$  a kölcsönhatás Lagrange függvénye. Ha csak skalár és vektor mezőt tekintünk, a téregyenletek:

$$\begin{aligned}(\partial_\mu \partial^\mu + m^2)\bar{\Psi} &= g_s \bar{\Psi} \Psi \\(\partial_\mu F^{\mu\nu} + m_v^2 V^\nu) &= g_v \bar{\Psi} \gamma^\nu \Psi \\[\gamma^\mu (\partial_\mu - g_s V_\mu) - \underbrace{(M - g_s \bar{\Psi})}_{m^*}] \Psi &= 0\end{aligned}$$

$m^*$  az effektív nukleon tömeg a kölcsönható rendszerben, hasonlóan a nemrelativisztikus esethez. A téregyenletek egy megoldás lehetősége az ún. átlagtér közelítés, ahol maganyagban

$$\begin{aligned}\bar{\Psi} &\rightarrow \langle \bar{\Psi} \rangle = \bar{\Psi}_0, \\V_\mu &\rightarrow \delta_\mu^0(V) = \delta_\mu^0 V_0.\end{aligned}$$

A Dirac egyenlet ilyenkor egyszerű alakú lesz:

$$\gamma^\mu \partial_\mu \Psi - m^* \Psi - g_v \gamma^0 V_0 \Psi = 0,$$

ahol  $m^*$  az effektív tömeg.

Egy másik lehetőség az egy boson kicserélő potenciál:

$$\bar{\Psi} \rightarrow \frac{1}{\partial_\mu \partial^\mu + m^2} g_s \bar{\Psi} \Psi,$$

amiről már beszélünk.

Az egyíttérhetőség úgy határozzuk meg, hogy maganyagra jó eredményeket adjanak. Előny: nem relativisztikus közelítésben kjön a spin-pálya csatoló tag.

*Az átlagtér közelítés problémái*

1. A relativisztikus erők függenek  $m^*$ -tól, vagyis magától a közeg hatásától
2.  $V_0$  és  $\bar{\Psi}_0$  csatolása,  $g_s$  és  $g_v$  nagyon nagy, az egyik pozitív, a másik negatív.

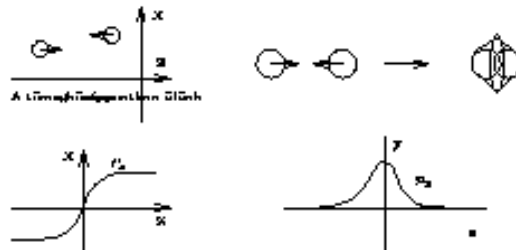
3. Ha véges magokról beszélünk, a közelítés sokkal bonyolultabb,  $\Phi$  és  $V$  r-től és p-től függ, és  $V$ -nek vektor komponensei is vannak.
4. Az adatokat a maganyag sűrűségénél határoztuk meg, holott biztos csak nagyobb sűrűségnél jó a közelítés.
5.  $m^* \rightarrow 0$  bizonyos esetekben. Elkerülhető a Zimányi-Moszkovskij-eljárással:  $m^* = \frac{1}{M - g_s \Phi}$
6. Nagy eltérések a relativisztikus és nem relativisztikus számolásoknál.

## 5.2 Nehézion fizika

Nagyenergiájú nehézionokat lövünk egymásba meghatározott lökésségi paraméterrel, és nézzük, mi történik.

*Mi várhatunk a nehézion fizikától?*

1. **Kvark-gluon plazma kialakulása, ennek megfigyelése**  
Nagyenergiájú lökéskénél ha nagy energiasűrűség van, sok új részecske-antirészecske pár keletkezik. Ha elég nagy a sűrűség, kvark-gluon plazmába megy át. Ennek megfigyelése első jelentőségű, és az asztrofizikában is fontos.
2. **Az állapotegyenlet ismerete**  
Az alapállapotú magoknál tanulmányoztuk  $E(\rho)$ -t, de nem tudjuk, hogy nagy sűrűségnél ez milyen (kompresszibilitás). Itt a részecskék száma 100-1000 körül van, statisztikus és kinetikus fizika alkalmazható, egyensúlyi és nem egyensúlyi helyzetben és magas hőmérsékleten, azaz  $P(\rho, T)$ -t kell meghatározni.
3. **Fázisátmenetek és instabilitások vizsgálata**  
Ha az anyag nagy sűrűségeken közel alapállapotban van, folyadékhöz hasonlóan viselkedik. A tágulás során instabilitások keletkeznek, az átlagtér feltűrik. Instabilitás ott várható, ahol  $\nabla P < 0$ . Ez kb. fél maganyag sűrűségnél fordul elő. Ilyenkor a rendszer gáz állapotba megy át, és ebben lehetnek nukleon klasterek. Ezt nevezik multifragmentációnak. Egy másik fázisátmenet a kvark-gluon plazma - hadronanyag átmenet.
4. A nem egyensúlyi helyzetben levő anyag viselkedéséből következtetni lehet a transport-együlthetőségre, in medium hatáskeresztmetszetekre, az effektív tömeg impulzus függésére, stb.
5. Új kollektív jelenségek várhatók. Ilyenek a lökéshullámok, a folyás (oldal, transzverzális, radális)



6. **Részecskékeltés közegeben.** Nagyobb energián hadronok keletkeznek, ezeknek a keletkezési hatáskeresztmetszete függ a közegetől.
7. **Relativisztikus effektusok kontrollja**

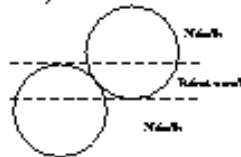
A négy energiatartomány:

- Alacsony energia ( $E < 20 \text{ MeV} \cdot A$ )  
Értelesség: az egyensúly kialakulása, fűlésátmenet.
- Közepes energia ( $E < 500 \text{ MeV} \cdot A$ )  
Értelesség: állapotegyenlet; a relativisztikus és nem relativisztikus erők illesztése nem igazán jó.
- Relativisztikus energia ( $500 \text{ MeV} \cdot A - 2 \text{ GeV} \cdot A$ )  
Értelesség: magas hőmérsékleten az állapotegyenlet; hadronok effektív keletkezés hatáskeresztmetszete kölcsönható rendszerben.
- Ultrarelativisztikus energia  
Kvark-gluon plazma kialakulása  
Megállító tartomány  
Áteresztő tartomány

### Főbb fogalmak

Raplítottás:  $y = \frac{1}{2} \ln \frac{E+p}{E-p} \rightarrow p_{||}$  nem relativisztikusan.  $p_{||}$  a beesés irányba mutató impulzus  
Ütközés paraméter. Az ütközés lehet centrális és periferikális.

Alapkép: részecskék és nézők (spektátor)



Multiplicitás: hány különböző rész jön ki az ütközés után.  
IMF: azoknak a részecskéknek a száma, amelyeknél  $Z \geq 3$ .

Kötött  $Z$ : az egy reakcióban IMF-ben levő protonok száma.

Multifragmentáció: egyszerre legalább három IMF keletkezik.

Folyás: a tömegközépponti rendszerben a raplítottás függvényében nem szimmetrikus a  $p_x$  ill.  $p_y$  eloszlás, vagy centrális folyás van centrális ütközésben.

## 5.3 Nehézion reakciók tárgyalása

Az ütközés során az anyag összenyomódik és felmelegszik. A belső energia megnövekszik a kinetikus energia rovására. Az ütközések során termelődnek a részecskék. A termelés során kialakulhat lokális termikus ill. kéntal egyensúly. A rendszerre jellemző adat az eloszlásfüggvény:

$$f(x^\mu, p^\mu) = \frac{1}{\int d^3x d^3p} \frac{e^{-\beta(\epsilon - \mathbf{p} \cdot \mathbf{v})}}{2\pi^2 \sqrt{(m^2 + p^2)}}.$$

Ha az energia elég nagy, akkor a klasszikus leírásnál alkalmazható, néhány kvantumeffektus figyelembevételével (Pauli-elv).

A rendszer mozgását valamilyen dinamika egyenlettel kell leírni. A dinamika egyenletet az eloszlásfüggvény időbeli változásából kapjuk. Ez a Boltzmann egyenlethez hasonló egyenlet, csak az ütközés tagok mellett átlagenergia (mean-field) is van. Nagy energiákon ennek a relativisztikus verzióját kell figyelembe venni:

$$\frac{\partial}{\partial t} + F \frac{\partial I}{\partial r} - V_{p^2} \frac{\partial I}{\partial p} = I_{\text{res}}$$

$I_{\text{res}}$  itt az ütközést írja le.

Ha a nukleonokat hullámcsomagokkal írjuk le, a fenti egyenletből megkapjuk az energiát, mint a részek helyének és impulzusának függvényét. Ha a hullámcsomagok tömeg- és impulzusközéppontjának a koordinátáit  $r_i$  és  $p_i$ , akkor a Hamilton egyenletek leírják a dinamika fejlődését.

$$\dot{r}_i = \frac{\partial E}{\partial p_i}, \quad \dot{p}_i = -\frac{\partial E}{\partial r_i}.$$

Ha elég energia van, az ütközésben figyelembe kell venni az új részecskék keletkezését is.

## 5.4 Kvark-gluon rendszer

A QCD két legfontosabb tulajdonsága (mint más nem abeli mértékelméletnél):

1. Nagy energián aszimptotikus szabadság. Ez azt jelenti, hogy nagy energiákon perturbatív számítás alkalmazható.
2. Kis energián bezártság: csak color szinguletek létezhetnek szabadon.

Ök: A vákuum szerkezete bonyolult.

A QCD szerint igen nagy sűrűségeknél és hőmérsékleteken kvark-gluon plazmának (QGP) kell léteznie. Ebben az új fázisban a hadronok széthomlanak, az erős kölcsönhatás nagyon gyenge lesz, és plazma alakul ki. A hosszú hatótávolsági színerők kollektív effektusok miatt leábrnyékolódnak, akár csak az elektromágneses plazmában, és a kvarkok rövid hatótávolsági erők révén hatnak kölcsön. A két fázis: a színvesztő nagyenergiájú QGP és a színszigetelő hadron fázis. Valami új típusú fázisátmenet van köztük.

Az átmenet és a QGP fontos a QCD szempontjából is. A két fázis két vákuumnak felel meg: perturbatív és fizikai vákuum.

A QCD Lagrange függvényéből indulunk ki:

$$\mathcal{L}_{QCD} = \sum_f \left[ \bar{\Psi} (\not{\partial} \gamma^\mu - g_s \gamma^\mu \hat{A}_\mu) \Psi - m_f \bar{\Psi} \Psi \right] - \frac{1}{2} F_{\mu\nu}^a F_a^{\mu\nu},$$

ahol  $F_{\mu\nu}$  a nemlineáris gluon térerősség tenzor

$$F_{\mu\nu}^a = \partial_\mu A_\nu^a - \partial_\nu A_\mu^a + g_s f_{abc} A_\mu^b A_\nu^c$$

$$\hat{A}_\mu = \frac{1}{2} \sum_{a=1}^8 A_\mu^a \lambda_a$$

$\hat{A}$  tartalmazza a gluon terek és az erős csatolás állandóját:  $g_s \Rightarrow \alpha_s = \frac{g_s^2}{4\pi}$ .

A Maxwell egyenletek analogonja

$$\partial_\nu F_a^{\mu\nu} = g_s j_\mu^a - g_s f_{abc} A_\nu^b \partial^\nu F_c^{\mu\nu},$$

ahol a kvarkok színtársa

$$j_\mu^a = \frac{1}{2} \bar{\Psi} \gamma^\mu \lambda_a \Psi.$$

Az utolsó tag azt mutatja, hogy a színtér részben úgy hat, mint a saját forrása, azaz a gluonoknak is van színtöltésük.

A Lagrange-függvény invariáns egy lokális mértéktranszformációval szemben (skalárinvariáns)

$$\begin{aligned}\Psi &\rightarrow \Psi' = [1 - ig_s \varepsilon_a(x) \lambda_a] \Psi, \\ A_\mu^a &\rightarrow A_\mu^{\prime a} = A_\mu^a + \partial_\mu \varepsilon_a(x) + g_s f_{abc} \varepsilon_b(x) A_\mu^c(x).\end{aligned}$$

A renormalizáció miatt a skála invariánsa sérül, és a csatolás állandó skálafüggő lesz.

$$g^2(Q^2) = \frac{16\pi^2}{\left(11 - \frac{2}{3}N_f\right) \ln\left(\frac{Q^2}{\Lambda^2}\right)},$$

$$\Lambda \sim 150 \text{ MeV}, \quad N_f \text{ egész szám.}$$

Innen látható az aszimptotikus szabadság.

Alacsony energian, amikor csak u és d kvarkok vannak, fennáll a királis aszimmetria, ha felteessük, hogy ezek tömege végtelen. Mivel a királis aszimmetria nem egzakt,

$$m_d \sim g, \quad m_u \sim 5, \quad \text{de } m_{d,u} \ll \lambda.$$

Áramalgebra segítségével megmutatható, hogy

$$2m_u^2 f_\pi = -(m_u + m_d) \langle \bar{\Psi} \Psi \rangle,$$

ahonnan a kvark kondenzátum értéke  $\sim 225 \text{ MeV}$ . Ha a kvarkok tömege végtelen lenne, a pion tömege is végtelen lenne. A fizikailag nem perturbatív vákuumban a királis aszimmetria spontán sérül. A vákuum várható értéke nem végtelen.

Hadron fázisban a kvark tömege nagy, de QGP-ben közel 0.

Kérdés: mi a deconfinement és királis aszimmetria helyreállása között a különbség? Ha különböznek, a deconfinement alacsonyabb hőmérsékleten következik be. Lehet, hogy egyszerre következnek be. Ércsön számolva  $m=0$ -ra biztos.

## 5.5 Zsákmodell

A bezártságot egyszerűen zsákmodellel lehet leírni.

Két tartomány van: nagy energiájú szívesztő QGP, és kis energiájú színeszettelő hadron.

### A zsákmodell kép

Nukleon buborék van a fizikailag vákuumban, benne 3 kvark. Színes gluonok követik a kölcsönhatást.

Gluonok nem csak a buborékban belül, hanem kívül is vannak. Az önkölcsönhatásuk, ami a szín miatt van, negatív energiájú erőt eredményez. Az üres tér energiatartalma nem az eltűnő gluontér, hanem gluonok sokasága. A buborék körül kondenzátum van, ahova a kvark nem tud kilépni. A kondenzátum nyomást gyakorol a buborék falára. Kvark csak ott terjedhet, ahol a vakó vákuum, ami a gluonkondenzátumot tartalmazza, elromlott. Az elromláshoz energia kell,  $e = B$ , ez a zsák energia. A vákuum Lorentz-invariánsa miatt  $P_0 = -B$ . Ha elhanyagoljuk a rövid hatótávolságú erőt, a kvark Dirac egyenlete (szabad Dirac egyenlet):

$$i\gamma^\mu \partial_\mu \Psi - M\Psi + (M - m)\Theta_\nu \Psi = 0$$

ahol  $\Theta_\nu = 1$  a zsákon belül,  $\Theta_\nu = 0$  kívül.  $M \rightarrow \infty$ -re megmutatható, hogy  $\Psi = 0$  a zsákon kívül. A részecskeáram a felületen:

$$n_\mu \gamma^\mu \Big|_\Sigma = n_\mu^+ = n_\mu^-(\bar{\Psi} \gamma^\mu \Psi) = 0, \quad \text{bezártság.}$$

Ha a külső tömeg nagyon nagy, a határfeltétel azt eredményez, hogy a kvarkáram normális komponense a felületen végtelen. A szabad Dirac egyenletet ezzel a határfeltétellel meg lehet oldani.

Az energia-impulzus tenzor megmaradása követeli, hogy a felületen kiáramló nyomás lépjen fel. Ez azt jelenti, hogy a szálakon belül negatív nyomás van.

A szálmodell tehát durván tartalmazza az aszimptotikus szabadságot és a beszárttságot. A szálakon belül a kökötésbátást perturbatíván vesszük figyelembe, kívül pedig szin szingulet állapotot követelünk meg. Ez így érhető el, hogy a vákuumból egy állandó energiasűrűséget adunk. Ezáltal egy hadron energiája:

$$E_H(R) = BV + \frac{c}{R}.$$

A második tag a kvark kinetikus energiája, ami a határosatlansági reláció miatt  $\frac{1}{R}$ -rel arányos. Az effektív sugár a minimalizálásból kapható meg.

$$\frac{\partial E_H}{\partial R} = 4\pi R^2 B - \frac{c}{R^2} = 0 \quad R = \left( \frac{c}{4\pi B} \right)^{\frac{1}{3}}$$

A hadron tömege:  $M = \frac{4\pi}{3} R^3 B$

A Dirac-egyenletből:  $c \sim 6.12$ , így a szálállandó:  $B^{\frac{1}{4}} \sim 200 \text{ MeV}$

## 5.6 Kvar-k-gloun plazma (QGP)

A QGP állapotegyenlete a gluonok és a kvark-antikvarkok állapotegyenletéből tevődik össze. Multiplikálás

$$\begin{aligned} N_g &= 2 (\text{spin}) * 8 (\text{szín}) = 16 \\ N_q &= 2 (\text{spin}) * 3 (\text{szín}) * 2 (\text{íz}) = 12 \end{aligned}$$

Első közelítésben csak u és d kvarkot tekintünk, m=0 tömeggel. Ekkor  $e_q \sim p$ .

A gluonok energiája:

$$e_g = \frac{1}{(2\pi)^3} \int d^3 p p \frac{1}{e^{p/T} - 1} = \frac{4\pi T^4}{(2\pi)^3} \int \frac{\pi^2 d\pi}{e^\pi - 1} \sim \frac{\pi^2 T^4}{30}.$$

(T : 160 MeV egységeken)

A kvarkok energiája:

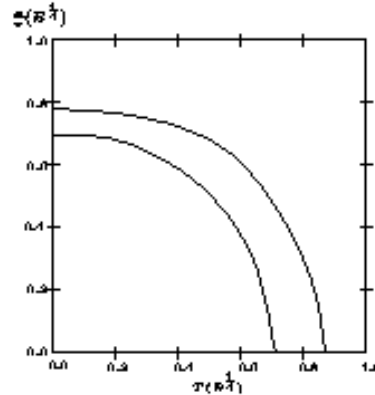
$$\begin{aligned} e_q &= \frac{1}{(2\pi)^3} \int d^3 p p \frac{1}{e^{p/T} - 1} = \frac{T^4}{(2\pi)^3} \int_{-\beta\mu}^{\infty} d\pi \frac{(\pi - \beta\mu)^3}{e^\pi - 1}, \\ e_{\bar{q}} &= \frac{T^4}{(2\pi)^3} \int_{\beta\mu}^{\infty} d\pi \frac{(\pi - \beta\mu)^3}{e^\pi - 1}, \quad \mu \rightarrow -\mu, \end{aligned}$$

$$e_q + e_{\bar{q}} = \frac{7\pi^2 T^4}{120} + \frac{\mu^2 T^4}{4} + \frac{\mu^4}{8\pi^4}.$$

Ha barion szimmetrikus esetet nézünk, (az azt jelenti, hogy a barionok és az antibarionok száma megegyezik, ( $\mu = 0$ ))

$$e = 16e_g + 12(e_q + e_{\bar{q}}) \sim \frac{37\pi^2 T^4}{30} \sim \left( \frac{T}{160 \text{ MeV}} \right)^4 \frac{\text{GeV}}{\text{fm}^3}.$$

$$e_{\text{nuc}} \sim 125 \frac{\text{MeV}}{\text{fm}^3}, \quad \Delta e = e - e_{\text{nuc}} \sim 4B \sim 300 - 500 \frac{\text{MeV}}{\text{fm}^3}.$$



A fenti ábra a kvark-gluon plazma stabilitásgörbéje a  $T - \mu$  síkon. A belső görbe az  $\alpha_s = 0$  csatolási állandóhoz tartozik, a külső az  $\alpha_s = 0.5$  értékhez.

### A plazma elhomlása

Lehetőségek:

1. Expansió, fázisátmenet.
2. Párologás ( $\pi$  kibocsátás)

A Planck-törvény szerint, az egységnyi  $l^3$  alatti, egységnyi felületen kilépő energavesztés:

$$\frac{dE}{dt d^2\pi} \sim 0.2 T^4$$

Integrálva a kvark-gluon plazmára egy 2 fm sugarú plazma az energiája felét  $20 \frac{E_m}{c}$   $l^3$  alatt veszt el ( $6 \cdot 10^{-23}$  s). Ez túl hosszú időtartam.

Fontosabb számítások szerint:

$$\frac{dE}{dt d^2\pi} \sim 0.02 \frac{T^6}{fm^3}$$

Magasabb hőmérsékleteken fontosabb az expansió, mint a termikus pionok kibocsátása. Valószínű, hogy fázisátmenet következik be, és ez okozza a rehadronizációt.

## 5.7 Fázisátalakulások kvark és hadronanyag között

$V_H, V_Q$  térfogatok

$N_H$  hadronok száma,  $N_s$  kvarkok és gluonok száma

$S_H, S_Q$  entrópia

A rendszer teljes belső energiája:

$$E = E_H(V_H, N_s, S_H) + E_Q(V_Q, N_s, S_Q)$$

$$E_H = V_H e \left( \frac{N_H}{V_H}, \frac{S_H}{V_H} \right)$$

$$E_Q = V_Q e \left( \frac{N_Q}{V_Q}, \frac{S_Q}{V_Q} \right)$$

Tegyük még fel a szeparálhatóság mellett, hogy  $n = p$ ,  $S = 0$  (ritkség),  $Z = \frac{E}{2}$ .

Egy termodinamikai rendszer adott entrópián belső energiáját minimumalkáljuk megkeresni, adott



belső energián entrópiáját maximalizálja.

$$\delta(V_H e_H(n_p, n_n) + V_Q e_Q(n_u, n_d, n_s)) = 0,$$

$$V_H(n_p + n_n) + \frac{1}{3} V_Q(n_u + n_d + n_s) = B = \text{const},$$

$$V_H n_p + \frac{1}{3} V_Q(2n_u - n_d - n_s) = Z \sim \frac{B}{2} = \text{const},$$

$$n_n + n_p \equiv n_N, \quad n_d = n_u \equiv n_T, \quad n_s = 0.$$

A Gibbs feltételt az energia variációjából kapjuk meg: a két fázis közti intenzív paraméterek egyenlők. A hadron fázisban

$$\mu_N = 3\mu_T, \quad \mu_s = 0, \quad \mu = \frac{\partial E}{\partial N},$$

$$p_H = p_N = p_Q, \quad T_H = T_Q,$$

$$p_n = - \frac{\partial E_N}{\partial V_N} = n_N \left( \frac{\partial e_N}{\partial n_N} \right) - e_N,$$

$$e_N(n_N) \sim mc^2 n_N + \frac{\hbar^2 k n_N^2}{2} + \frac{3}{2} n_N T + \frac{\pi^2}{10} \frac{T^4}{(\hbar c)^3}.$$

A második tag a közel mezonokkal való tasztó kölcsönhatás tag. Vonzás a nagy sűrűség miatt nincs. A harmadik tag a nukleonok termikus energiája, a negyedik tag a pionoké.

Kvarkanyagra, mint láttuk:

$$e_Q \sim \frac{K_1 \mu^4 + K_2 \mu^2 T^2 + K_3 T^4}{(\hbar c)^3} + B, \quad e_Q = e_0 + B,$$

ahol  $K_1, K_2, K_3$  a fent meghatározott, kiszámítható dimenziótlan konstansok.

A nyomások:

$$p_Q = \frac{1}{3} e_0 - B = \frac{1}{3} (e_0 - 4B)$$

$$p_H = \frac{1}{3} e_H$$

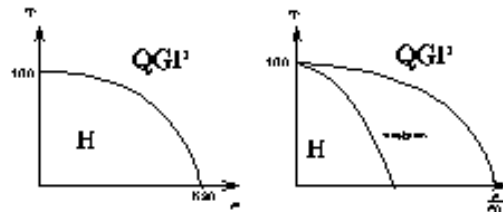
A plazma akkor válik instabillá, mikor át tud menni hadronállapotba. A stabilitás feltétele az, hogy a két rendszer nyomása megegyezzen.

$$p_Q(T_c) = p_H(T_c), \quad T_c \sim 200 \text{ MeV}.$$

A  $B$  szákenergia hatása az, hogy a két rendszer energiája jelentősen különbözik a kritikus hőmérsékleten:

$$\Delta E_c \sim 4B \sim 0.8 \frac{\text{GeV}}{fm^3}.$$

Ez az egyszerű modell egyértelműen elsőrendű fázisátmenetet jelez,  $\Delta E_c$  a latens hő.  $\alpha$ , szerepe módosítja a képet.



## 5.8 Szignatúrák

Kérdés: miről ismerjük fel a reakció után, hogy ott kvark-gluon plazma létrejött.

1.  $\gamma$  és lepton-antilepton ( $\bar{l}l$ ) párok ktlépése. Korai forró kvarkok által kibocsátódnak, utána a gyenge kölcsönhatás miatt nem bomlanak el hamar, az anyag széttömülése nélkül. Az impulzuseloszlásukban bizonyos nagy  $p$  transzverzális csúcsok csak plazma esetén jelennek meg.
2. Bájós kvarkok:  $c\bar{c}$  párok keletkeznek a korai fluktuációkban, majd széttávoznak. Utána nehezen találunk egymásra, hogy  $J/\psi$  képződjék, de megnöb a  $D\bar{D}$  meson keletkezésének valószínűsége:

$$q\bar{q} \rightarrow c\bar{c}, \quad g\bar{g} \rightarrow c\bar{c}.$$

3. Ritka rész képzés:  
Fázisátmenet esetében u d a termikus egyensúlyban van.

$$N_x \sim \frac{3}{\sqrt{2}} V \left( \frac{T_x m_x}{\pi} \right)^{\frac{3}{2}} e^{-\beta m_x}$$

$$\frac{N_{\bar{u}}}{N_{\bar{d}}} \sim \frac{1}{2} \quad \frac{N_x}{N_{\bar{q}}} \sim 0.01$$

$\bar{u} + u \rightarrow K^-$  könnyen kialakul  
 $s + \bar{u} \rightarrow K^-$  nehezen talál s  $\bar{u}$  partnert.  
 $\frac{K^+}{\bar{u}^+}$  nagy,  $\frac{K^-}{\bar{u}^-}$  kicsi.

4. Végállapotú részek sebességének vizsgálata. QGP esetén a benne fellépő erős sírlókítás miatt a  $q$  sebesség azonos.
5. A mennyiségek fluktuációja és korrelációs tulajdonsága megváltozhat QGP-ben. Kérdés, milyen ez a fázisátmenet, első vagy másodrendű, mert akkor más a korrelációs hossz. A multipllicitásban is lehet fluktuáció – fraktál szerkezet – intermittencia.  
A QGP fázisátmenetében nagy, nem statisztikus fluktuációk lépnek fel. Az intermittencia vizsgálata nehéz a statisztikus zaj miatt.  $e^+ + e^-$ -ban megfigyeltek fluktuációkat.
6. Legfontosabb a ritka antibarionok vizsgálata

## 6. Fejezet

# Csillagfejlődés

### 6.1 Viriál tétel

A viriál tétel a Newton egyenletekből levezethető:

$$m \frac{d^2 r}{dt^2} = F, \quad \frac{1}{2} \frac{d^2}{dt^2} (mr^2) = mr \frac{d^2 r}{dt^2} + m \left( \frac{dr}{dt} \right)^2,$$
$$\frac{1}{2} \frac{d^2}{dt^2} (mr^2) = m \left( \frac{dr}{dt} \right)^2 + rF.$$

Minden tömegpontra összegezve, és felhasználva, hogy  $I = \sum m_i r_i^2$  a tehetetlenségi nyomaték és  $K = \sum m_i v_i^2$ , a kinetikus energia:

$$\frac{1}{2} \ddot{I} = 2K + \sum_i r_i F_i.$$

Ha az erő gravitációs erő, akkor a viriál:

$$\text{virial} = \sum_i r_i F_i = \sum_i -\frac{Gm_i m_j}{r_{ij}^2} = \Omega$$

azaz

$$\frac{1}{2} \ddot{I} = 2K + \Omega.$$

Ha a rendszer egyensúlyban van,  $I$  nem változik,  $2K + \Omega = 0$ . Ez a viriál tétel.

#### Alkalmazás ideális gázokra

Ideális gáz esetén egy részecske átlagos kinetikus energiája  $\frac{3}{2}kT$ . Egy adott  $dm$  tömegben  $dN$  molekula van, így ennek kinetikus energiája:

$$dK = \frac{3}{2} kT dN = \frac{3}{2} RT dm = \frac{3}{2} (\gamma - 1) c_v T dm, \quad (\gamma = \frac{c_p}{c_v}), \quad k = 8.3 \cdot 10^{-24} \frac{\text{cal}}{\text{fok}}.$$

A gáz belső energiája  $E = c_v T dm$ , így a kinetikus energia és belső energia kapcsolata:  $K = \frac{3}{2} (\gamma - 1) E$ , ahol (egyatomos) ideális gázra  $\gamma = \frac{5}{3}$ ,  $K = E$ . A teljes energia  $U = E + \Omega$ .

- Egyensúly esetén a viriál tétel alapján  $2K = -\Omega$ , tehát

$$U = \frac{3\gamma - 4}{3(\gamma - 1)} \Omega, \quad E = -\frac{\Omega}{3(\gamma - 1)}$$

- a) Ideális gázra  $U = \frac{1}{2} \Omega, \quad E = -\frac{1}{3} \Omega,$   
b) Degenerált gázra  $\gamma = \frac{4}{3}, \quad U = 0, \quad E = -\Omega.$

- Ha a rendszer kontrakálódik,  $2K + \Omega < 0$ , így  $2K < |\Omega|$ .

Egyenletes anyageloszlásra  $\Omega = -\frac{3}{8} \frac{GM^2}{R}$ , ekkor ideális gátra

$$K = E = \frac{3}{2} k\bar{T}N = \frac{3}{2} k\bar{T} \frac{M}{\mu m}.$$

A kontrakáló feltétele ezek szerint

$$3k\bar{T} \frac{M}{\mu m} < \frac{3}{5} \frac{GM^2}{R}, \quad k\bar{T} < \frac{1}{5} \frac{GM}{r} \mu m.$$

Bevezetve a sugár helyett a sűrűséget ( $\bar{\rho} = \frac{3M}{4\pi r^3}$ ), a kontrakáló feltétele:

$$M > 1.2 \cdot 10^{-10} \frac{T^{\frac{3}{2}}}{\mu^{\frac{3}{2}} \bar{\rho}^{\frac{1}{2}}}.$$

**Konklúziók:**

- Intergalaktikus anyagra  $\mu \sim 1$ , a galaktikák kialakulása idején  $T = 10^4 K$  volt,  $\rho = 10^{26} \frac{g}{cm^3}$ , így  $M > 1.2 \cdot 10^{10}$ , azaz ez az egyszerű megközelítés jól adja a galaktikák tömegét.
- Egyensúly esetén  $T = 4.1 \cdot 10^6 \mu M \bar{\rho}^{\frac{1}{2}} (K^\circ)$  azaz növekvő tömeggel nő a hőmérséklet.

**Degenerált rendszerek**

Degenerált rendszerre a részecskék kinetikus energiája a sűrűséggel lesz arányos:

$$\frac{E}{A} = \frac{\hbar^2}{2m} (3\pi^2 \rho)^{\frac{2}{3}}, \quad \frac{E}{A} = \frac{3}{5} E_F$$

Ultrarelativistikus esetre  $E = pc$  miatt  $p_{Fc} \sim \rho^{\frac{1}{3}}$ ,  $\frac{E}{A} = \frac{3}{4} E_F$ .

Egy rendszer akkor válik degenerálttá, ha a hőmérsékleti energiája sokkal kisebb a Fermi energianál, azaz ha  $kT \ll E_F$ . Degenerált rendszerek fontos tulajdonsága, hogy alapállapotban lévén nem tudnak sugározni.

Teljesen ionizált hidrogén gázban a protonok sűrűsége, így fermi impulzusuk is megegyezik az elektronokéval, a kinetikus energiájuk viszont kisebb. Az elektrongáz hamarabb degenerálódik, mint a protongáz.

Relativisztikus elektrongáz esetén az egyensúly feltétele  $\frac{3}{4} N_e \hbar c (3\pi^2 \rho_e)^{\frac{1}{3}} \sim \frac{3}{8} \frac{GM^2}{R}$ , ahol  $N_e = \frac{M}{\mu M_H}$ ,  $\rho_e = \frac{N_e}{V}$ . Ez maximumán kb.  $1.2 - 1.4 M$  tömeget jelent. Ezt hívják Chandrasekhar határnak.

## 6.2 A csillagfejlődés törvényeinek egyenletei

$$\frac{dM(r)}{dr} = 4\pi r^2 \rho(r),$$

$$\frac{dP(r)}{dr} = -\frac{GM(r)\rho(r)}{r^2} = -g\rho,$$

$$\frac{dL(r)}{dr} = 4\pi r^2 \rho \epsilon(r),$$

$$\frac{dT(r)}{dr} = -\frac{3}{4ac} \frac{k\rho}{T^3} \frac{1}{4\pi r^2} L(r) \quad \text{sugárzás,}$$

$$\frac{dT(r)}{dr} = \left(1 - \frac{1}{\gamma}\right) \frac{T(r)}{P(r)} \frac{dP(r)}{dr} \quad \text{átvitel}$$

## 6.3 Magreakciók csillagokban

### 6.3.1 Reakciósebesség

A csillagfejlődést kiro egyenletekben egy fontos meghatározandó mennyiség az  $\epsilon$ , azaz a termelt energia.  $\epsilon$  azok részéből tevődhet össze. Ml a következőkben a nukleáris energiatermelést tanulmányozzuk.

10 millió fok esetén  $E_T = \frac{3}{2}kT$  és 1keV. Klasszikusan a fűdóhoz szükséges energia  $E_T$  és  $E_C$  és 0.5 MeV. Kvantummechanikát és statisztikus fizikát, figyelembe véve kisebb energián is bekövetkezhet, de kb. 1 keV a minimumális hőmérséklet.

Legyen  $n_1$  és  $n_2$  az ütközés részek sűrűsége. Az egységnyi térfogatban, egységnyi idő alatt bekövetkezett reakciók száma:  $r = n_1 n_2 \langle \sigma v \rangle$ , ahol  $\langle \sigma v \rangle$  az átlagos marad.

$$\langle \sigma v \rangle = \frac{\int \sigma(v) v N(v) dv}{\int N(v) dv}$$

$N(v)$  itt a  $v$  sebességű részek száma:  $N(v)dv = \left(\frac{m}{2\pi kT}\right)^{\frac{3}{2}} 4\pi v^2 e^{-\frac{mv^2}{2kT}}$  és  $m$  a redukált tömeg.

Kis energián a magreakciók hatáskeresztmetszete neutronokra  $\sigma$  és  $\frac{S}{v}$ ,  $E = \frac{1}{2}mv^2$ . Protonokra még a Coulomb gáton való átjutást is figyelembe kell venni. Az  $\alpha$  bomlásból ismert, hogy  $\sigma$  és  $\frac{S}{v} e^{-2\pi\eta}$ ,  $\eta = \frac{Z_1 Z_2 e^2}{2v}$ . A hatáskeresztmetszet essentit.

$$\langle \sigma v \rangle = \left(\frac{2}{\pi m}\right)^{\frac{1}{2}} \frac{S}{(kT)^{\frac{3}{2}}} \int dE e^{-\frac{E}{kT} - \frac{B}{\sqrt{E}}}$$

ahol  $B = 2\pi\eta\sqrt{E}$  az energiától nem függő konstans. Az integrandus értéke ott maximális, ahol

$$\frac{E}{kT} + \frac{B}{\sqrt{E}} = m\epsilon, \quad \frac{E}{kT} = \frac{1}{2} \frac{B}{\sqrt{E}}, \quad \text{amiből } E = \left(\frac{1}{2} B kT\right)^{\frac{2}{3}}$$

Sorbafejtve a minimum hely környékén,

$$\langle \sigma v \rangle = \frac{16}{9\sqrt{3}} \frac{h}{2\pi e^2} \frac{1}{Z_1 Z_2} S \tau^2 e^{-\tau}$$

ahol

$$A = \frac{A_1 A_2}{A_1 + A_2}, \quad m = m_p A, \quad E = \frac{1}{2} m v^2, \quad \tau = 3 \left(\frac{B}{2\sqrt{kT}}\right)^{\frac{2}{3}}$$

A magreakciók hatáskeresztmetszete különbözően nagy lesz rezonancia értékeknél. A Breit Wigner formulákból tudjuk, hogy ott

$$\sigma(a, b) = g \frac{\pi}{k_a^2} \frac{\Gamma_a \Gamma_b}{(E - E_r)^2 + \left(\frac{\Gamma}{2}\right)^2}$$

ahol  $\Gamma = \Gamma_a + \Gamma_b$  és  $g$  a spinektől függő súlyfaktor.  $\sigma$  értéke  $E = E_r$  nél klugróan nagy, így  $E$  helyébe est. helyettesíthetjük:

$$\langle \sigma v \rangle = 4\pi \left(\frac{m}{2\pi kT}\right)^{\frac{3}{2}} v^2 e^{-\frac{mv^2}{2kT}} \int_0^{\infty} \sigma(v) dv = \left(\frac{2\pi}{m}\right)^{\frac{3}{2}} h^2 g \frac{\Gamma_a(E_r) \Gamma_b}{\Gamma} \left(\frac{1}{kT}\right)^{\frac{3}{2}} e^{-\frac{E_r}{kT}}$$

Rezonancia értékeknél a hatáskeresztmetszet nagyságrendekkel nagyobb lehet, mint rezonancia nélkül. A reakciósebesség ezek szerint függ az adott részek sűrűségétől, a keletkezett közbenső rendszer állapotától, és rendkívül erősen a hőmérséklettől.

### 6.3.2 A Nap energiatermelése

Gravitáció során az eddig felszabadult energia a Napban:  $W = -\frac{3}{8} \frac{GM_{\odot}^2}{R_{\odot}} + \frac{3}{8} \frac{GM_{\odot}^2}{R_0}$ . A sugárzás ideje  $t = \frac{W}{\dot{L}_{\odot}}$ , ahol  $\dot{L}_{\odot}$  az átlagosan 1 sec. alatt kiszárvott energia. A Napra az adatok:  $M_{\odot} = 1.99 \cdot 10^{33} g$ ,  $R_{\odot} = 6.96 \cdot 10^{10} cm$ ,  $L_{\odot} = 3.86 \cdot 10^{33} \frac{erg}{s}$  és ha  $\bar{L}_{\odot} = \frac{L_{\odot}}{10}$ -et vesszünk,  $t = 2 \cdot 10^6$  év. A Föld kora  $5 \cdot 10^9$  év, tehát ennél jóval hosszabb.

A magreakciókban felszabadult energiával kifejezve  $\frac{\Delta M c^2}{L_{\odot}} = t$ .  $t = 5 \cdot 10^9$  s és  $L_{\odot} = L_{max}$  értékekkel  $\Delta M = 5 \cdot 10^{-4} M_{\odot}$  adódik, azaz a Nap tömegének csak 0.05%-a sugárzott ki. Ha a csillag tömegének 10%-a ég el a hidrogént, annak mintegy fele fogyott el máig. Ha a Nap teljes tömege vas körüli elemekké alakul, a felszabadult energia  $\Omega = Q M_{\odot} = 1.6 \cdot 10^{63} erg$ ,  $Q = 8 MeV/nukleon$ , ami mal fényességgel  $t = 1.2 \cdot 10^{11}$  évig világítana. Nukleáris energiatermelés nélkül tehát Napunk nem tudna ma világítani, de könnyű elemek fűtéséből elegendő energia áll rendelkezésre.

### 6.3.3 A csillagokban lezajló magreakciók

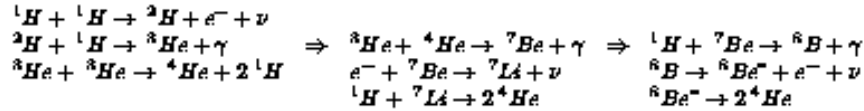
Kérdés, milyen magreakciók lehetnek végbe a csillagokban?  $T = 10^7 K$  hőmérsékleten

- *Proton lán:*

Folyamat	Felszabaduló energia (MeV)	Idő
${}^1_1H + {}^1_1H \rightarrow {}^2_1H + e^- + \nu$	1.44	$14 \cdot 10^9$ év
${}^2_1H + {}^1_1H \rightarrow {}^3_2He + \gamma$	5.49	6 sec
${}^3_2He + {}^3_2He \rightarrow {}^4_2He + 2 {}^1_1H$	12.85	$10^8$ év

$$E_{pp} = 26.2 MeV, E_{\nu} = 0.26 MeV/\nu.$$

- *Berillium-bór lán:*

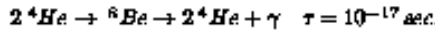


- *Katalizátoros magreakció*

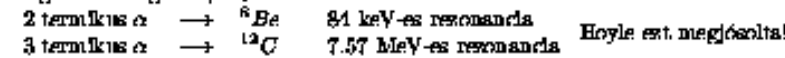
Folyamat	Felszabaduló energia (MeV)	Idő
${}^{12}_6C + {}^1_1H \rightarrow {}^{13}_6N + \gamma$	1.95	$1.3 \cdot 10^7$ év
${}^{13}_6N \rightarrow {}^{13}_6C + e^- + \nu$	2.22	7 perc
${}^{13}_6C + {}^1_1H \rightarrow {}^{14}_6N + \gamma$	7.59	$2.7 \cdot 10^6$ év
${}^{14}_6N + {}^1_1H \rightarrow {}^{15}_6O + \gamma$	7.35	$3.2 \cdot 10^6$ év
${}^{15}_6O \rightarrow {}^{15}_6N + e^- + \nu$	2.71	82 sec
${}^{15}_6N + {}^1_1H \rightarrow {}^{12}_6C + {}^4_2He$	4.96	$1.1 \cdot 10^6$ év

$$E_C = 25.2 MeV, E_{\nu} = 0.72 MeV/\nu.$$

- *Nehézebb elemek kialakulása*

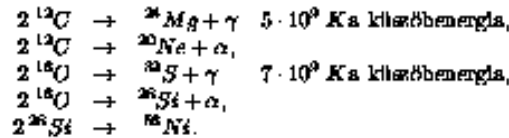


A  ${}^8_4Be$  gyorsan elbomlik, de ha azalatt míg létezik a mag, befog egy  $\alpha$ -t,  $T = 10^6 K$ -nek megfelelő energánál,  ${}^{12}_6C$  alakulhat ki.



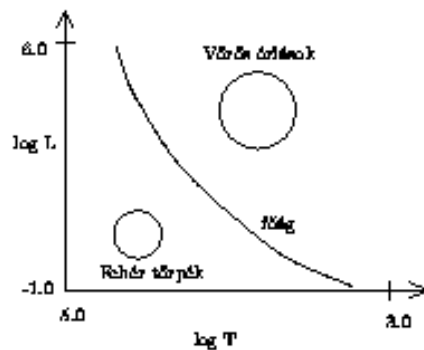
Magasabb hőmérsékleten  $\alpha$  és  $\beta$  befogás, esetleg  $\beta$  bomlás: az elemek lassan kialakulnak a vasig.

- *További fontos magreakciók*



## 6.4 A csillagfejlődés menete

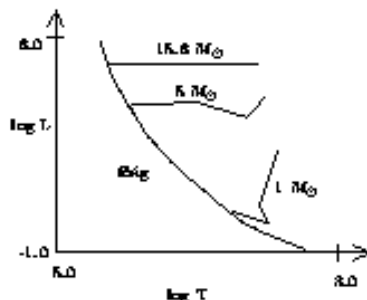
Az ismert csillagokat hőmérsékletük és kislugárzott energiájuk függvényében egy síkron ábrázolhatjuk: ez az ún. Hertzsprung-Russell diagram.



A legtöbb csillag egy vastag meghatározott vonalon található: ezeket a csillagokat nevezzük főág menti csillagoknak. Ezenkívül még két tartományban találhatóak nagyobb számban csillagok: a vörös óriás ill. a fehér törpe tartományban. A diagram többi részén viszonylag kevés csillag helyezkedik el. A H-R diagram megérthető a csillagfejlődés lefolyásának ismeretében. A következőkben röviden ennek a főbb vonásait tekintjük át.

A csillagok fejlődésének kezdeti szakaszában még nem elég magas ahhoz a hőmérséklet, hogy magreakciók végbemenjenek. Ilyenkor a kicsit meleg csillag sugárzás energiavesztését csak a kontrakció során felszabaduló gravitációs energia pótolja. A viriál tétel értelmében a kontrakció során a felszabadult energia fele a csillag hőmérsékletét növeli. A megnövelt hőmérsékletű gáz nyomása képes csak a növekvő gravitációs nyomást ellensúlyozni. Ahogy nő a hőmérséklet, nő a kislugárzott energia, így az azt fedező kontrakció is gyorsul. Ha a hőmérsékletet eléri a  $10^7$  K-ot, a csillagok közepében beindulnak a magreakciók.

A kezdeti kontrakció stádiumban a csillag összehúzóódik, így az effektív hőmérséklete növekszik. A kislugárzott energia mennyisége függ attól, hogy milyen mechanizmus juttatja a felszabadult energiát a felületre: sugárzás vagy konvektív vezetés, azaz a csillaganyag egyes rézszeinek mozgása. A konvektív vezetés hatásosabb, ilyenkor a csillag több energiát sugároz ki, mint sugárzás vezetésénél. Kezdeti stádiumban a csillagok konvektívok, amintán sugárzóvá válnak, a csillag tömegétől függően. A csillag a jobb felső vagy középső sarokból a bal alsó vagy középső rész felé vándorol, tömegétől függően bejut a főágba. A következő ábrán ezek a folyamatok láthatóak.



A  ${}^1\text{H} \rightarrow {}^4\text{He}$  égés lassan megy végbe a csillagokban. Mialatt a kisugárzott energia a magreakciók során felszabadult energiával pótlódik, gravitációs kontrakción nincs szükség, a csillag hőmérséklete és a kisugárzott energiámenysége állandó, a csillag a HR diagramon a helyén marad. A hidrogént égető csillagok alkotják a főágot. A főágban azért van olyan sok csillag, mert ez a csillagfejlődés leghosszabb szakasza. Nap nagyságú csillagok  $10^{10}$  évig égetik a középen levő hidrogén készletüket, 10-szer nagyobb csillagoknál a kontrakció során a hőmérséklet magasabb lett, ezért ezekben egy-másfél nagyságrenddel gyorsabban szájlik le a hidrogénégés, de minden csillagnál ez a folyamat 1-3 nagyságrenddel tovább tart, mint a fejlődés bármelyik másik szakasza.

Ha a csillag középen a hidrogénkészlet kimerült, a csillag energiavesztését megint csak gravitációs kontrakcióval tudja pótolni. A kontrakció során megint emelkedik a centrális hőmérséklet. Ha a csillag hőmérséklete eléri a  $10^8$  K°-t, a hélium égető reakciók is beindulnak. Ismételt gravitációs kontrakció, illetve magreakciók révén a csillag eljuthat egy olyan stádiumba, amikor a középen levő elemek mind vas körüli elemek. Újabb magreakciók ekkor már nem jelent energianyereséget, ugyanakkor a csillag hőmérséklete  $10^9 - 10^{10}$  K° körülré válik. A csillag elérkezett egy olyan fejlődési ponthoz, amikor a békés fejlődést jelentő egyensúlyi elvek nem tudnak érvényesülni; valand katastrófa kell, hogy bekövetkezzen.

## 6.5 A csillagfejlődés végállapotai

### 6.5.1 Fehér törpék kialakulása

Nem minden csillag jut el abba a stádiumba, amikor a csillagtörzsben levő elemek mind vas körüli elemek: közl csillagokat ebben megalkodályozhat a csillaganyagban levő degenerált elektronégás. Az elektronégás szerepével eddig nem tilásgosan sokat foglalkoztunk a csillagfejlődés során. Nyilvánvaló azonban, hogy az elektronégás szerepe a gásonyomás kialakulásánál nagy, hiszen a nyomás  $1/m$ -nel arányos. Ahogy a protonok egyre nehezebb elemekké tömörülnek, a barionokból álló részek száma csökken, míg az elektronok száma változatlan marad, azaz az elektronok szerepe a nyomás kialakulásánál egyre jelentősebb.

Egy rendszer akkor válik teljesen degenerálttá, ha egy bizonyos kritikusérték alatt minden állapot be van töltve a rendszerben. Minél kisebb egy részecske, a kvantummechanika határoztalanság reláció értelmében annál nagyobb az impulzus bizonytalansága, azaz annál nagyobb a férlacella, amit elfoglal. Egy kritikus és egy degenerált gáz nyomása akkor lesz egyenlő, ha

$$p = \frac{h}{m} \rho T = c_1 \frac{\rho^{\frac{5}{3}}}{m^{\frac{5}{3}}},$$

azaz

$$\rho \sim m^{\frac{3}{5}}.$$

Minél kisebb a részecske tömege, annál kisebb az a sűrűségérték, ahol a gáz degenerálttá válik. Egy degenerált gáz nyomása és így belső energiája nem a hőmérséklettel függ, hanem a sűrűséggel. Vagyis ha az elektronégás degenerálódott, a gravitációs kontrakció nem a hőmérsékletet növeli, hanem a nyomást. Ez azt jelenti, hogy ilyenkor újabb magreakciók beindítására nem lesz a hőmérséklet elég nagy.



Az elmondottak alapján világos a kis csillagok fejlődésének a végállapota. Ha a csillag kicsi, a gravitációs kontrakció során hamar degenerálttá válik az elektronégés, további magreakció ilyenkor nem következik be, a rendszer lassan eszigorodik. A eszigorodás csak egy kritikus értékig tarthat, a gásonyomás a további kontrakciót megakadályozza. Mivel további energiateljesítményre nem mennek végbe a csillag lassan lehűl. A degenerált gáz sugárzása jóval kevésbé intenzív, mint az ideális gázé, a sugárzás során elektronátmenetek nem következhetnek be, mert az elektrópályák mind be vannak töltve. Ezek a kicsi, fehér, lassan piálakoló égitestek a fehér törpék.

A hogy a csillagban középen kifogy a hidrogénanyag, a külső rétegek a középső felé kontrahálódnak, miközben megnő a csillag hőmérséklete és nagy lesz a sugárnyomás. A nagy sugárnyomás felfújja a csillagot, nagy méretű lesz, miközben a külső rétegek hőmérséklete leszökken. Az ilyen csillagok a sok energiateljesítményű, de kis felületű vagy effektív hőmérsékletű vörös vagy fehér óriások, amelyek a HR diagram jobb felső sarkában helyezkednek el. Ha további magreakciók nem indulnak be, a csillag lassan eszigorodik, azaz a felületi hőmérséklete a nagy sűrűsége miatt megnő, mincesek hideg felületű óriások, ugyanakkor a kisugárzott energia leszökken, a csillag fehér törpévé válik. A fehér törpék a HR diagram bal alsó sarkában helyezkednek el.

Körülbelül az  $M < 10 M_{\odot}$  könnyű csillagok válnak fehér törpévé, azaz jelenlegi tudásunk szerint a Nap is egyszer fehér törpe lesz majd. Körülbelül 5 milliárd évig tart még a Napban a centrális hélium égés, ezalatt a Föld átlaghőmérséklete egféjebb  $20^{\circ}\text{C}$ -ot növekszik. Ezután gravitációs kontrakció következik be majd, amelynek során a Föld átlaghőmérséklete becslések szerint  $800^{\circ}\text{C}$ -ra emelkedik, majd kb. 10-100 millió évig tart a külsőbb rétegek hidrogénjének ill. a centrális héliumnak az égése. Valószínűleg további magreakciók nem indulnak be a Napban, a Nap (és a Föld légköre is) lassan kihűl, egykivé válik a jelentéktelen és nagy számú fehér törpéknek.

A körülbelül tízszeres Naptömegnél nagyobb csillagok középe mai elméletünk szerint teljesen vagy részlegesen vasból alakulhat át. További energianyereség most már magreakciók révén nem lehetséges, a hatalmas,  $10^9$  fok hőmérsékletnek megfelelő kisugárzott energiateljesítményt csak a gravitációs kontrakció fedezheti. A legkülső rétegek ilyenkor szinte szabadon esnek a csillag belsője felé, minden egymással felborul. A külső rétegek még könnyű elemekből állnak, ezek a forró centrumba beérkezve magátalakulásokban vesznek részt. A korábban milliárd évekig tartó folyamatok itt pillanatok alatt befejeződnek, és lehetetlen nagy energiamennyiség szabadul fel. A rendkívül nagyenergiájú részecskék és fotonok a legkülönbözőbb magreakciókban vesznek részt; minden lehetséges izotóp kialakul. Ez az a műhely, ahol a nehéz elemek keletkeznek.

Most már két energiateljesítmény mechanizmus is van a csillagban: a nehéz elemek kialakulása és a sugárzás. További gravitációs kontrakció következik be. A középpontban hatalmas mennyiségű nagyenergiájú neutrínó, antineutrínó sugárzás keletkezik, elsősorban párteltés révén. Ezek a külső rétegekben elnyelődnek, energiateljesítményt átadják az anyagnak. A nagy mennyiségű kivitt energia hatására a csillag felrobban. Ezt a folyamatot nevezzük szupernova robbanásnak.

Szupernova-robbanás során a csillagnak akár 80-90 %-a is kirepülhet a világűrbe. A visszamaradó csillag maganyag sűrűségi rendszere, antelsősorban neutronokból áll. Az elektronok kinetikus energiája ugyanis a Pauli elv értelmében olyan nagy, hogy energetikailag kedvezőbb egy elektronnak és protonnak neutron állapotba menni át. A neutroncsillagban neutronok protonok neutronná alakulnak át, így a fellépő neutrínók miatt a csillagok hamar elvesztik hőenergiájuk nagy részét, és  $10^8$  K alá hűlnek le, és nem tudjuk őket direkt módon megfigyelni. Mivel az utóbbi években megfigyelt pulsáló rádiócsillagok (pulsárok) valójában neutron csillagok, közvetett módon megfigyelhetők.

Ha a neutroncsillag tömege egy kritikus méret alatt van, a csillaganyag nyomása és a gravitációs nyomás egyensúlyt tart; a csillag stabilis. A neutroncsillag a csillagfejlődés egy másik végállapota. A kritikus méret meghatározása nehéz feladat, függ a nagy sűrűségű nukleonok közötti ható erőkétől, a neutrínó kilépések gyakoriságától, stb. A kritikus méret 1-3 Naptömeg között változik a számításoktól függően. Ez azt jelenti, hogy akár 10-25 Naptömeg nagyságú csillagok végállapota még mindig neutroncsillag. Egy dolog azonban világos: van egy olyan kritikus méret, annél nagyobb csillagnak

nincs stabilis végállapota, a csillag menthetetlenül egyre jobban kontrahálódik, míg gravitációs sugarán belül kerül. A csillagfejlődés ezen harmadik végállapotáról, a fekete lyukról fotonok révén nem nyerhetünk információt, ugyanis az elektromágneses sugárzás útja olyan görbült, hogy ezek nem tudnak a fekete lyukból kijönni. Ezeket a csillagokat legfeljebb csak nagy gravitációs terük segítségével figyelhetjük meg.

### 6.5.2 Szupernova robbanás

A szupernova robbanás az Univerzum lelátványosabb jelensége. A kibocsátott energia a robbanás során  $\sim 10^{53}$  erg, aminek a sugárzások (minden hullámhossztartományban) csak kb. 1%-t veszik el. Ennél tízszer nagyobb a szétvetett anyag kinetikus energiája, és százszor nagyobb a neutrínók által elvitt energia. A robbanás során felszabadult energia fényesebbé tehet egy csillagot, mint az egész galaktika. Néhány hónap alatt a felrobbant csillag több fényt sugároz ki, mint a Nap öt milliárd év alatt. Évente mintegy 10 szupernova robbanást figyelnek meg a köznyelvi galaxisekben. A Tejútrendszerben valószínűleg 50 évente van egy robbanás, ennek ml csak kis részét tudjuk megfigyelni. Nagyon fontos az 1054-ben kimal csillagászok által megfigyelt Rák-kövi robbanás. Mintegy 10000 évvel ezelőtt robbant a Vela, ami egy másodikké Nap fényességű objektum megjelenését jelentette.

A szupernova robbanásokat két nagy csoportra osztják, I és II típusú robbanás csoportjába. Ezeknek több alcsoportja van. Az eredeti megkülönböztetés annak aklótt, hogy az I. típusú szupernovákban nem volt található hidrogén vonal, míg a II. típusban igen. Ma már tudjuk, hogy a fejlődésük egészen más.

#### I.a típusú szupernova

Eredetileg binár rendszerben létező fehér törpe. A csillag magához vonz a partnertől anyagot, és eközben tömege a kritikus tömeg felé nő (a kritikus érték  $1.4 M_{\odot}$ , az a tömeg amivel egy degenerált elektronégység egyensúlyt képes tartani). Amikor ez bekövetkezik, gravitációs kontraháció megy végbe, a csillag anyaga rendkívül mértékben felmelegszik, felmelegedés során vas kerül elemek alakulnak ki, utána lassan robban a rendszer (detonáció, nem explózió). Robbanás után csillag egész anyaga szétmegy, nem marad vissza neutroncsillag. Fehér törpében nincs hidrogén, érthető hogy H színképvonal nincs. A csillag felülete kicsi, nagyon fényes a robbanás, egy nagyságrénddel fényesebb, mint a II. típusé. Az I. típusú szupernova robbanások 80%-a ilyen, 20% azok más alcsoportra oszlik, ezekről most nem beszélünk. Az I.a típusú szupernova robbanások távolság mérésére alkalmazhatóak.

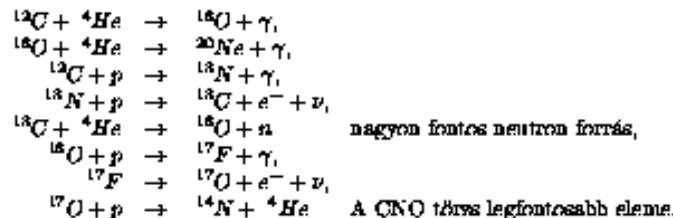
#### II. típusú szupernova

Sokkal drámább, és fizikailag is érdekesebb. Három részre tagolható folyamat: *pre-szupernova kialakulás, kollapszus és robbanás*.

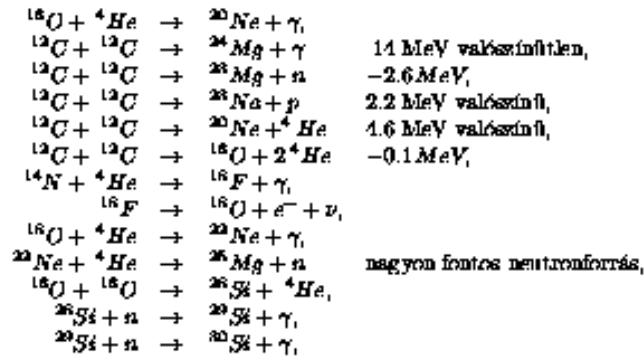
##### a) Pre-szupernova fejlődés, elemek kialakulása

Ha a csillag elég nagy volt, ahhoz, hogy a törpe úgy alakulhasson át vas körüli elemekké, hogy közben az elektronégység nem degenerálódik, a csillag savartalanul fejlődhet, újabb héjakat égetve, vas körüli atommagokká. E egészben fontos kiakbság, hogy most a neutronok és protonok száma átván megegyezik. Ez nagyon meggyorsítja a magreakciókat.

Legfontosabb magreakciók amik lejátszódnak:

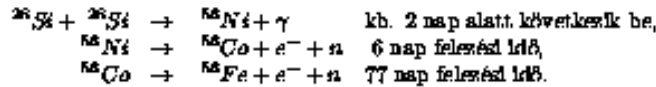


További égések a felssabacholó energiával:



de ugyanakkor S is könnyen elbomlik könnyebb elemekre He, n, p kibocsátásával. Ezeket a maradék S-i-k befogják, és kialakul az  ${}^{56}\text{Ni}$ .

Robbanó S-i égésnél, ami az összeszokkolt héj mögött közvetlenül szomszédos rétegben megy végbe, kialakulhat közvetlenül is:



*Nehéz elemek kialakulása*

#### s-folyamat

Neutronok találhatók csillagban, ezek probléma nélkül befogódnak magokba. n befogás után béta bomlás is bekövetkezhet, ennek révén a csillagfejlődés utolsó stádiumában, amikor már a vas körül magokon fogódnak be a neutron, kialakul az összes nehéz elem. Ezt a folyamatot nevezzük s folyamatnak (lassú, slow n befogás)

#### r-folyamat

A robbanó folyamatokban nagy neutron sűrűséget kapunk, hiszen itt neutronos magok széttesnek. Ekkor neutrongazdag stabil izotópok alakulnak ki, héjszerkeszetet is figyelembe véve, hiszen a magikus neutronszámú magok kialakulásának valószínűsége nagy. Meteoritokból lehet következtetni valószínűségekre, nagyon jó egyezések, pl. után körül elemekre.

Presupernovában a helyzet nem kaotikus, a rendszer a nagyobb rend felé halad. H csillagban minden rész *tetszőlegesen* mozoghat, egy nukleonra eső entrópia 15. Vastörzsben 56 nukleon együtt mozog, entrópia 1. Különbőséget neutrínók és fotonok vitték el.

#### b) Kollapszus

Amikor a csillag törvise vas körül elemekből áll, további fűtés energia nyereség nem lehet, gravitációs kontrakció történik. 18-20  $M_{\odot}$  tömegű kezdeti csillagnál a vastörzs 1.4  $M_{\odot}$  körül tömegű, törvise nyomás nem tud egyensúlyt tartani gravitációs nyomással (Chandrasekhar limit kb. 0.7  $M_{\odot}$ ), 0.1 sec alatt kollapszus. Gravitáció miatt a törvise felmelegszik, de ez nem csökkenti kollapszust, sőt ellenkezőleg. Ok: A törvise nyomását elsősorban az elektronok száma és energiája szabja meg. Kollapszuskor a vasmagok kis része felbomlik, andhez energia kell, ezáltal csökken részecskék átlagenergiája. Másrészt  $p + e^-$  neutronná alakul, neutrínók lépnek ki, ezek elvisznek energiát, és csökken a relativisztikus elektronszám. Mindez még elősegíti kollapszust.

Az elektron befogódás folytatódhatna, ha a neutrínók tetszés szerint kimehetnének a törviseből. Ha a törvise sűrűsége  $1 \cdot 10^{11} \frac{\text{g}}{\text{cm}^3}$  less, a neutrínók bennragadnak az anyagban, szóródnak a magokon. Amikor a rendszer sűrűsége eléri a  $2 \cdot 10^{12} \frac{\text{g}}{\text{cm}^3}$ -t, az elektronokon is szóródnak. Ezután elektronok száma sem csökken, egyensúly áll be. Az elektronok nukleonokhoz való aránya egyensúlyban kb. 0.39.

A kollapszus első része véget ér.

Az összehúzóítás még tart tovább, de elektron szám már nem csökken. Kollapszus második része akkor ér véget, amikor sűrűség eléri a maganyag néhányssorosát. Magok ilyenkor szétolvadnak, maganyag keletkezik. Anyag nem tud tovább összenyomódni, ellenállás keletkezik, ez végül lökéshullámot jelent. A lökéshullám meghatározásához fontos a maganyag állapotegyenlete, azaz a  $P(\rho)$  függvény meghatározása. Az állapotegyenlet magfűléssel ismeretekből alapállapotban:

$$\frac{E}{A} = \alpha \rho^{\frac{2}{3}} - \beta \rho + \gamma \rho^{\sigma-1}.$$

Ebből adott hőmérsékleten meghatározható  $P(\rho, T)$

További sűrűségnövekedéssel szemben ez akkor tasztó, ha

$$P \sim \rho \frac{d^2 E}{d\rho^2}, \quad \frac{dP}{d\rho} < 0, \quad \frac{2}{9} \alpha \rho^{\frac{2}{3}} > \sigma(\sigma+1) \gamma \rho^{\sigma-1}.$$

### c) Robbanás

Amikor az anyagsűrűség maganyagénál nagyobb, és nem nyomható tovább össze, a nyomás megnő, és a befele esés sebessége leáll. Nyomás-hullámok terjednek kifelé, egészen a törzs széléig. Felület közelében lelassulnak, mert szembe találkoznak beeső anyaggal, majd megállnak, és az újabb hullámok eléri az elsőket, nyomást okozva. Nyomás csökkenő anyag beesését. Hullámfront mögött anyag sűrűsége nagyobb lesz, mint hullám által el nem ért térrészben, adiabaticusan összenyomott állapotba kerül, megnő a hőmérséklete, nagyobb a nyomás mint hullám előtt. Később behúzó hullámok nyomása még nagyobb, egyre jobban utólerik korábbi nyomás-hullámokat, hullámfront meredekké válik, sebességben azokadása következik be: lökéshullám keletkezik.

Lökéshullám a vastörzs közepében, kb.  $0.7 M_{\odot}$ -nál keletkezik.

Nyomás-hullám nem okoz állandó változást a közegben, lökéshullám igen. Nagy változás sűrűségben stb., visd ki magával anyagot. Sebességet nem a közeg határozza meg, mint hanghullámnál, hanem hullám energiája. Lökéshullám  $30 - 50\,000 \frac{\text{km}}{\text{s}}$  sebességgel halad kifelé. Prompt lökéshullám nem jut ki csillag felületére, már a törzs felületére érve elveszt energiáját, lelassul. Ok: a nagy diffrakciójú, energiát visz el, hőmérséklet és nyomás csökken. Ekkor  $p + n \rightarrow e^- + \nu$  folyamat is fellép, kisebb sűrűségben neutrínók már kimehetnek, ez is elvisz energiát. A nyomás-hullám  $300-500 \text{ km-ig}$  kijut csillaganyagba. Mal névet szerint lökéshullámot a neutrínók indítják újra.

Vissamaradt neutroncsillag lehetetlen nagy energiájú, energiáját neutrínók viszik el. Ezek nagy-részt kijutnak rendszerből, de kb  $100 \text{ km-re}$  a centrumtól még minden eszerdik ütközik az anyaggal, nagy energiát adva át az atommagoknak. Nagy entrópiát adnak át a rendszernek, kisebb entrópiát kiond, nagy entrópiá gradiens konvekción okoz, meleg anyag kióndul. Ez a kiónuló anyag a lökésfrontnak nagy energiát ad át.

$500-3000 \text{ km}$  közötti lökés felmelegíti anyagot, robbanásos magmakrók keletkeznek, itt jön létre az  $^{56}\text{Ni}$ .  $3000 \text{ km}$  után már szabadon kijut a lökés a felületre, és magával visze a nagy energiát, szétrobbantja csillagot. Szupernova robbanás láthatóvá válik.

### d) Az 1987-es szupernova robbanás

A Nagy Magellán Közfénben,  $160\,000$  fényévnyre, egy  $18 M_{\odot}$ -fi kék csillag robbant fel.

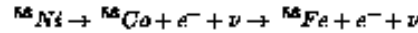
Történet:

- Első információt a  $\nu$ -k hozták,  $\nu$  burst, 12 ill. 8-10 sec-on belül (függetlenül energiától  $\rightarrow 20 \text{ eV}$  tömeg),
- Két órával később nem látható, három órával később igen.
- Először intenzív UV, mire megfigyellik, halványodik.
- Lassú felfényesedés láthatóiban 2 hónapig, aztán halványodás.

- 5 hónap után megjelenik röntgen és  $\gamma$  sugárzás.
- háló sugárzás korábban kilökött, felmelegített burokból.
- 2 év után pulzáló jel, 2000/s, de eltűnik.

Az elméletet igazolja:

- $\nu$  kilépése a neutroncsillag kialakulását bizonyítja. Ennek tömege  $1.4 M_{\odot}$ ,  $10^{53}$  erg energiát visznek el. Ennek töredéke kinetikus energia, százada fényenergiaként szabadul fel.
- UV sugarak bizonyítják a nagyenergiájú lökéshullámot.
- Fényesség gyengülése 77 nap felezési idejű, a



folymatnak megfelelően.

- Átláthatóság 5500 foknál, rekombináció, nincs  $e^{-}$  anélkül  $\nu$  nélkülözhető.
- Mikorra a külső réteg elvékonyodik, megjelenik röntgen és  $\gamma$  sugárzás, és a többi elem is. Az elemgyakoriság a várt.

Érthetetlen:

- Miért két óráig a csillag? (Kiseb csillag kevésbé fényes)
- Hol a pulzár? A kialakult neutron csillaggal mit lett?

## 6.6 Neutroncsillag

A szupernova robbanás után visszamaradt csillag neutroncsillag vagy fekete lyuk.

A neutroncsillag maximális tömege relativisztikus degenerált rendszert egyenletéből:

$$m(r) = \int_0^r d^3r \rho(r)$$

és az Oppenheimer Volkoff egyenlet. (a hidrosztatikai egyensúly relativisztikus általánosítása)

$$\frac{dp(r)}{dr} = -G \frac{(\rho(r) + \frac{p(r)}{c^2})(m(r) + \frac{4\pi r^3}{3} \frac{p(r)}{c^2})}{r^2 (1 - \frac{2Gm(r)}{rc^2})}$$

(nem relativisztikus esetre  $\frac{dp(r)}{dr} = -G \frac{m(r)\rho(r)}{r^2}$ ).

A csillag hőmérséklete alacsony,  $\nu$ -k elviselik az energiát.



Az állapotegyenletet kell meghatározni.

### 6.6.1 A neutroncsillag szerkezete

1. Külső héj: ráciban elhelyezkedő magok és elektronok  $10^4 < \rho < 1.3 \cdot 10^{11} \frac{\text{g}}{\text{cm}^3}$  sűrűségénél. Az energiasűrűség  $W$ :

$$W = n_n \epsilon_n + n_N (\epsilon_N + \epsilon_Z), \quad \epsilon_n = \frac{3}{5} \int_0^{p_F} p^2 dp \sqrt{p^2 c^2 + m_n^2 c^4}.$$

Itt a rácenergia:

$$\epsilon_Z = -\frac{0.89Z^2 e^2}{r_n}, \quad \epsilon_N = Z m_p c^2 + (A - Z) m_n c^2 - B(A, Z).$$

A csillag elektronosan semleges, ezért  $n_n = Z n_N$ . Adott  $n_N = A n_N$  barionsűrűség mellett  $W$ -t minimalizálni kell. Feltételek:  $\beta$  bomlással szembeni stabilitás:  $\frac{\partial W}{\partial Z} = 0$ .

Legkedvezőbb atommagok kialakulása:  $\frac{\partial W}{\partial A} = 0$ .

2. Belső héj:  $1.3 \cdot 10^{11} < \rho < 2 \cdot 10^{14} \frac{g}{cm^3}$ .

A neutrondús atommagokból a neutronok kicszelegnek:

$$W = n_n e_n + (1 - V_N n_N) p_n e_n + n_N (e_N + e), \quad n_N = n_n (1 - V_N n_N) + n_A A, \quad n_n = Z n_N$$

Itt  $e_n$  a kilőző neutronok energiája,  $V_N$  az egy mag által elfoglalt térfogat,  $n_n$  a kilőző neutronok sűrűsége.

Feltételek:  $\beta$  bomlással szembeni stabilitás:

$$\frac{dW}{dZ} = 0 \Rightarrow \mu_n = \frac{\partial(n_n e_n)}{\partial n_n} = -\frac{\partial(e_N + e)}{\partial Z}.$$

A neutronok kéndal potenciálja megegyezik a magon belül és a magon kívül:

$$\mu_n(\text{mag}) = \mu_n(\text{gáz}), \quad \frac{dW}{dn_n} = 0, \quad \frac{\partial}{\partial A}(e_N + e) = \frac{\partial}{\partial \mu_n}(p_n e_n).$$

A nyomásegyensúly átalakítás után:

$$p(\text{mag}) = -\frac{\partial}{\partial V_N}(e_N + e), \quad p(\text{gáz}) = n_n^2 \frac{\partial e_n}{\partial n_n}.$$

Az egy nukleára eső kötés energiája minimumális:

$$\frac{\partial W}{\partial A} = 0, \quad \frac{\partial}{\partial A} \frac{e_N + e}{A} = 0.$$

A teljes nyomás  $p = p_n + p_p + p_e$ , ahol  $p_n = n_n^2 \frac{\partial e_n}{\partial n_n}$ ,  $p_p = n_p^2 \frac{\partial e_p}{\partial n_p}$ ,  $p_e = n_e^2 \frac{\partial e_e}{\partial n_e}$ , és az atommagok energiája most függ a kilőző neutron gástól:

$$e_N = e_N(\mu_n, A, Z).$$

Ahogy nő a sűrűség, nő a szabad neutronok energiája, nő a nyomás neutrongástól származó járuléka.  $\rho$  es  $10^{12} \frac{g}{cm^3} - p_n$  es  $0.2 p$ ;  $\rho$  es  $10^{13} \frac{g}{cm^3} - p_n$  es  $0.8 p$ . Kb. maganyag sűrűségénél kisebb rendszer.

3.  $n, p, e^-$  anyag:  $\rho \sim 10^{12} \frac{g}{cm^3} \quad p_n \sim 0.2 p, \quad \rho \sim 10^{13} \frac{g}{cm^3} \quad p_n \sim 0.8 p$

$$2 \cdot 10^{14} \frac{g}{cm^3} < \rho < 5 \cdot 10^{14} \frac{g}{cm^3}$$

$$\mu_n = \mu_p + \mu_e$$

Maganyagon belül a n p rendszer szuperfolyékony.

4. Centrum:

Lehet: kvark-gluon plazma  
hiperonszllag  
megszllárvult neutron gáz (sűrűségtől függ).

Tetszőleges centrális sűrűségtől kiindulva kiszámíthatjuk a neutroncszllag tömegét. Az állapotegyenlet szerepe fontos a stabilitás szempontjából, főleg a kompresszibilitás, attól függ a maximális tömeg. A legtöbb számítás lágy állapotegyenletet akar, belezátszhat kaon kondenzáció:  $e^- \rightarrow K^- + \nu$ , stb. Ezekből meghatározható a neutroncszllag tömege. A stabilitás felső határa általában  $1.4-1.5 M_\odot$ -nek adózik.

Lehet, hogy a meleg neutroncszllag kevésbé stabilis, mint a lehült, így fekete lyuk már kisebb tömegnél keletkezhet.

Tetszés szerint  $\rho = \rho_C$  értékből kiindulva, az állapotegyenlet és az Oppenheimer-Volkoff egyenlet felhasználásával  $p(r)$  és  $\rho(r)$  meghatározható:

$$M(r) = \int_0^r \rho(r') d^3 r', \quad M = M(\rho_C).$$

## 6.6.2 A neutroncsillag megfigyelési lehetőségek

## a) Pulsárok

$10^{12}$  gauss mágneses tér, rotációs és mágneses tengely nem egyezik meg. A mágneses tér irányában kibökődik az anyag: szinkrotron sugárzás.

Megfigyelések:

1. Periódus illetve pulzusidő  $\rightarrow$   $M$  és  $R$  ebből meghatározható.
2. Lassulás idő (megjósolták)

$$E_{\text{rot}} = \frac{1}{2} \Theta \Omega^2, \quad \dot{E} = \Omega \dot{\Theta} \Omega = \frac{\Omega^3 \dot{\Theta}}{T}$$

$T = \frac{2\pi}{\Omega}$  a lassulás,  $\Theta$  a tehetetlenségi nyomaték,  $\Omega$  a szögsebesség.

Rák-kékre:  $\Theta \approx (1.9 \pm 3.9) 10^{14} \frac{\text{g cm}^2}{\text{cm}^3}$ ,  $M \approx (1.1 \pm 0.8) M_{\odot}$ .

## 3. Felgyorsulás.

Ökocillagréngés.

$$\Omega(\dot{t}) = \Omega(\dot{x}) + (\Delta\Omega_0)(Qe^{-\dot{t}} + 1 - Q)$$

Belső szerkezetre lehet következtetni.

## 4. Felgyorsulás gyakorisága: Más a Vela és a Rák-kék esetén.

$$\frac{\Delta\Omega}{\Omega} \approx \begin{cases} 10^{-4} & \text{Vela} \\ 10^{-6} & \text{Rák} \end{cases}$$

Szerkezet, belső feszültség más.

## b) Pulsári kettőscsillagok:

Her X-1,  $M=1.33 M_{\odot}$

Röntgenpulsációs periódus 1.24 s

Blnér forgás 1.7 nap, látható a partner mozgásából. Relatívisztikus precessió 35 nap.

Pulsáció oka: anyag beáramlás partnertől, felmelegszik 10 millió fokra. Röntgen sugárzás.

Az akkréció 15-60-szor annyi energiát szabadít fel, mint a H fűtő. A kvarár energiája is innen van.

Vannak más pulsárok, ahol a beeső anyag felgyorsítja a forgást. (600/s).

A fekete lyuk összenyomja a mágneses teret, nem lehet pulsár.

Blnér rendszerben lehet röntgen pulsár vagy birst. A pulsár fiatal, nagy tömegű, partnere kék csillag, a másik öreg. Utóbbi lehet I típusú szupernova eredménye. Mágneses térenesség különböző. 59 ms pulsár és partner tömege mindkégy kb.  $1.4 M_{\odot}$ .

Gravitációs hullámokra mérés lehetősége: ismerve a két tömeget, a blnér pulsár periódusa 75 mikrosec-mal kell hogy csökkenjen évente. Mérés:  $76 \pm 2$  ms. Mérések oka: pulzus periódus (nem orbitális) évente 0.25 ns. 50000-szer kisebb mint a Rák-kéké.

Blnér rádió pulsárok is vannak. A partner fehértörpe vagy neutroncsillag, valaha röntgen blnér volt, előbb felgyorsult. Van egyedülálló is. 1.56 ms, 10000-szer gyengébb mágneses tér. Partner elszakadt.

## 7. Fejezet

# Kozmológia

Newton program: mozgásegyenlet és kezdeti feltétel:

$$\frac{dy}{dt} = F(y), \quad y(0) = a.$$

A kezdeti feltétel speciális, ehelyett állandó Univerzum feltevés. A mozgásegyenletek egyensúlyi megoldásait kell keresni!

$$F(y_0) = 0, \quad \frac{dy}{dt} = 0.$$

A legfontosabb paradoxonok:

1. Clausius-hőhalál. Minden intenzitásparaméter kiegyenlítődik, kémiai és termodinamikai egyensúly. Ma nincs!
2. Seeliger paradoxon: Ha gravitációs terek, erő, gyorsulás.

$$\nabla^2 \Phi = 4\pi G \rho.$$

Az egyenletnek statikus megoldása csak  $v=0$  esetén van. Még Einstein is keresett ilyet.

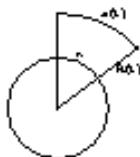
### 7.1 A modern kozmológia kezdetei

1. Friedman: mozgásegyenletnek nincs statikus megoldása. Vagy összehúzódik, vagy tágul az Univerzum.
2. 1929. Hubble törvény: az Univerzum minden irányban egyenletesen tágul. (A tágulás megoldja hőhalál problémát)
3. Fekete test sugárzás.  $T=2.75$  K-nak megfelelő háttérsugárzás van. Meglepően egyenletes.

1. és 2. következménye:

Tegyük fel egy homogén isotróp Univerzum létezését. (nagy skálán ez igaz). Ekkor

$$\sigma(t) = aR(t), \quad v(t) = a\dot{R}(t).$$



$a$  állandó vetített távolság

$$v(t) = \frac{\dot{\sigma}(t)}{\sigma(t)} \sigma(t) = H(t) \sigma(t), \\ H(t_{\text{ma}}} = H_0.$$



Hubble törvény:

$$v = H_0 r.$$

Távolodás során vöröseltolódás. A Wien féle eltolódás törvény szerint :

$$\lambda_{\max} \sim T^{-1},$$

de az effélekből

$$\lambda \sim R(t)$$

és így a hőmérséklet

$$T \sim R(t)^{-1}.$$

Doppler effektus van a távolodás miatt, a hullámhossz változik:

$$\frac{\lambda_0}{\lambda_a} - 1 = z, \quad \frac{\lambda_0}{\lambda_1} = \frac{R(t_0)}{R(t_1)}$$

Itt  $\lambda_a$  a kibocsátott hullámhossz  $\lambda_0$  a mért  $t_0$  időben.

A  $z$  Doppler eltolás arányos távolsággal. Ebből az Univerzum kora meghatározható, amikor távolságok képződtek.

$$H_0 = \frac{9.78}{h} 10^9 \text{ év}, \quad t = H_0^{-1}, \quad 0.1 \leq h \leq 1.$$

A fekete test sugárzás energiasűrűsége :

$$\rho(t) = aT^4.$$

A hőmérséklet, mint láttuk  $T \sim R(t)^{-1}$  így a sugárzás energiasűrűsége:

$$\rho_r \sim R(t)^{-4},$$

míg az anyagé:

$$\rho_m \sim R(t)^{-3}.$$

Ma jóval kisebb sugárzás sűrűsége, mint anyagé, valaha nagyobb volt. A korai időkben a sugárzás dominált.

## 7.2 A newtoni Univerzum fejlődése

A gravitációs erő

$$F = \frac{GMm}{r^2}, \quad M = \frac{4\pi}{3} r^3 \rho.$$

A teljes energia

$$E_{\text{tot}} = \frac{1}{2}mv^2 - \frac{GMm}{r} = \frac{1}{2}mv^2 \left[ H(t)^2 - \frac{8\pi}{3}G\rho \right] \leq 0.$$

Az energia negatív illetve pozitív értéke meghatározza az Univerzum tágulását. A kritikus sűrűség:

$$\rho_{\text{krit}} = \frac{3H^2}{8\pi G} \sim (1-16) \cdot 10^{-27} \frac{\text{kg}}{\text{cm}^3},$$

$$\Omega = \frac{\rho}{\rho_{\text{krit}}}.$$

(  $\rho_{\text{krit}} = 5 \frac{H_0^2 m}{m^3}$ , nagyon jó vákuumban  $2 \cdot 10^{11} \frac{\text{molékula}}{\text{m}^3}$  ).

Az energia átírható sebesség korábbi definíciójával. Bevezetve a  $h = -\frac{2E_{\text{tot}}}{mv^2}$  kifejezést:

$$k = R(\dot{t})^2 \left[ \frac{8\pi}{3} G \rho(t) - H^2(t) \right],$$

azaz  $m$ -tól és  $\kappa$ -tól független egyenletet kapunk. Ha  $k=0$ , a differenciál egyenlet könnyen megoldható. Ha az anyagsűrűség dominál:

$$\begin{aligned} \rho &\sim R^{-3}, & \frac{\dot{R}^2}{R^2} &= \frac{8\pi}{3} G \rho, & \dot{R} &\sim \frac{1}{R}, & R(t) &\sim t^{\frac{2}{3}}, \\ H(t) &= \frac{2}{3} \dot{t}, & \implies \tau &= \frac{3}{2} H_0, \end{aligned}$$

és megkaptuk  $R(t)$  időfüggését.

Sugárzásos esetben az egyenlet megoldása

$$\begin{aligned} \rho &\sim R^{-4}, & \frac{\dot{R}^2}{R^2} &\sim R^{-4}, & R(t) &\sim t^{\frac{1}{2}}, \\ \frac{\dot{\rho}}{\rho} &= -4 \frac{\dot{R}}{R} \sim \sqrt{\frac{8\pi}{3} G \rho}, & \rho(t) &= a T^{-4}. \end{aligned}$$

és a hőmérséklet időfüggése

$$T(t) \sim t^{-\frac{1}{2}}.$$

Az Unverzumi tágulás lassul, ugyanis

$$\begin{aligned} \dot{\rho} &= -3 \frac{\dot{R}}{R} \rho, \\ \dot{R} &= -\frac{GM}{R^2} = -\frac{4\pi}{3} G \rho(t) R(t). \end{aligned}$$

Az energiasűrűség  $e(t) = \rho(t)c^2$  és így a  $V(t) = V_0 R^3(t)$  térfogatban az energia:

$$E(t) \sim \rho(t)V(t).$$

A tágulás során a rendszer munkát végez:

$$dE = -p dV, \quad E = -3 \frac{\dot{R}}{R} \rho(t) V(t).$$

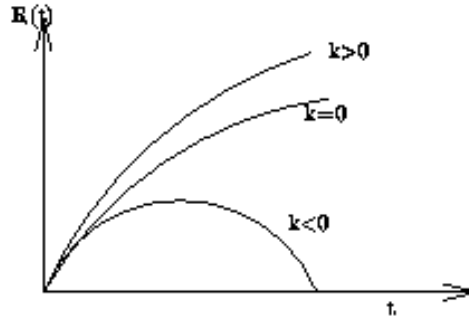
Ebből megkaphatjuk egy ideális gátra a sűrűség változását:

$$\begin{aligned} \rho dV + V d\rho &= -p dV, \\ \dot{\rho} &= -(\rho + p) \frac{\dot{V}}{V} = -3(\rho + p) \frac{\dot{R}}{R}, \\ \dot{\rho} &= -3 \frac{\dot{R}}{R} \rho, \\ \dot{R}^2 &= \frac{8\pi}{3} G \rho R^2, \\ 2\dot{R}\ddot{R} &= \frac{8\pi}{3} G (\dot{\rho} R^2 + 2R\dot{R}\rho), \\ \ddot{R} &= -\frac{4\pi}{3} G \rho(t) R(t). \end{aligned}$$

Az Einstein egyenleteket használva az első egyenlet, az az energianegmaradási írja le, változatlan.

$$\dot{R}(t)^2 = -k + \frac{8\pi}{3} G \rho R^2$$

$k$  különböző értékei a különböző tágulás módoknak (elliptikus, parabolikus, hiperbolikus) felelnek meg (hasznolva, mint a bolygómozgásnál a pályát).



A második egyenlet relativisztikus esetre módosul

$$\ddot{R} = -\frac{4\pi}{3}G(\rho + 3p)R,$$

ami

$$dE + p dV = 0$$

alakban írható egyszerű esetben. Ez az egyenlet az adiabaticus tágulást írja le. Ha a nyomás nem végtelen az energiasűrűséghez, azaz az energiasűrűség nem változik az energiasűrűséghez, azaz az energiasűrűség nem változik az energiasűrűséghez.

Az Univerzumban nincs energia megmaradása!

Ha  $R$  csökken,  $E$  és  $M$  nő.

$$M \sim \rho \sim \frac{1}{R^3},$$

$$E \sim M.$$

Finom egyensúly, nehéz létrehozni  $\frac{E_{kin}}{E_{pot}} \rightarrow 1 - \epsilon$ .

Ha

$$\frac{E_{kin}}{E_{pot}} - 1 \sim \begin{cases} 10^{-4} & T \sim 1 \text{ eV}, \\ 10^{-16} & T \sim 1 \text{ MeV}, \\ 10^{-20} & T \sim 100 \text{ MeV}, \\ 10^{-50} & T \sim 15 \text{ GeV}. \end{cases}$$

$P \rightarrow 0$  esetén  $M$  és  $R$  ellentétesen változik, visszafelé haladva  $\frac{M}{R}$  nő,  $E_{pot}$  nő,  $\frac{E_{kin}}{E_{pot}} \rightarrow 1$  nő. Ez egy kezdeti feltétel probléma. Megoldható, ha felte vesszük,  $p$  nem mindig pozitív. (Ilyen van néhány reakcióban is, instabilitás)

A negatív  $p$  jelentésének megértéséhez nézzük általában  $p$  jelentését. Bevezethetjük az effektív tömeget:

$$\ddot{R} = -\frac{4\pi}{3}G(\rho + 3p)R = -\frac{GM_{eff}}{R^2}$$

$$\ddot{M}_{eff} = \frac{4\pi}{3}R^3(\rho + 3p)$$

Kezdeti forró Univerzumban a sugárzás  $p = \rho/3$ .

$$\ddot{M}_{eff} = 2M$$

Negatív nyomás gravitációsan kompenzálja a tömegsűrűséget (antigravitáció), gyorsulás  $\rightarrow 0$ . Tömeg termelődik, éppen úgy hogy  $\frac{M}{R}$  állandó legyen.

Nem csak megállítani lehet a fékezést, de megfordítani is. Ha felte vesszük, hogy

$$p = -\rho$$

$$\frac{GM}{R} \sim R^3, \quad R \sim e^{ct}, \quad \ddot{M}_{eff} = -2M.$$

Ilyenkor  $p + \rho = 0$  (legnegatívabb lehetséges nyomás) A speciális kezdeti feltételt, kezdeti negatív nyomás szükségesé teszi.

### 7.3 Extrapoláció vissza

Hívjuk össze Univerzumot. Kék eltolás

$$T = (1+z)T^0, \quad \text{fotonra:} \\ E_{\text{fotó}} \sim (1+z)^4 E_0$$

A hőmérséklet, sugárzásos energia illetve nyugalmi energia változása az összebírálás során:

$$E_m \sim (1+z)^3 E_0.$$

- $z = 1500, T = 4000K$  – A hidrogén atom ionizálódik. Korábban plazma volt, A Compton szórással miatt, egyensúly van elektron és foton közt. Minden szerkezet, foton szóráshoz ekkor keletkezik, a háttérsugárzásból ezt az időpontot figyeljük meg.
- $z \sim 10^9, T \sim 3 \cdot 10^9 K$  – ekkor  $\sim MeV$  nagyságrendű fotonok, szétverik magot. A mai elemek itt keletkeznek. Korábban csak nukleonok voltak.
- $z \sim 3 \cdot 10^9, T \sim 10^{10} K$  – párkeltés. Termodynamikailag egyensúly  $e^+, e^-, \gamma$  között. A részecske sűrűség itt még tízszáz laboratóriumi sűrűség.
- $z \sim 10^{13}, T \sim 3 \cdot 10^{13} K$  – antirészecskék keletkezése. A teljes sűrűség még mindig kisebb mint  $\rho_n$ .

Még tovább visszamenve történt a kvarkanyag keletkezése. Az Univerzum nukleáris fejlődése (amikor még a magfűtés fontos) akkor kezdődik, amikor a barionok megjelennek.

A részecskék egyensúlyban vannak a sugárzással nagy energián. Amíg  $mc^2 \sim E$ , ugyanolyan gyakoriak, mint a fotonok, mert keletkezni tudnak.

$$2\gamma \rightleftharpoons \pi + \bar{\pi}.$$

Protonok és neutronok addig vannak egyensúlyban, amíg a kölcsönhatás erős, át tudnak alakulni egymásba.

$$n + \nu \rightleftharpoons p + e^-.$$

$10^{15}$  K körül es gyakori folyamat. Amikor  $\nu$  kifagy

$$\frac{[n]}{[p]} = e^{-\frac{\Delta_{ppn}}{kT}}.$$

Kb.  $10^{10}$  K-nél a gyenge kölcsönhatás ideje hosszabb mint az Univerzum addigi kora (1s), utána a neutronok már csak bomlanak, illetve magokba rendeződnek. Könnyű magok ( $D, {}^3He, {}^4He, {}^7Li$ ) keletkeznek.

Viszony és számok, amiket ma látunk,  $\Omega$  értékétől függ.  ${}^4He$  eléggé független  $(2.15/115) \sim 25\%$ . A könnyű elemek gyakorisága megmondja, mennyi barionos anyag van az Univerzumban.

Mindenek a jelenségek (nukleosintézis, háttérsugárzás, stb.) bizonyítják a Big-Bang-et.

### 7.4 Big Bang modell

Feltevés:

1. A fizikai törvények nem változtak (állandók változhatnak).

2. Forró, egyenletes gáz van az Univerzumban, termikus egyensúly.
3. Gáz és tér együtt fejlődik.
4. Az anyag állapotában és a sugárzásban bekövetkező változások olyan simák, hogy az Univerzum termodynamikailag fejlődésében nem játszanak szerepet.
5. Az Univerzum nagy skálán homogén: nincs él és kőbep.

#### Következmények mára vonatkozóan

1. Tágulás, vöröseltolódás.
2. Mikrohullámú háttérsugárzás (fekete test).
3. p,  $\alpha$  és egyéb könnyű elemek viszonya.

A síkerek mind az első másodperc után vannak csak!

A problémák mind a kezdeti feltételből jönnek:

1. A háttérsugárzásban fotonoknál izotrópia van, ami termikus egyensúlyt jelent. Ma ez nincs. Hogyan jött ki az Univerzum a termikus egyensúlyból?
2. A horizontáltás problémája: az okság elve miatt az Univerzum egyes részei soha nem lehettek kapcsolatban a  $\gamma$  sugárzás kibocsátásakor, mégis a  $\gamma$  sugárzása nagyon sima. Horizont távolság: az a maximális távolság, amit a fény megtehetett az Univerzum kezdete óta. Uniformitás kezdeti feltétel?!
3. Nagyon speciális kezdeti feltételek szükségesek az anyageloszlásra.  $\Omega \sim 1$  az indulás, de attól kicsit eltérő. Sűrűség!
4.  $\left[\frac{p}{\rho}\right] \sim 10^{-6}$  Hogyan jött ki egy ilyen arány?
5. A galaxisok (nagy méretű struktúrák) keletkezése nem magyarázható meg.
6. Az antianyag hiánya
7. Távolodásnál  $E_{kin} \sim E_{pot}$ . Miért?

A kérdések egy részére a GUT tud választ adni.

#### Hig-bang időskála

Idő	Hőmérséklet	Energia	Lehetséges jelenség
$10^{-43}$ s	$10^{32}$ K	$10^{19}$ GeV	Kvantum gravitáció
$10^{-37}$ s	$10^{29}$ K	$10^{16}$ GeV	Erős, elektromágneses és gyenge kölcsönhatás egyesítése
$10^{-33}$ s	$10^{27}$ K	$10^{14}$ GeV	Az anyag predominanciája az antianyag felett.
$10^{-9}$ s	$10^{16}$ K	$10^3$ GeV	A gyenge kölcsönhatás leválik
$10^{-2}$ s	$10^{13}$ K	1 GeV	A kvarkokból kialakul a p és a n
100 s	$10^6$ K	$10^{-4}$ GeV	Nukleonok kötődése: He, D kialakulása
$10^6$ év	$10^3$ K	0.1 eV	Fotonleválás, a háttérsugárzás eredete
$10^{10}$ év	3 K	$10^{-3}$ eV	Galaxisok kialakulása
$\sim 10^{23}$ év	?	?	Az anyag sűrűporlad vagy gravitációs kollapszus

## 7.5 Felfúvódó Univerzum

### 7.5.1 A nagy egyesített elmélet: GUT

Egyesíteni akarjuk az erős, elektromágneses és gyenge kölcsönhatást. Nagy hőmérsékleten feltételezzük, hogy ezek egyformák.

Analógia: a kristályban élő ember 3 fénysebességet észlel. Folyadékban csak egy van.

Forgásszimmetria: kristályban nincs, folyadékban van. Folyadékban rejtett szimmetriasértés van.

Nagy egyesített elmélet: minden kölcsönhatás Lagrange-függvényből származtatható, tömeg nélkül fermionokkal, vektormezőkkel, egységes csatolás állandóval.

A belső szimmetriát nem látjuk, mert a vákuum nem szimmetrikus. Van egy  $\Phi$  skalártér, a nagy egyesített mező. A fermionok terében  $\Phi$  sérti a szimmetriát.

Az első lépés ehhez az elektrogyenge kölcsönhatás volt. Ennek során megjósolták a vektorbosonokat.

A szimmetria követendő része az X részecske. Minden részecske másképp csatolódik, ebből származik a tömeg:

$$G \sim \frac{g^2}{m_X^2}, \quad m_X \sim 10^{16} \text{ GeV}.$$

Szilerek:

- Az  $e^-$  és  $p$  azonos töltésmagyságának a magyarázata
- Bizonyos gyenge és elektromágneses folyamatok erősségének magyarázata.

A szimmetria spontán sértül, ez tesz különbözőségeket részec (tömeg) és kölcsönhatások (erősség) között.

Hatás	$\pi$	$m_\pi = 0.1$	GeV	$10^{-13}$	cm,
	$W$	$m_W \sim 10^2$	GeV	$10^{-16}$	cm,
	$X$	$m_X = 10^{16}$	GeV	$10^{-29}$	cm.

X fontos szerepe: megbontja a rész-antirész egyensúlyt.

$$q + q \rightarrow X \rightarrow \begin{cases} \bar{q} + \bar{l} \\ \rightarrow q + l \end{cases} \quad \bar{X} \rightarrow \begin{cases} \bar{q} + \bar{l} \\ q + l \end{cases}$$

Nem kell, hogy a két elágazás arány egyforma legyen.

$$\begin{array}{c} \text{---} \text{---} \text{---} \\ \left[ \begin{array}{c} q \\ q \end{array} \right] \\ \text{---} \text{---} \text{---} \end{array} \rightarrow X \rightarrow \begin{array}{c} \bar{l} \\ \left[ \begin{array}{c} \bar{q} \\ q \end{array} \right] \end{array} \quad p \rightarrow \bar{l} + \pi$$

Proton bomlásidő:  $10^{30}$  év, ha az elmélet igaz.

*Következmények az asztrofizikában*

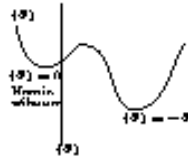
$$\begin{aligned} \gamma &\rightarrow X + \bar{X}, \\ X &\rightarrow a(qq) + (1-a)(\bar{q}\bar{l}), & \bar{X} &\rightarrow b(\bar{q}q) + (1-b)(q\bar{l}). \\ N_B &\sim N_q - N_{\bar{q}} & \frac{N_n}{N_B} &\sim 10^6 - 10^9. \\ N_J &\sim N_{\bar{q}} + N_{\bar{l}} \end{aligned}$$

Itt  $N_B$  és  $N_\gamma$  a barion- illetve foton-számot jelöli.  
Az elméletet alátámasztja az a megfigyelés, hogy:



Ma  $T = 3K$ ,  $X$  részecskék  $3 \cdot 10^{26} K$ -nél vannak, ( $t \sim 10^{-36} s$ ).

7.5.2 Az eredeti felfűvődő Univerzum elmélet



Az átmenet lassí a kihűléshez képest  
- superhűlés -  
a rendszer a hands vákuum felé megy.

Kvantumfluktuációk révén fázisátmenet lesz: buborékok keletkeznek, és sérült szimmetriaállapotba megy át a rendszer.

A buborékok növekedésének feltétele:  $P_{\text{buborék}} > P_{\text{hands vákuum}}$

$$P_{\text{gáz vákuum}} = P_{\text{buborék}} \implies P_{\text{hands vákuum}} < 0$$

A negatív nyomás antigravitációt jelent.

$$\ddot{R} = -\frac{4\pi G}{3c^2} (\epsilon(\dot{t}) + 3p(\dot{t})) R(\dot{t}) > 0,$$

$$R \sim e^{\dot{t}} \quad \tau \sim 10^{-33} s \text{ felfűvődés!}$$

Latens  $\Phi_0$  energia  $\rightarrow h\delta \sim 10^{27} K$

Érthető lesz a horizont probléma és a sík világ probléma:  $\Omega \rightarrow 1$

7.6 Sötét anyag

$\Omega_B$  és  $\Omega_0$  közt. különbség van

A galaxisokra végzett számolások és a megfigyelt spirálkar-mozgások  $\Omega_0 \sim 1$ -re utalnak.

A galaxis-szerkezet formálódásához  $\Omega \sim 1$  kell

Az infláció egyértelműen  $\Omega_0 = 1$ -et mond.

Nem dönthető

A részecskefizika is favorizál más anyagot.

7.6.1 A sötét anyag léteire utaló bizonyítékok

$$H^2 = \left(\frac{\dot{R}}{R}\right)^2 = \frac{8\pi G}{3} \rho - \frac{k}{R^2},$$

$R = 0$ : sík Univerzum

$$\rho = \rho_c = \frac{3H_0^2}{8\pi G} = 1.88 \cdot 10^{-29} h_0^2 \text{ gcm}^{-3},$$

$$h_0 = \frac{H_0}{100} \text{ km s}^{-1} \text{ Mpc}^{-1}, \quad 0.1 \leq h_0 \leq 1,$$

$$\Omega = \frac{\rho}{\rho_{kr\ddot{a}}}, \quad \frac{k}{R^2} = (\Omega - 1)H^2$$

$$\Omega_{\text{Láttható}} \sim 0.003 - 0.01.$$

Fényes galaxdák körében  $\Omega_L \sim 0.02 - 0.1$

$$H_0 t_u = \int_0^1 \left(1 - \Omega + \frac{\Omega}{x}\right)^{-\frac{1}{2}} dx \quad k = 0$$

$$\begin{array}{lll} t_u > 13 \cdot 10^9 \text{ év} & \Omega h_0^2 < 0.25 & \text{ha } h_0 > 0.5, \\ & \Omega h_0^2 < 0.45 & \text{ha } h_0 > 0.4, \\ t_u > 10 \cdot 10^9 \text{ év} & \Omega h_0^2 < 0.8 & \text{ha } h_0 > 0.5, \\ & \Omega h_0^2 < 1.1 & \text{ha } h_0 > 0.4, \end{array}$$

$$\Omega_B h_0^2 \sim 0.0125, \quad \Omega_B < 12\%.$$

1. Sötét anyag igazolás galaxdákban

$$L \sim \frac{1}{r^2}, \quad v \sim \text{állandó},$$

$$GM(r) = v^2 r, \quad \left(\frac{GM}{r} \sim \frac{v^2}{r}\right).$$

$v$  : a pályamenti sebesség  $r$  távolságban  $M(r)$  : az  $r$ -en belül tömeg Egy adott sugárig a sebesség állandó

$$M(r) \sim \frac{v^2 r}{G}, \quad \text{Ha } M \text{ állandó, } v^2 \sim \frac{1}{r}$$

$v \sim \text{const} \Rightarrow M \sim r$  ott is, ahol nincs fény.

2. További igazolás :

Magas hőmérsékletű gáz galaxdahalmas körűl Röntgen sugárzást bocsát ki. A ROSAT mérések alapján meghatározható a gáz mennyisége, valamint a galaxdahalmas (cluster) tömege

$$\begin{aligned} \text{Coma : } M_{\text{gáz}} &= (1.0 \pm 0.2) \cdot 10^{13} h^{-1} M_{\odot}, \\ &= (3.45 \pm 0.98) \cdot 10^{13} h^{-\frac{1}{2}} M_{\odot}, \\ &= (6.7 \pm 1.0) \cdot 10^{14} h^{-1} M_{\odot}, \end{aligned}$$

$$\frac{M_h}{M_{\text{tot}}} \geq (0.009 \pm 0.005) \cdot h^{-\frac{3}{2}}.$$

A ROSAT mérések és a radiális sebesség ugyanast az értéket adja .

A barionos anyag tehát csak 10 % körül.

Nagymértékű skálán az elmozdulásokból való kitérések figyelhetők meg - lencsésítés.

$$\begin{aligned} \Omega_L &< 0.001 \\ \Omega_{\text{galaxdák}} &\sim 0.03 \\ \Omega_{\text{cluster}} &\sim 0.1 - 0.2 \\ \Omega_{\text{LSS}} &\sim 0.1 - 0.2 \\ \Omega_{\text{grav}} &\sim 0.25 - 0.6 \end{aligned}$$

Elméleti evidencia: infláció és galaxdáképződés

Egy lehetőség a javításra a kozmológiail állandó bevezetése.